

“十二五”普通高等教育本科国家级规划教材

# University Physics 大学物理学（第二版）上册

主编 杨兵初 李旭光

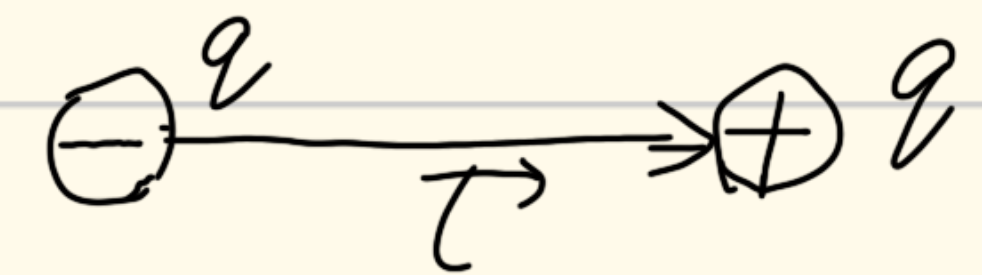
高等教育出版社

# 第五章

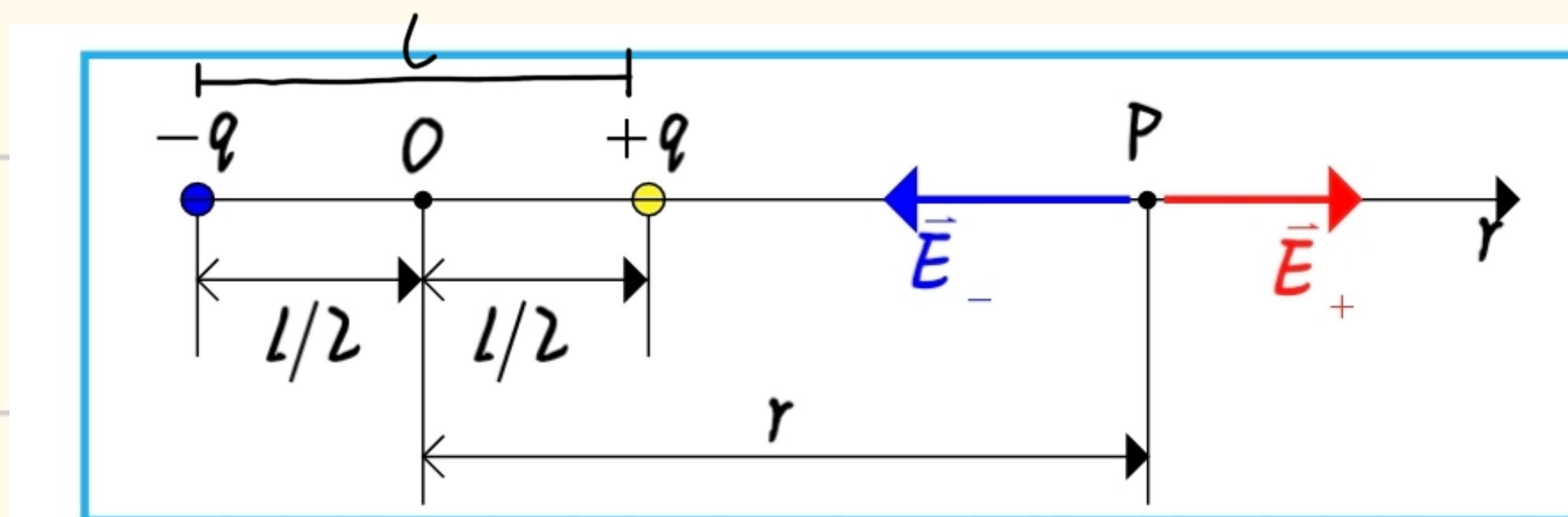
# 真空中的静电场

点电荷的电场  $\vec{E} = \frac{1}{4\pi\epsilon_0} \cdot \frac{Q}{r^2} \cdot \hat{e}_r$

电偶极子 电矩  $\vec{P} = q\vec{l}$



延长线上一点的场强

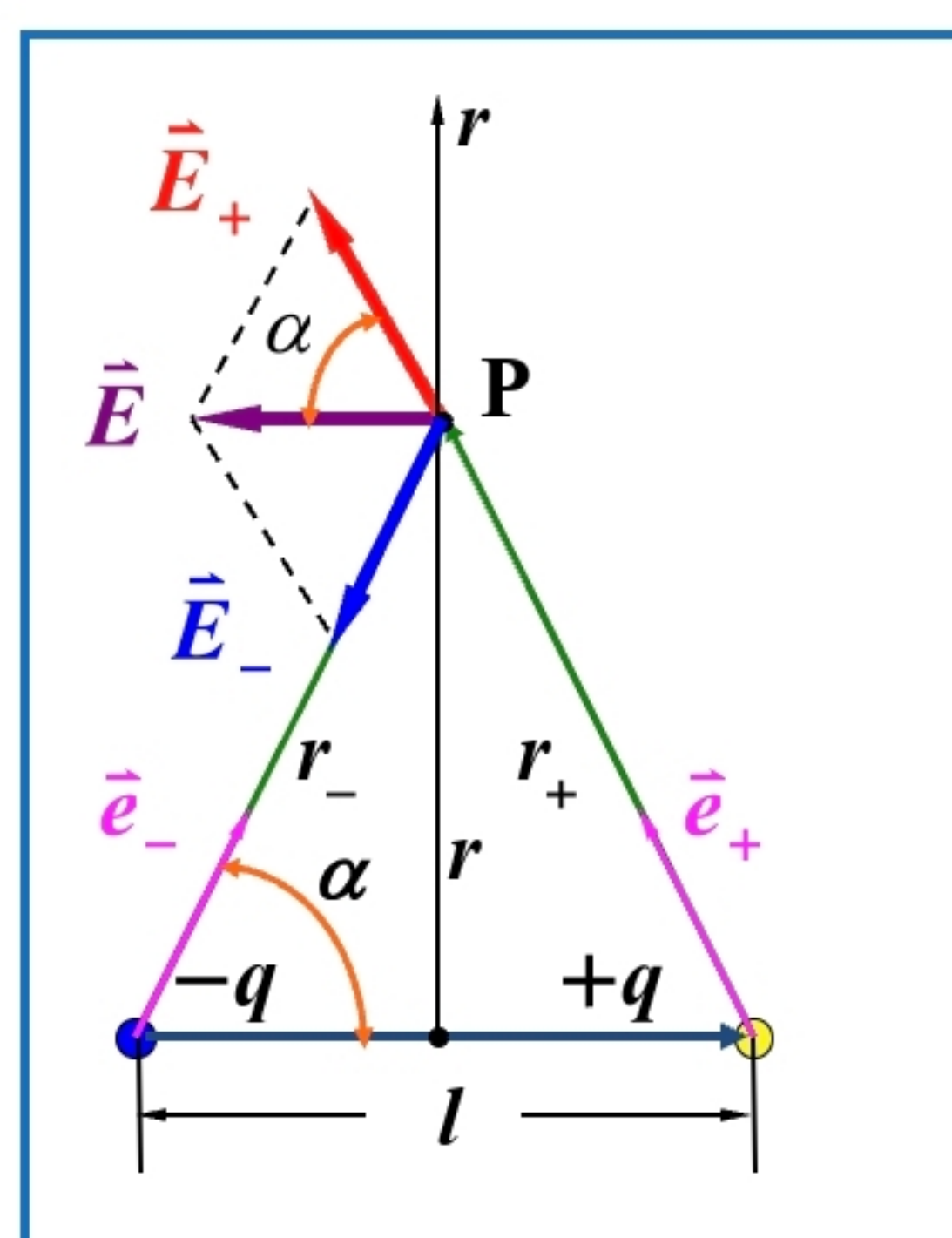


$$E = \frac{q}{4\pi\epsilon_0} \cdot \left[ \frac{2rl}{(r^2 - \frac{l^2}{4})^2} \right]$$

当  $r \gg l$ , 离电偶极子距离很远时

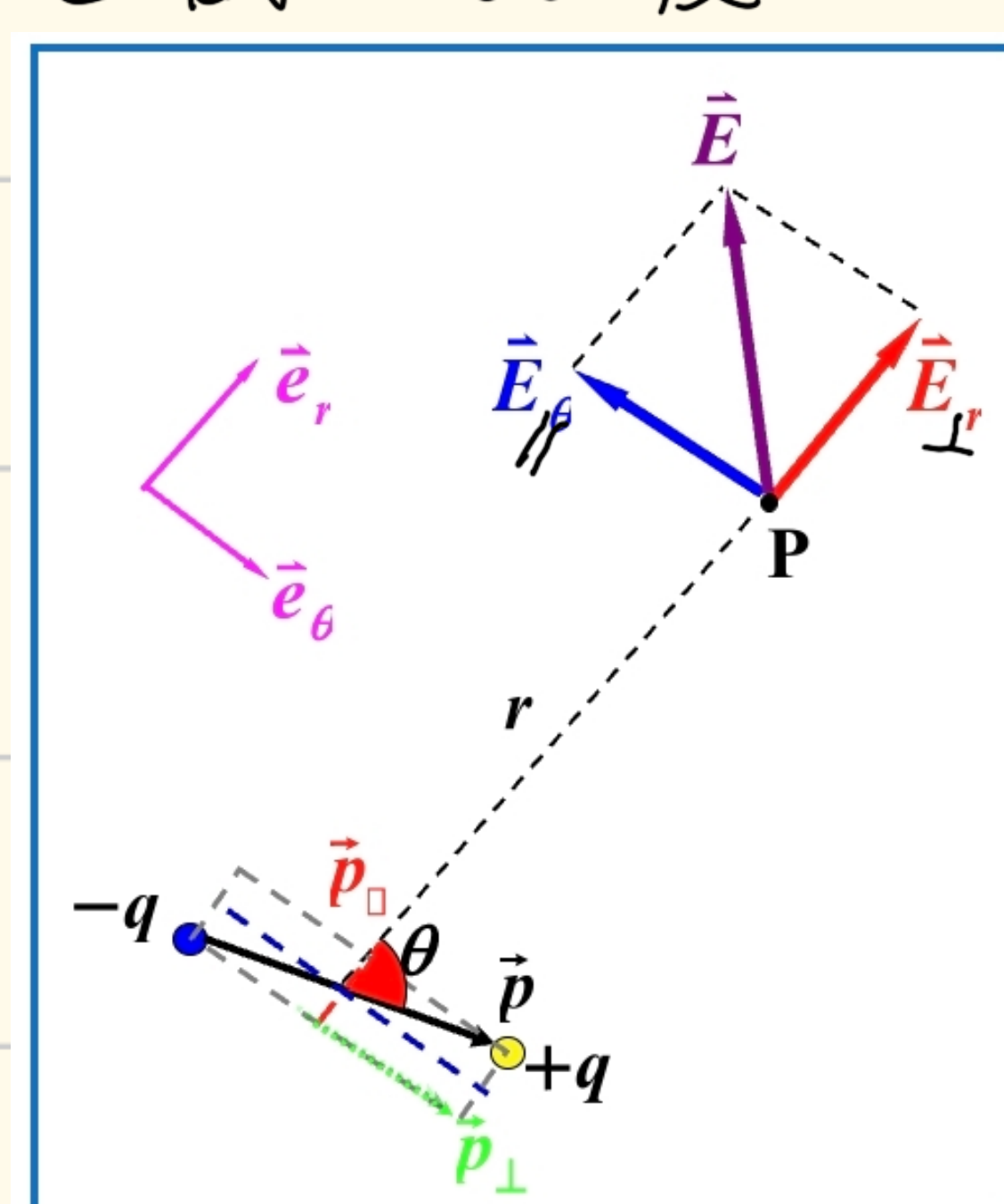
$$\vec{E} = \frac{1}{4\pi\epsilon_0} \cdot \frac{2\vec{P}}{r^3}$$

中垂线上一点的场强



$$\vec{E} = -\frac{1}{4\pi\epsilon_0} \cdot \frac{\vec{P}}{r^3}$$

任意一点的电场强度

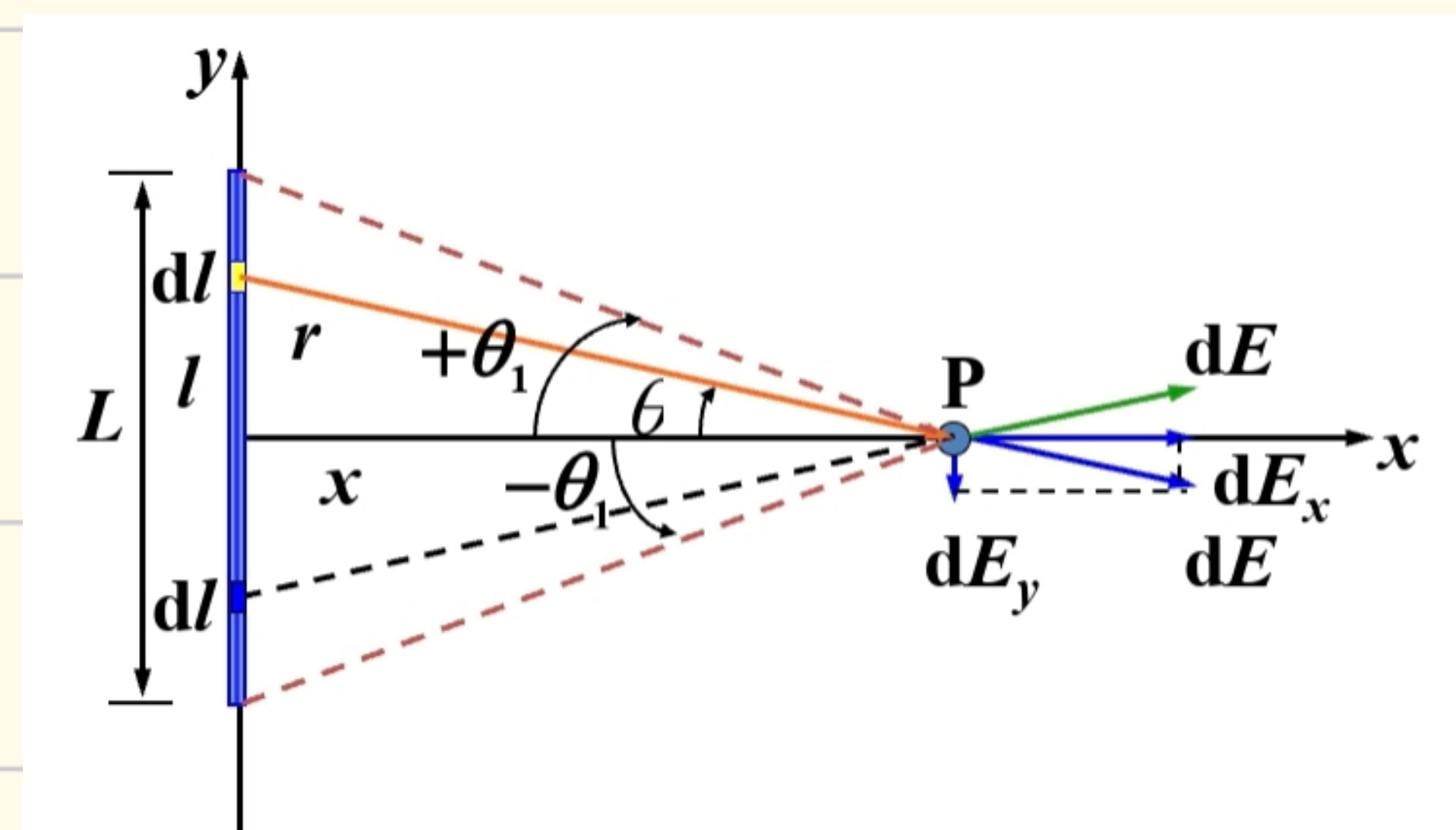


$$\vec{E}_\perp = \frac{1}{4\pi\epsilon_0} \cdot \frac{2P \cos\theta}{r^3} \hat{e}_\perp$$

$$\vec{E}_{||} = -\frac{1}{4\pi\epsilon_0} \cdot \frac{P \sin\theta}{r^3} \hat{e}_{||}$$

均匀带电直线

中垂线上的场强



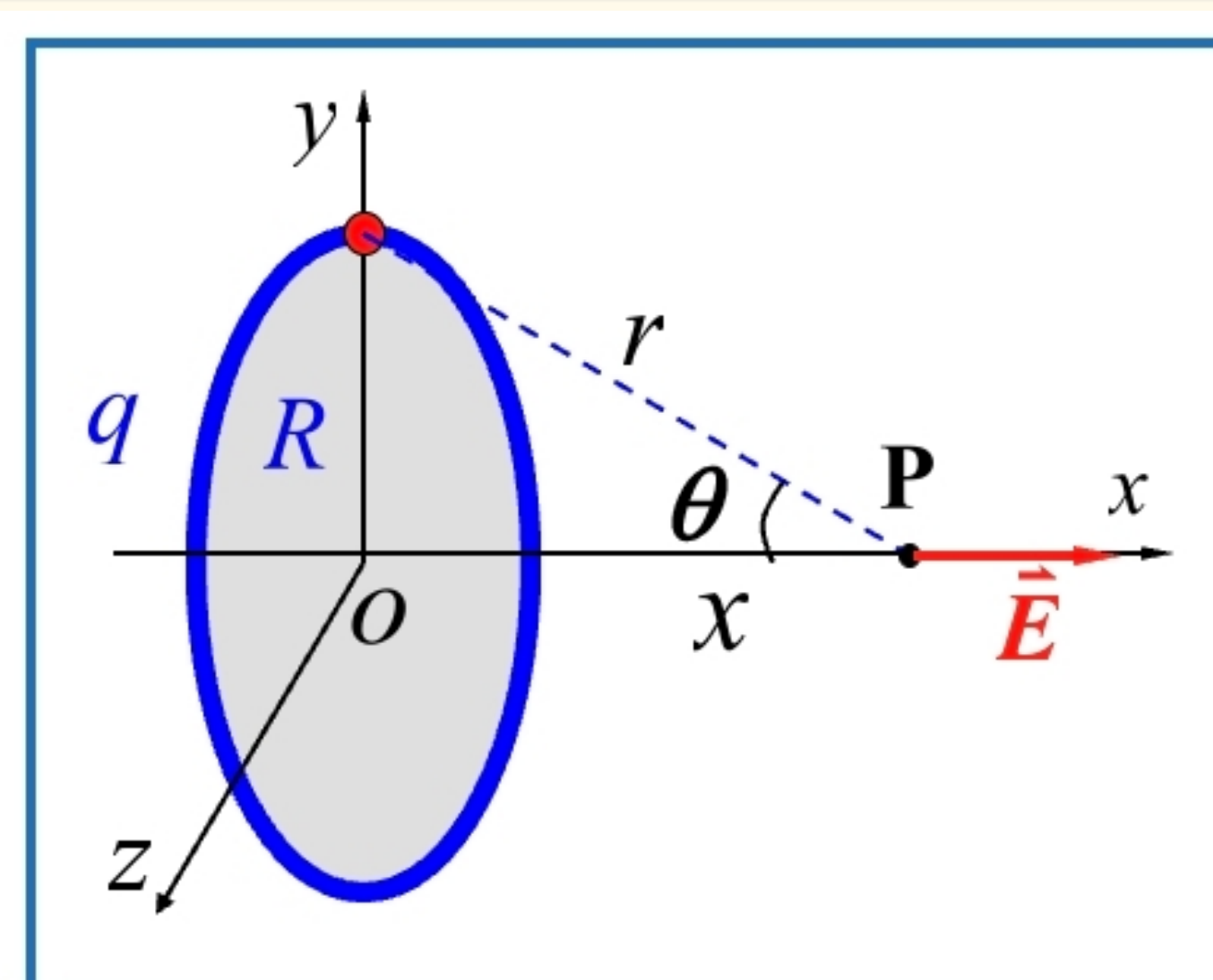
$$E = \frac{\lambda L}{4\pi\epsilon_0 x \sqrt{x^2 + (\frac{L}{2})^2}}$$

当  $x \ll L$ , 直线无限长

$$E = \frac{\lambda}{2\pi\epsilon_0 x}$$

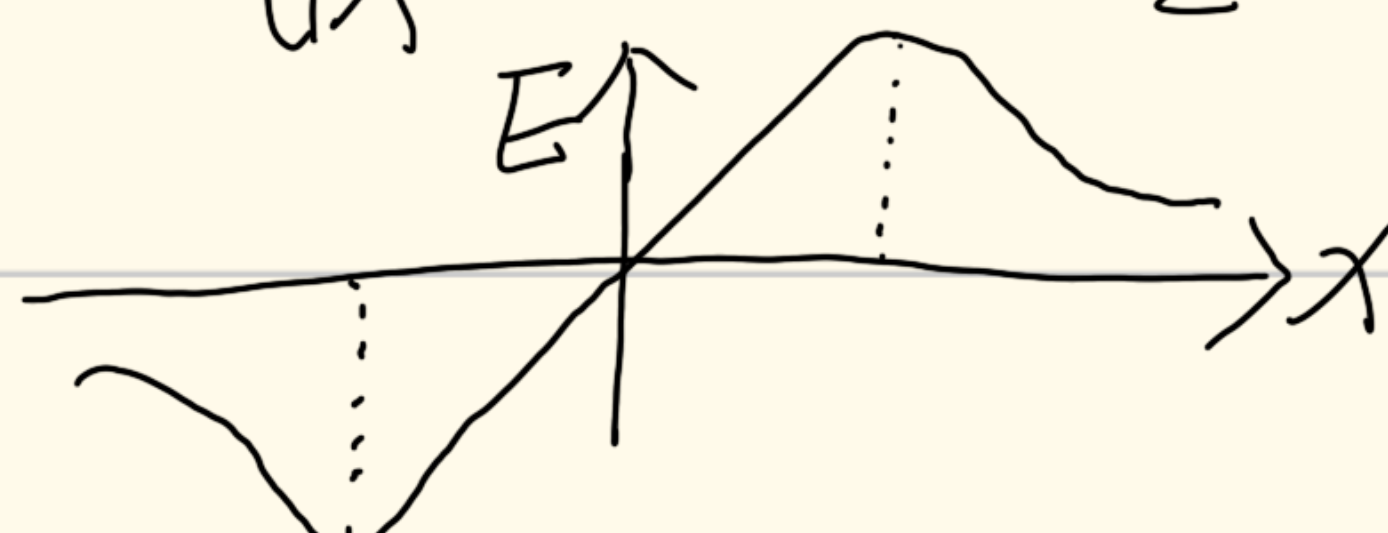
均匀带电圆环

轴线上一点的场强



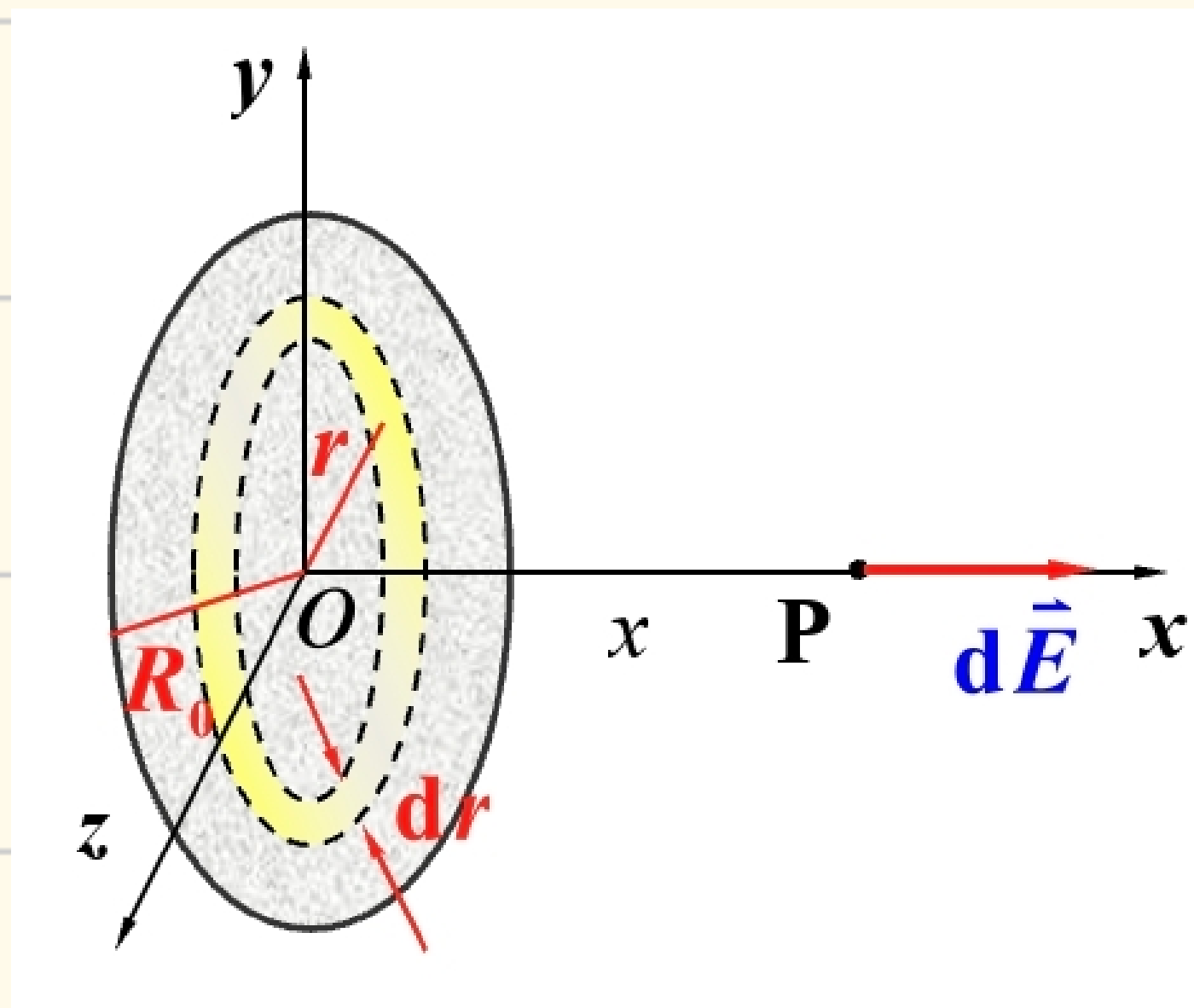
$$E = \frac{qx}{4\pi\epsilon_0 \cdot (x^2 + R^2)^{\frac{3}{2}}}$$

当  $\frac{dE}{dx} = 0$ ,  $x = \pm \frac{\sqrt{2}}{2}R$



# 均匀带电圆盘

## 轴线上一点的场强



$$E = \frac{\sigma}{2\epsilon_0} \cdot \left[ 1 - \frac{x}{\sqrt{x^2 + R^2}} \right]$$

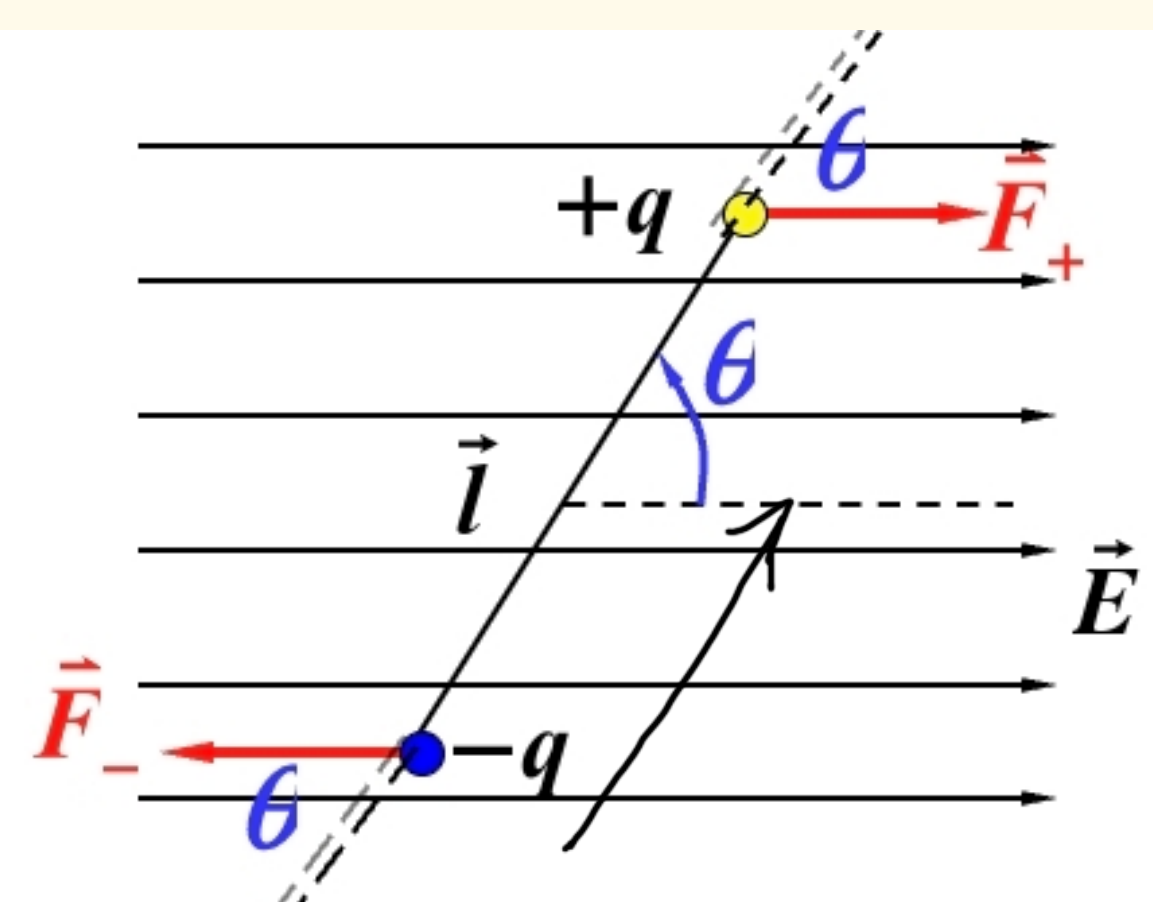
当  $x \ll R$ , 带电平面无限大时

$$\underline{E = \frac{\sigma}{2\epsilon_0}}$$

注：无限大均匀带电平行平面的电场

$E=0$		$E=0$		$E=\frac{\sigma}{\epsilon_0}$	
	$E=\frac{\sigma}{\epsilon_0}$		$E=0$		$E=\frac{\sigma}{\epsilon_0}$

## 匀强电场对电偶极子的作用



$$\text{力矩: } \vec{M} = \vec{p} \times \vec{E}$$

$$\text{转至平衡位置电场力做功: } A = - \int_0^\theta \vec{M} d\theta$$

$$|\vec{M}| = Eql \cdot \sin\theta$$

## 电场强度通量

$$\Phi_E = \vec{E} \cdot \vec{S} = ES \cos\theta$$

其中  $\vec{S} = S \vec{e}_n$  面积矢量

若封闭曲面  $\Phi_E > 0$ , 有电场线穿出

若封闭曲面  $\Phi_E < 0$ , 有电场线穿入

## 高斯定理

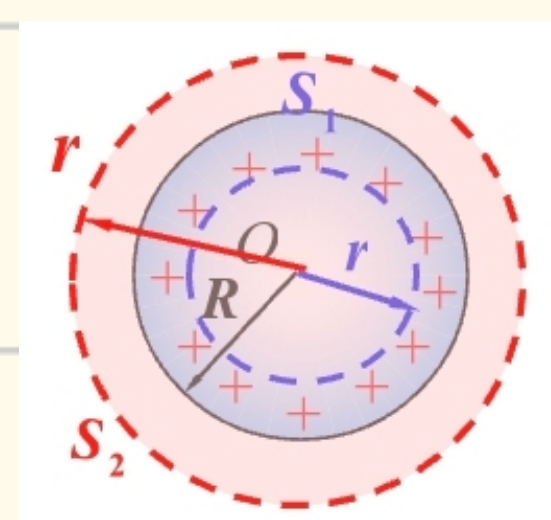
$$\Phi_E = \oint \vec{E} \cdot d\vec{S} = \frac{q}{\epsilon_0}$$

## 高斯定理的应用

### ① 均匀带电球壳电场

球壳内:  $E = 0$

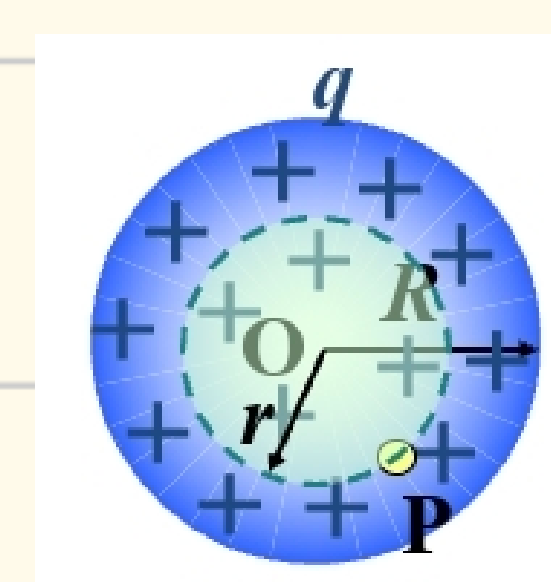
$$\text{球壳外: } E = \frac{q}{4\pi\epsilon_0 r^2}$$



### ② 均匀带电球体电场

$$\text{球体内: } E = \frac{qr}{4\pi\epsilon_0 R^3}$$

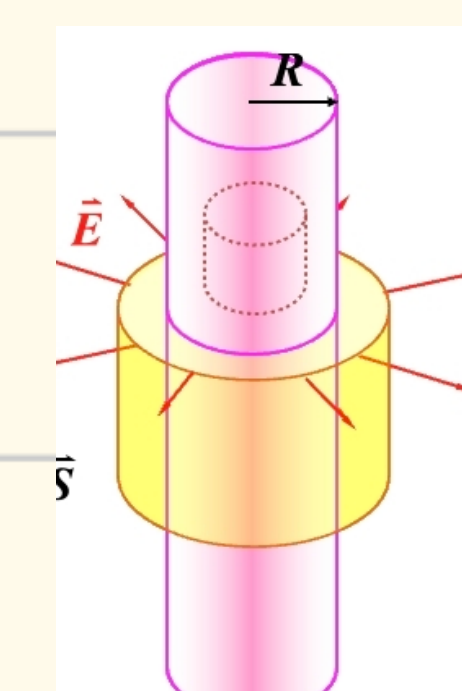
$$\text{球体外: } E = \frac{q}{4\pi\epsilon_0 r^2}$$



### ③ 无限长均匀带电圆柱面

柱面内:  $E = 0$

$$\text{柱面外: } E = \frac{\lambda}{2\pi\epsilon_0 r}$$



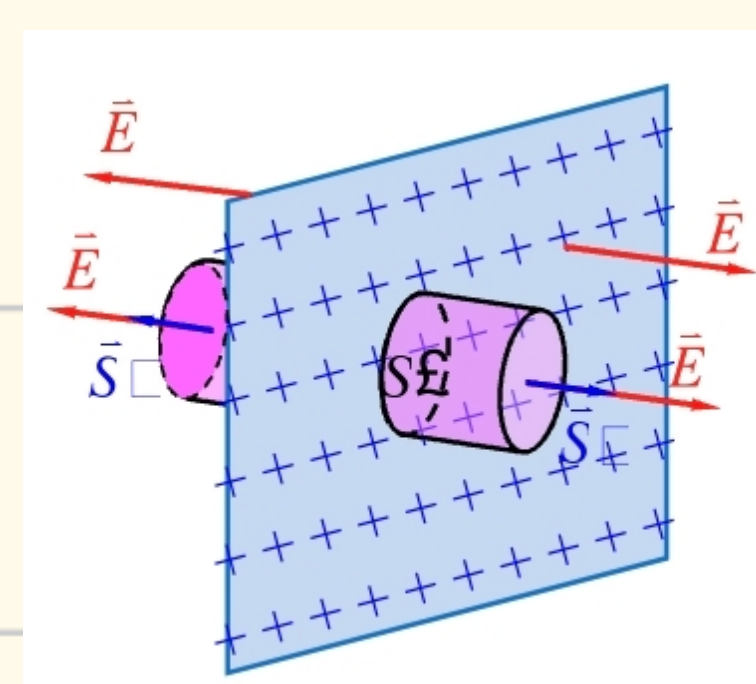
### ④ 无限长均匀带电圆柱体

$$\text{柱体内: } E = \frac{\lambda r}{2\pi\epsilon_0 R^2}$$

$$\text{柱体外: } E = \frac{\lambda}{2\pi\epsilon_0 r}$$

### ⑤ 无限大均匀带电平面

$$E = \frac{\sigma}{2\epsilon_0}$$



## 静电力做功

保守力、保守场、与路径无关

环路定理

$$\oint_C \vec{E} \cdot d\vec{l} = 0$$

## 电势

$$\Delta W = -A_{ab}$$

(电场力做功等于电势能减少量)

$$\varphi_a = \int_a^\infty \vec{E} \cdot d\vec{l}$$

(单位正电荷在电场中电势能大小,  $\infty$ 远、地球电势为零)

电势的计算

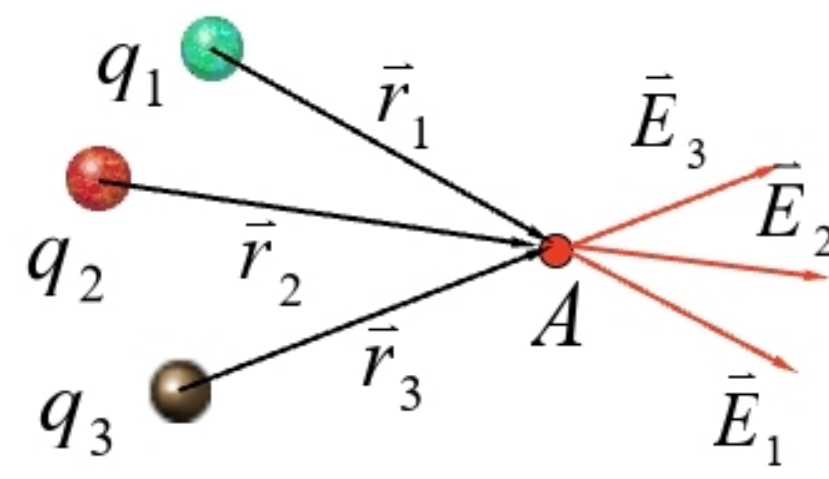
① 点电荷

$$\varphi = \frac{q}{4\pi\epsilon_0 r}$$

点电荷系

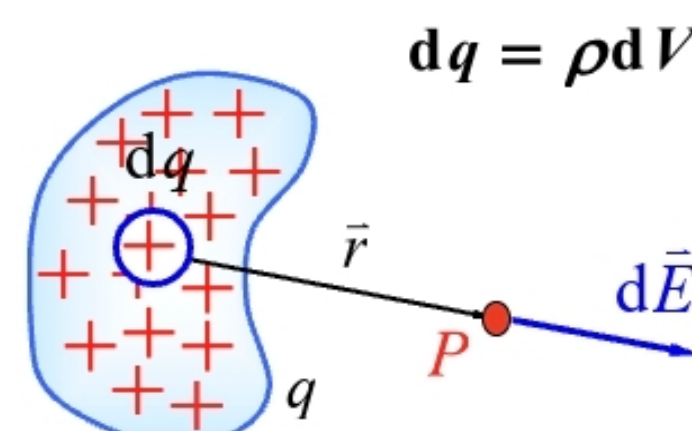
$$\varphi = \sum_i \frac{q_i}{4\pi\epsilon_0 r_i}$$

(标量叠加)

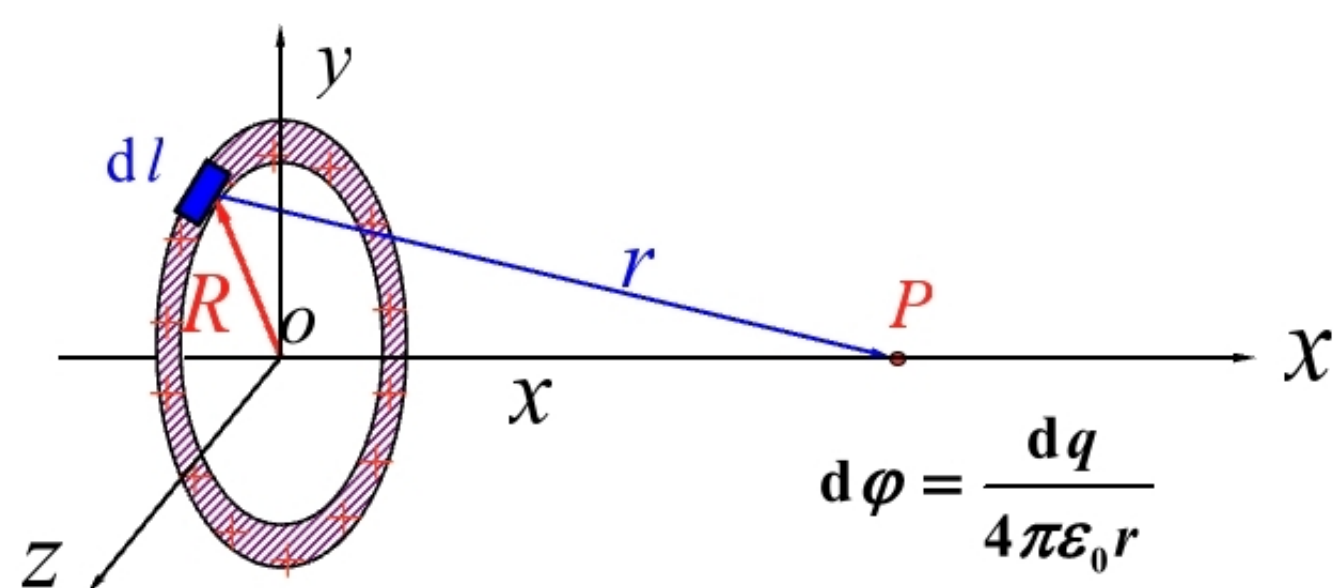


② 连续带电体

$$\varphi = \int \frac{\rho dV}{4\pi\epsilon_0 r}$$



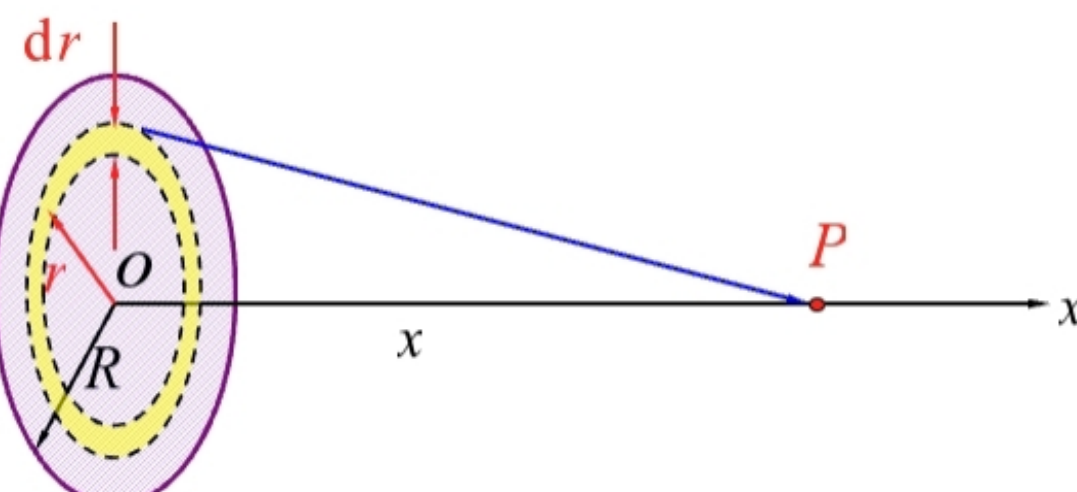
③ 均匀圆环轴线



$$d\varphi = \frac{dq}{4\pi\epsilon_0 r}$$

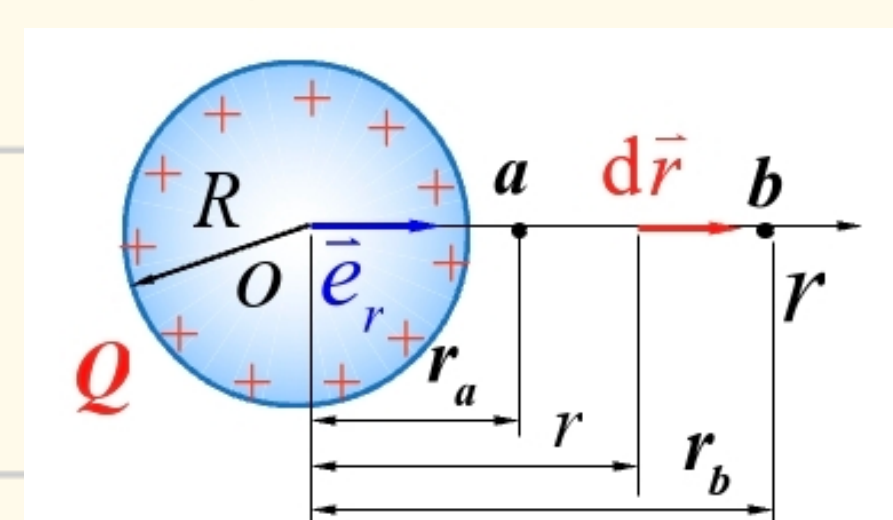
$$\varphi = \frac{Q}{4\pi\epsilon_0 \sqrt{x^2 + R^2}}$$

④ 均匀带电薄圆盘轴线



$$\varphi = \frac{Q}{2\epsilon_0} (\sqrt{x^2 + R^2} - x)$$

⑤ 均匀带电球壳



球壳外任两点

$$\varphi_a - \varphi_b = \frac{Q}{4\pi\epsilon_0} \left( \frac{1}{r_a} - \frac{1}{r_b} \right)$$

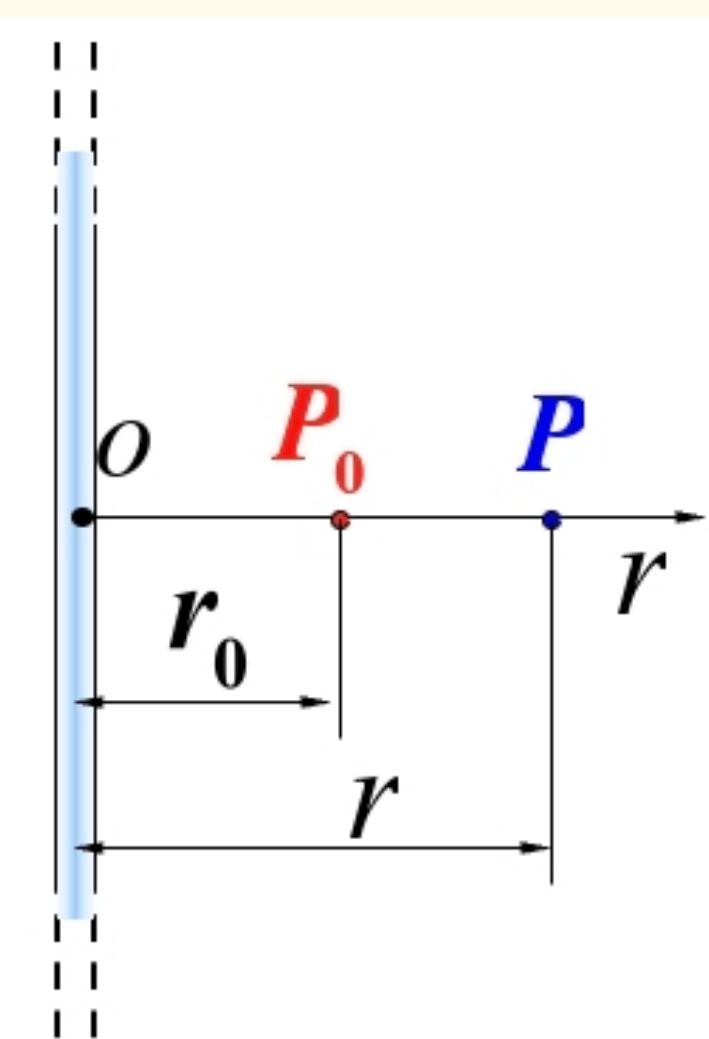
球壳内任两点

$$\varphi_a - \varphi_b = 0 \quad (\text{等势区})$$

对某一点

$$\varphi = \begin{cases} \frac{Q}{4\pi\epsilon_0 r}, & r > R \\ \frac{Q}{4\pi\epsilon_0 R}, & r < R \end{cases}$$

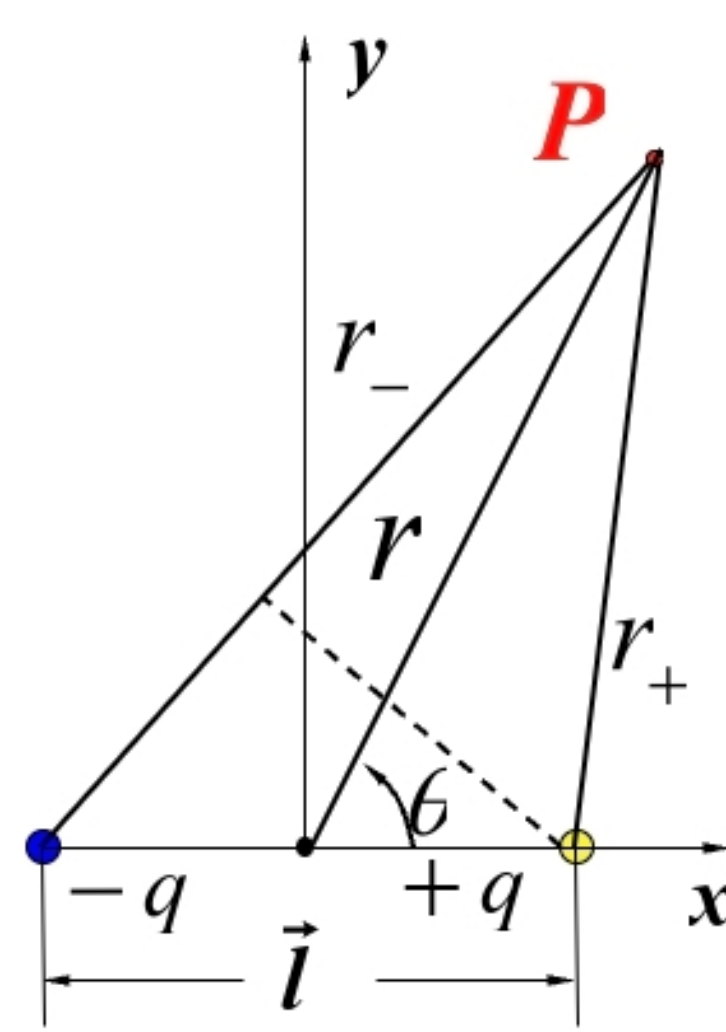
## ⑥ 无限长带电直导线



(选取电势零点为P<sub>0</sub>)

$$\varphi = \frac{\lambda}{2\pi\epsilon_0} \ln \frac{r_0}{r}$$

## ⑦ 电偶极子

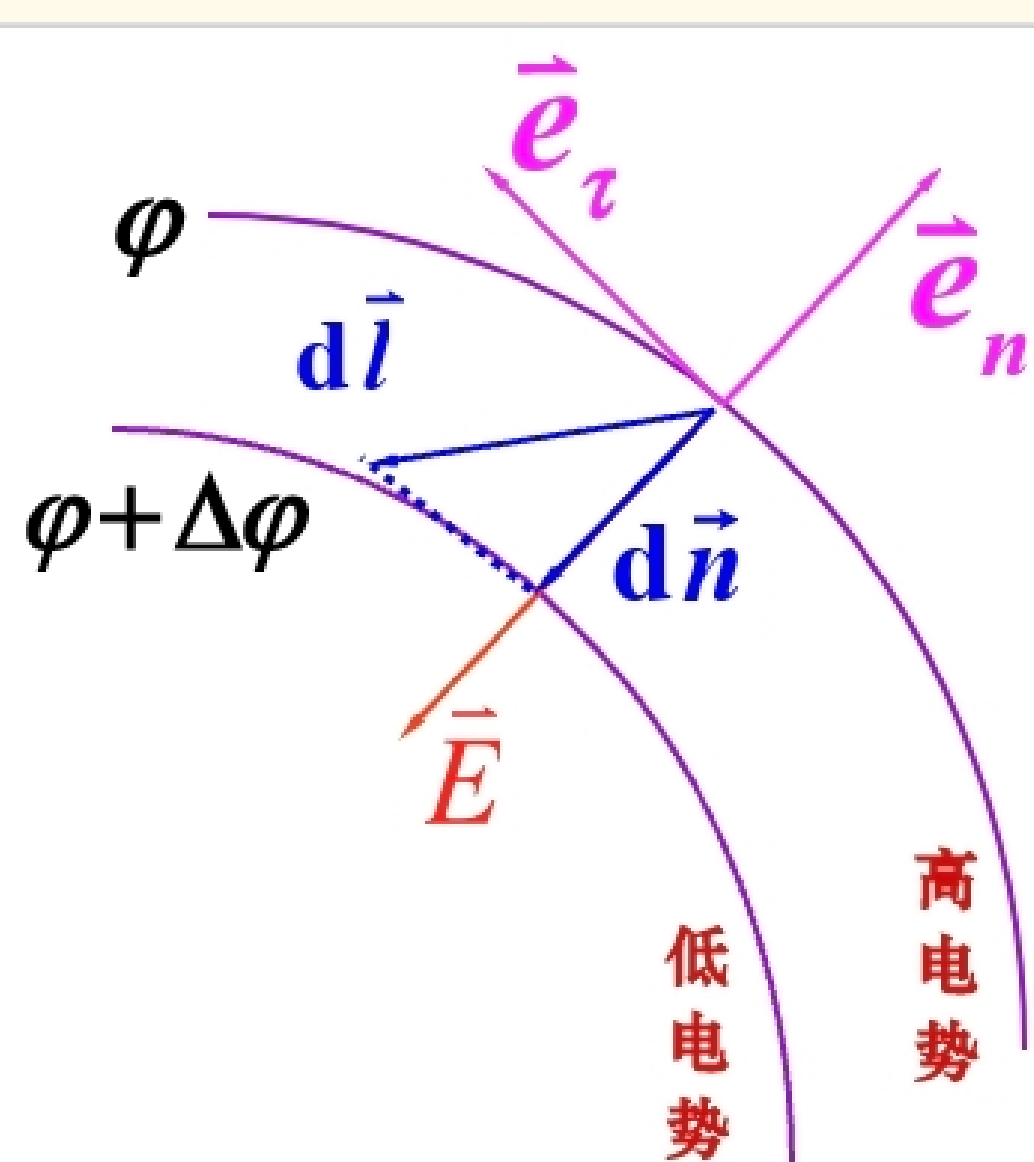


$$\varphi = \frac{1}{4\pi\epsilon_0} \cdot \frac{P \cos\theta}{r^2} \quad (r \gg l \text{ 时})$$

## 等势面、电势梯度

$$\vec{E} = - \frac{d\varphi}{dn} \cdot \vec{e}_n = - \nabla \varphi$$

(方向由高电势指向低电势)



# hw 5

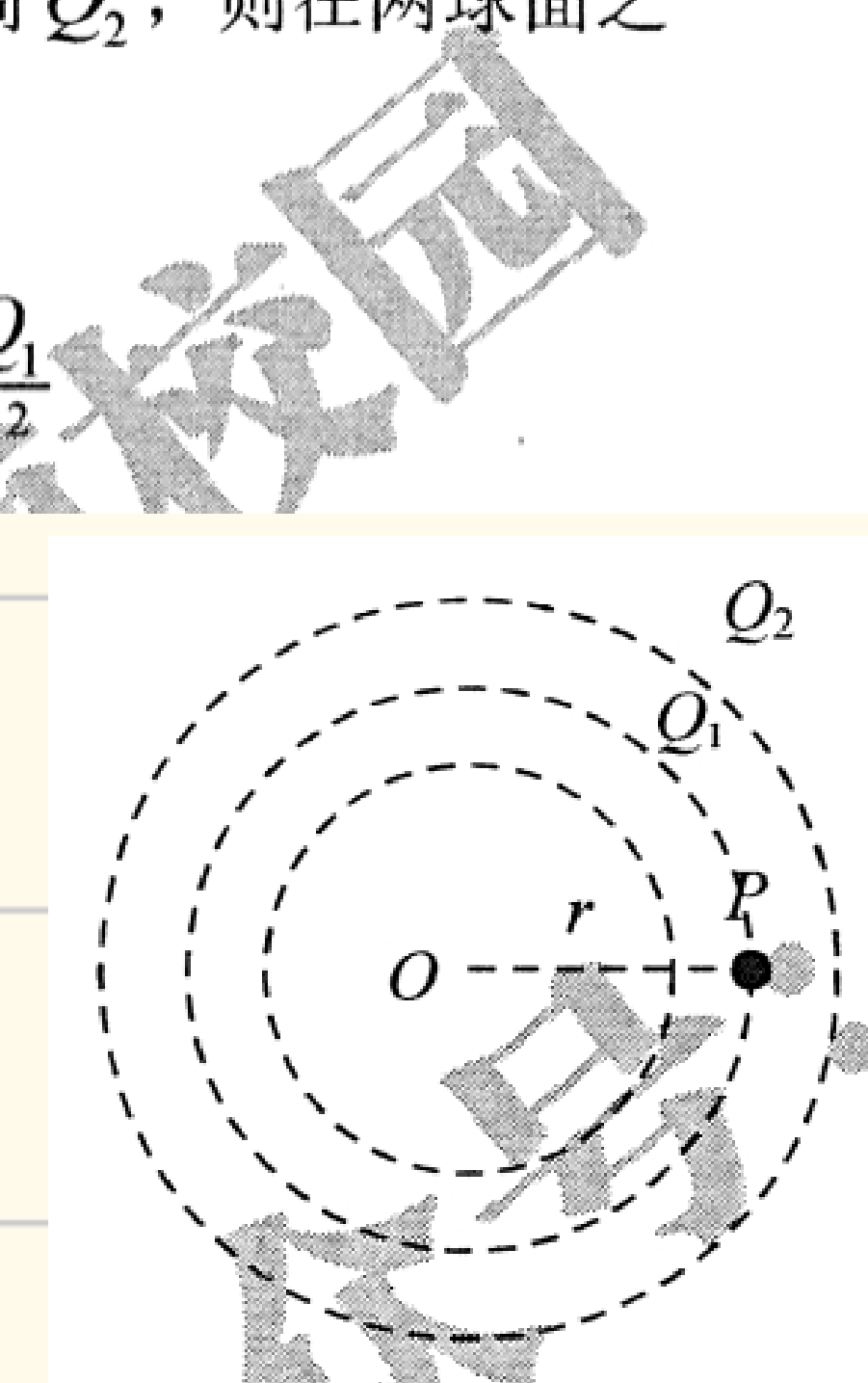
4. 图 5-1-3 所示两同心球面，内球面均匀带电荷  $Q_1$ ，外球面均匀带电荷  $Q_2$ ，则在两球面之间、距离球心 O 为  $r$  处的 P 点的场强大小  $E$  为 A

(A)  $\frac{Q_1}{4\pi\epsilon_0 r^2}$       (B)  $\frac{Q_1+Q_2}{4\pi\epsilon_0 r^2}$       (C)  $\frac{Q_2}{4\pi\epsilon_0 r^2}$       (D)  $\frac{Q_2-Q_1}{4\pi\epsilon_0 r^2}$

以 O 为圆心作高斯面，由于通量仅与内部电荷有关， $\Phi = \oint \vec{E} d\vec{S} = \sum q_i / \epsilon_0$

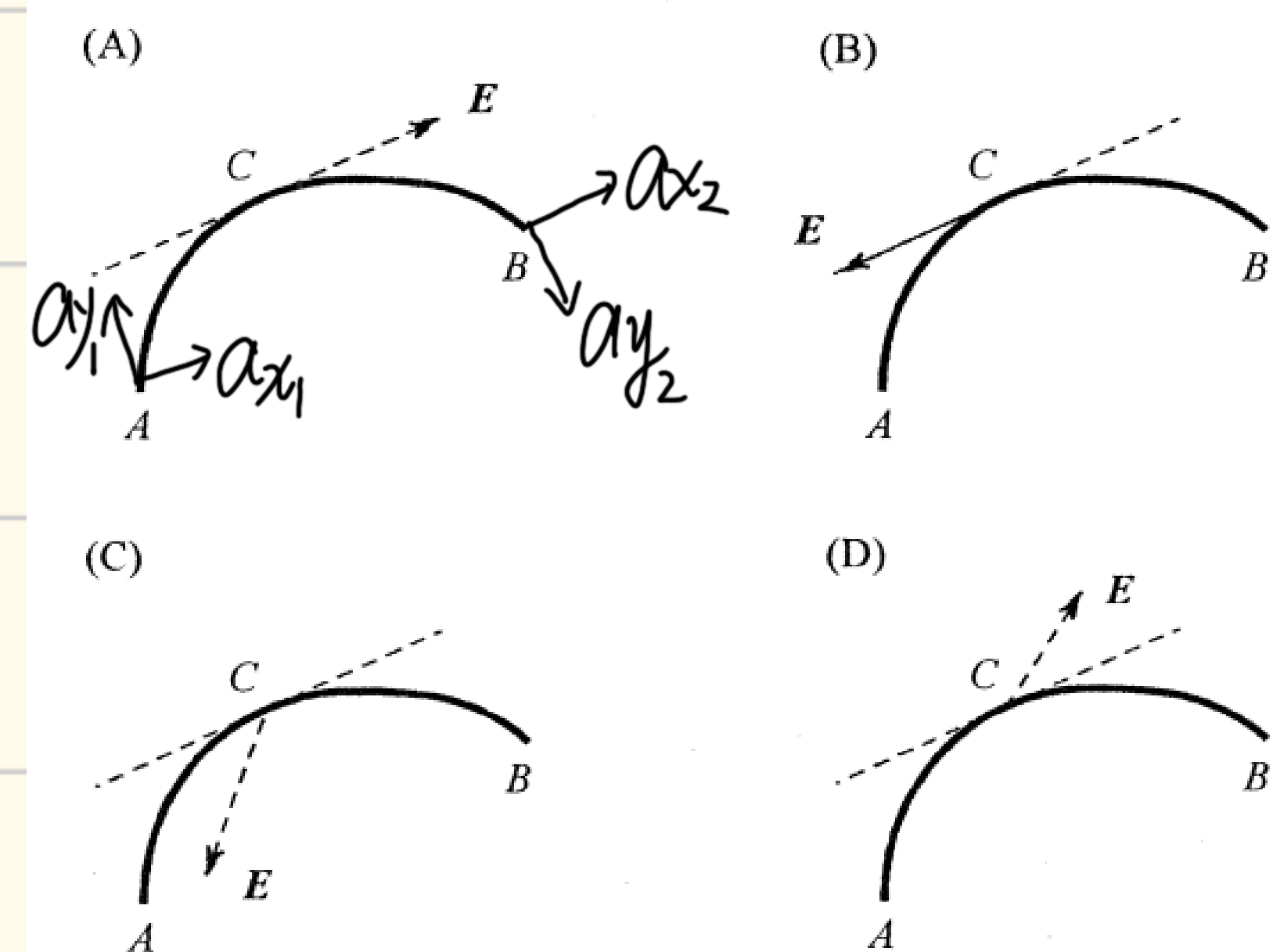
$$E \cdot 4\pi r^2 = Q_1 / \epsilon_0$$

$$E = \frac{Q_1}{4\pi\epsilon_0 r^2}$$



5. 一个带负电荷的质点，在电场力作用下从 A 点经 C 点运动到 B 点，其运动轨迹如图 5-1-4 所示，已知质点运动的速率是递减的，则 C 点的场强方向为 D

从 A 到 B， $a_{y_1}$  变为  $a_{y_2}$ ，说明必存在法向作用力，(A) 只有切向，错误



4. (1) 点电荷  $q$  位于边长为  $a$  的正方体的中心，通过此立方体的每一面的电场强度通量为 \_\_\_\_\_，(2) 若该电荷移至正立方体的一个顶点上，如图 5-1-10 所示，那么通过面 abcd 的电场强度通量为 \_\_\_\_\_。

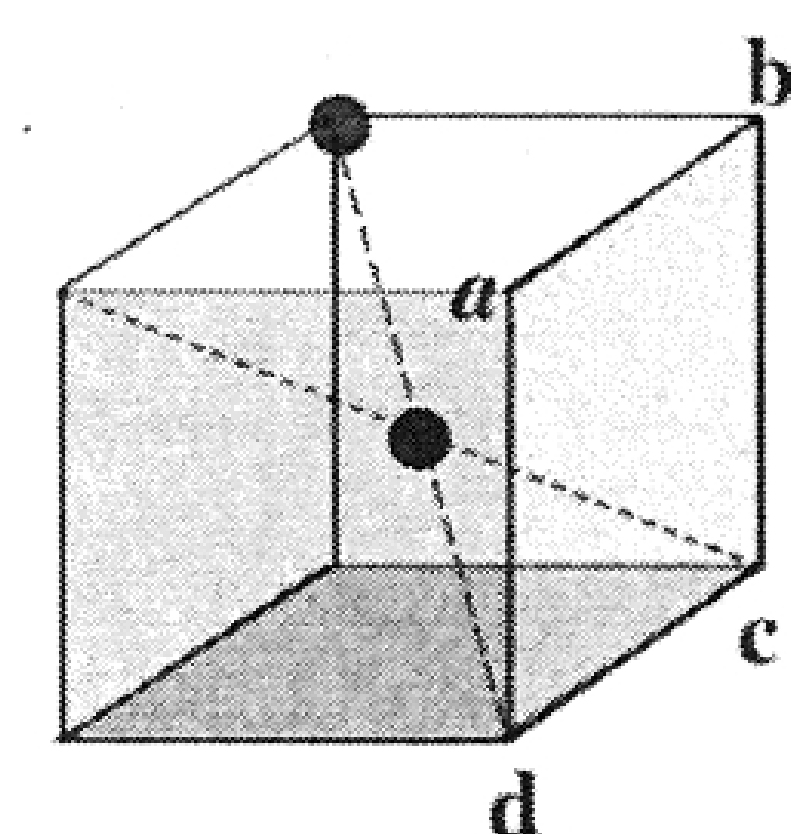
点电荷位于正方体中心时，每一面  $\Phi$  均相同（对称性），故对密合表面， $\oint \vec{E} d\vec{S} = 6\Phi = \frac{q}{\epsilon_0}$ ，即

$$\Phi = \frac{q}{6\epsilon_0}$$

点电荷位于一顶点时，扩展正方体，使之保持对称性  
 $\Phi_{\text{总}} = 6 \times \Phi_{\text{面}} = 6 \times 4\Phi$

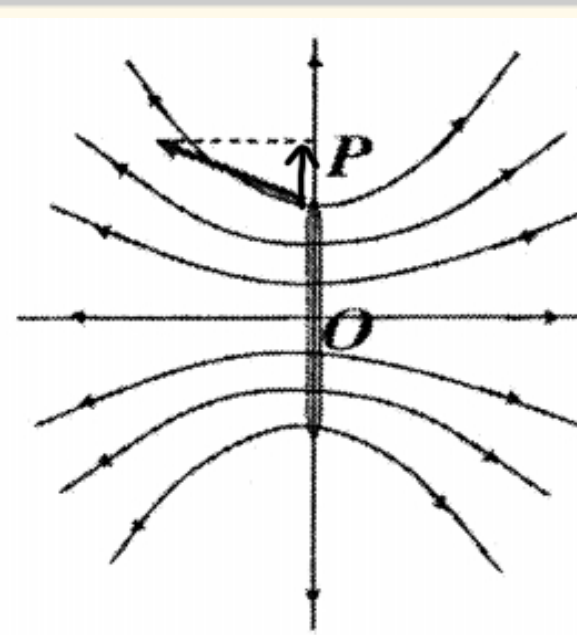
$$= \frac{q}{\epsilon_0}$$

$$\Phi = \frac{q}{24\epsilon_0}$$



7. 已知均匀带正电圆盘的静电场的电场线分布如图 5-1-12 所示。由此电场线分布图可断定圆盘边缘处一点 P 的电势  $\varphi_P$  与中心 O 处的电势  $\varphi_O$  的大小关系是 \_\_\_\_\_。(填“=”，“<”或“>”)

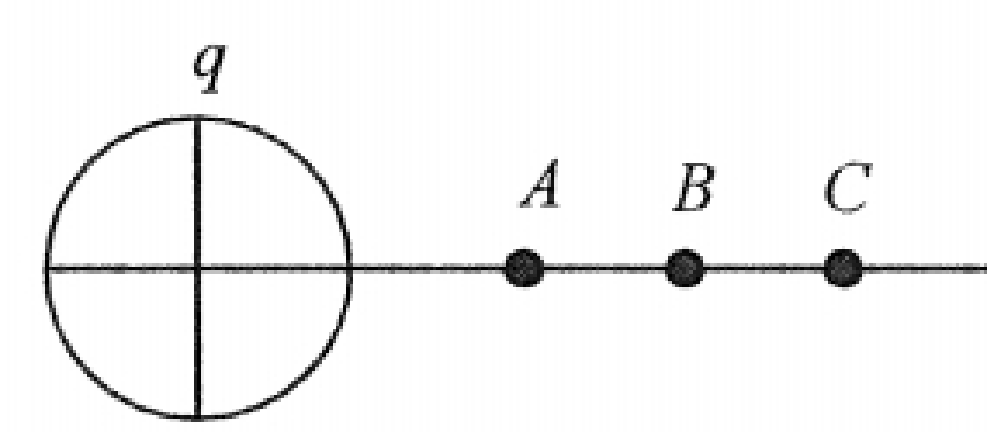
电场强度存在  $\vec{OP}$  方向的分量，故电势下降， $\varphi_0 > \varphi_P$



8. 如图 5-1-13 所示，一点电荷  $q = 10^{-9} C$ ，A、B、C 三点分别距离该点电荷 10cm、20cm、30cm。若选 B 点的电势为零，则 A 点的电势为\_\_\_\_，C 点的电势为\_\_\_\_。(真空介电常量  $\epsilon_0 = 8.85 \times 10^{-12} C^2 \cdot N^{-1} \cdot m^{-2}$ )

$$\int_a^b E q dl = W = -A = -U_{ab} q$$

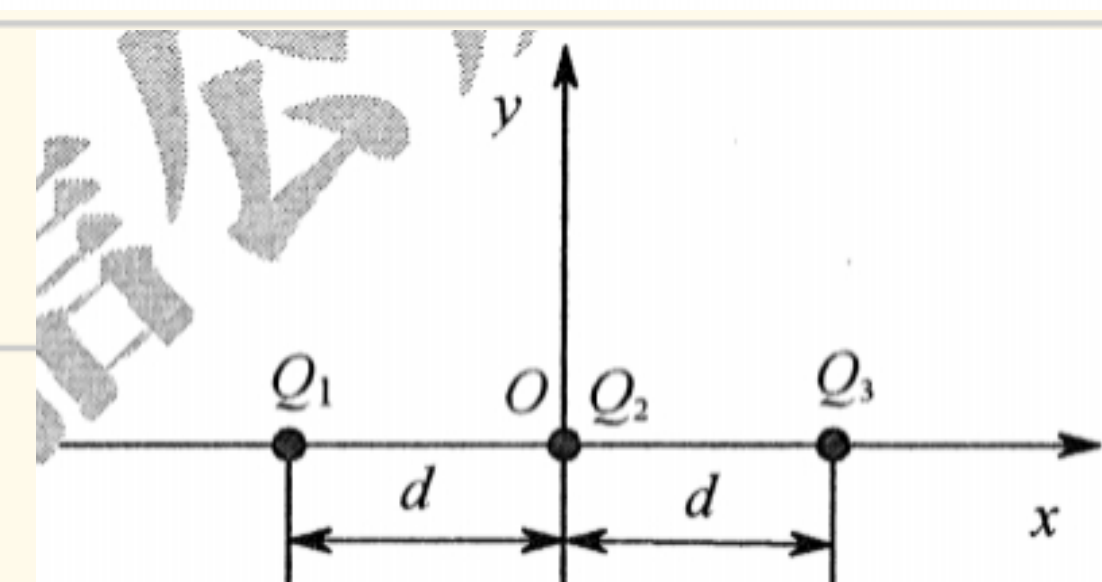
(做功为电势能减少量)



11. 有三个点电荷  $Q_1$ 、 $Q_2$ 、 $Q_3$  沿一条直线等间距  $d$  分布，已知其中任一点电荷受合力均为零，且  $Q_1 = Q_3 = Q$ 。在固定  $Q_1$ 、 $Q_3$  的情况下，将  $Q_2$  从  $Q_1$ 、 $Q_3$  连线中点移至无穷远处外力所做的功为\_\_\_\_。

$$W = \int_0^\infty \vec{E} Q_2 dl = \Theta U_{\infty\infty} \cdot Q_2 = \varphi_0 \cdot Q_2$$

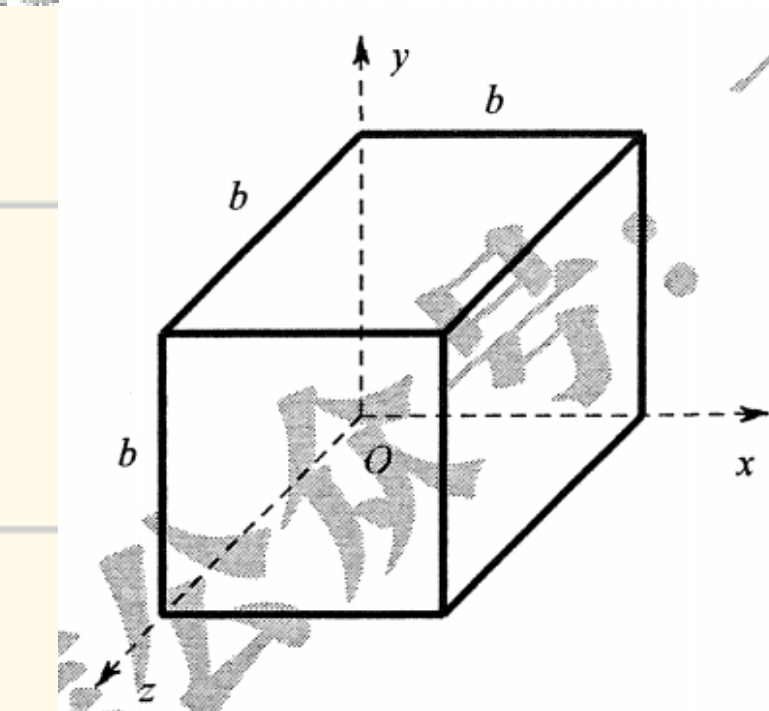
$$\text{外力做的功 } W'_{\text{外}} = \Theta W_{\text{物}} = -\varphi_0 \cdot Q_2$$



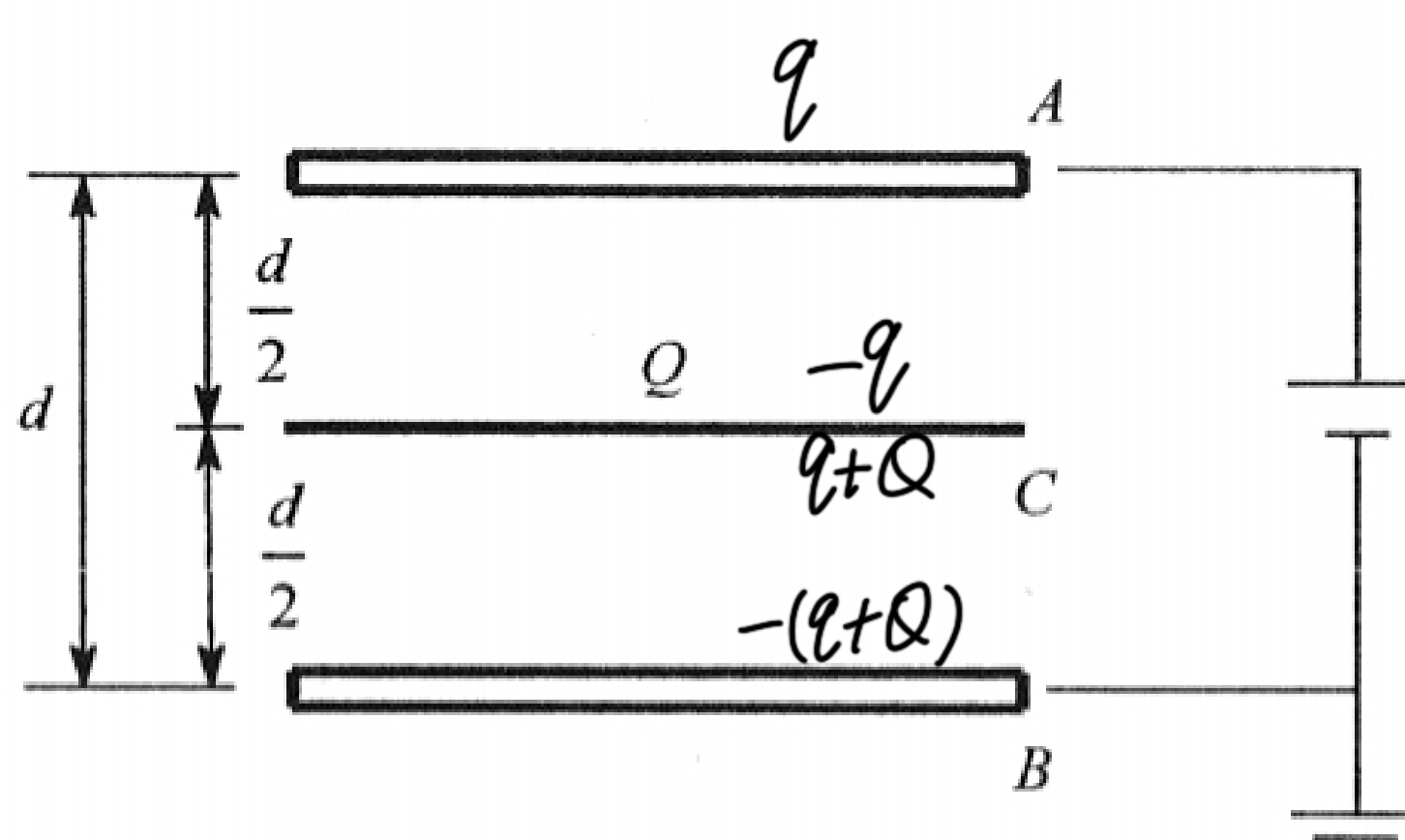
3. 边长为  $b$  的立方盒子的六个面，分别平行于  $Oxy$ 、 $Oyz$  和  $Oxz$  平面，如图 5-1-17 所示。

盒子的一角在坐标原点处。在此区域有一静电场，场强为  $\vec{E} = 200\vec{i} + 300\vec{j}$  (SI)。试求穿过各面的电场强度通量。

注意：通量射入为负  
射出为正



8. 一空气平板电容器，极板 A、B 的面积都是  $S$ ，极板间距离为  $d$ 。接上电源后，A 板电势  $\varphi_A = \epsilon$ ，B 板电势  $\varphi_B = 0$ 。现将一带有电荷  $Q$ 、面积也是  $S$  而厚度可忽略的导体片 C 平行插在两极板的中间位置，如图 5-1-20 所示，试求导体片 C 的电势。



$$E_{AC} = \frac{q}{\epsilon_0 S} \quad E_{CB} = \frac{q+Q}{\epsilon_0 S}$$

$$\int_A^B Edl = \frac{qd}{2\epsilon_0 S} + \frac{(q+Q)d}{2\epsilon_0 S} \Rightarrow q = \frac{\epsilon_0 S E}{d} - \frac{Q}{2d}$$

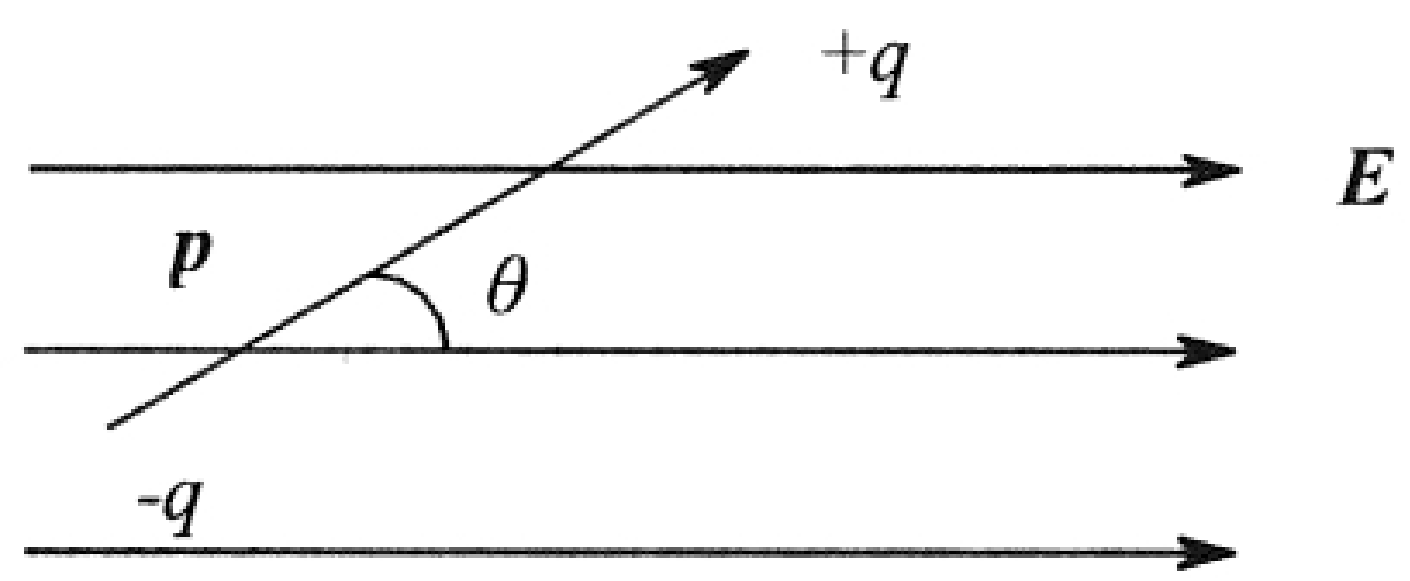
$$= -U_{AB} = \varphi_A = \mathcal{E}$$

$$\varphi_C = \int_C^B E_{CB} dl = \frac{\mathcal{E}}{2} + \frac{Qd}{4\epsilon_0 S}$$

10.一电偶极子由电荷量为  $q$  的两个异号点电荷组成，两电荷相距  $l$ 。把这电偶极子放在场强大小为  $E$  的均匀电场中。试求：(1) 电场作用于电偶极子的最大力矩。(2) 电偶极子从受最大力矩的位置转到平衡位置过程中，电场力做的功。

$$\vec{M} = \vec{P} \times \vec{E}$$

$$W = - \int_{\frac{\pi}{2}}^0 \vec{M} d\theta$$



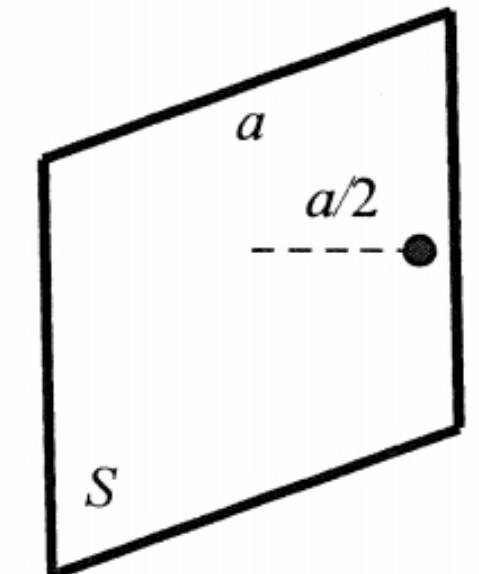
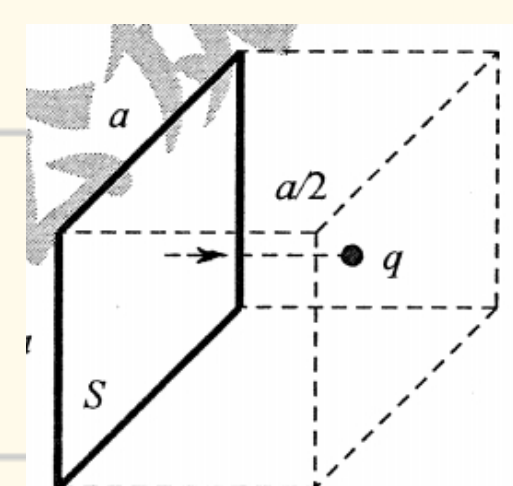
1.图 5-2-1 所示一边长为  $a$  的正方形平面。在其中垂线上距正方形中心  $O$  点  $a/2$  处，置一电荷量为  $q$  的正点电荷，则通过该平面的电场强度通量为 ( )

- (A)  $\frac{q}{3\epsilon_0}$     (B)  $\frac{q}{4\pi\epsilon_0}$     (C)  $\frac{q}{6\epsilon_0}$     (D)  $\frac{q}{3\pi\epsilon_0}$

扩展至闭合曲面

$$\Phi_0 = \frac{1}{6} \Phi$$

$$\Phi = \frac{q}{\epsilon_0}$$



3.如图 5-2-3 所示，A 和 B 为两个均匀带电球体。其中 A 带电荷  $+q$ ，B 带电荷  $-q$ 。如作一与 A 同心的球形高斯面  $S$ ，则 ( )

- (A) 通过  $S$  面的电场强度通量为零， $S$  面上各点的场强为零

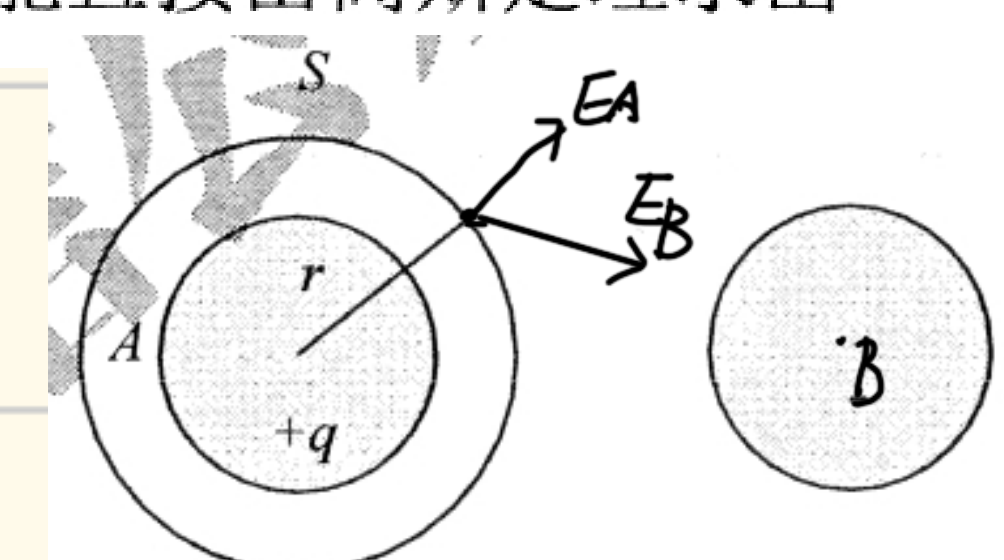
- (B) 通过  $S$  面的电场强度通量为  $q/\epsilon_0$ ， $S$  面上场强的大小为  $E = \frac{q}{4\pi\epsilon_0 r^2}$

$$E = \frac{q}{4\pi\epsilon_0 r^2}$$

B 球对Φ无影响

- (C) 通过  $S$  面的电场强度通量为  $-q/\epsilon_0$ ， $S$  面上场强的大小为  $E = \frac{q}{4\pi\epsilon_0 r^2}$

- (D) 通过  $S$  面的电场强度通量为  $q/\epsilon_0$ ，但  $S$  面上各点的场强不能直接由高斯定理求出



5.一电子和一质子相距  $2 \times 10^{-10} m$  (两者静止)，将此两粒子分开到无穷远距离 (两者仍静止)

所需要的最小能量是 \_\_\_\_\_ eV。 (质子电荷  $e = 1.60 \times 10^{-19} C$ ，  $1eV = 1.60 \times 10^{-19} J$ 。)

$$W = -U_{r00}q \text{ 或 } \sum \frac{1}{2} q\varphi$$

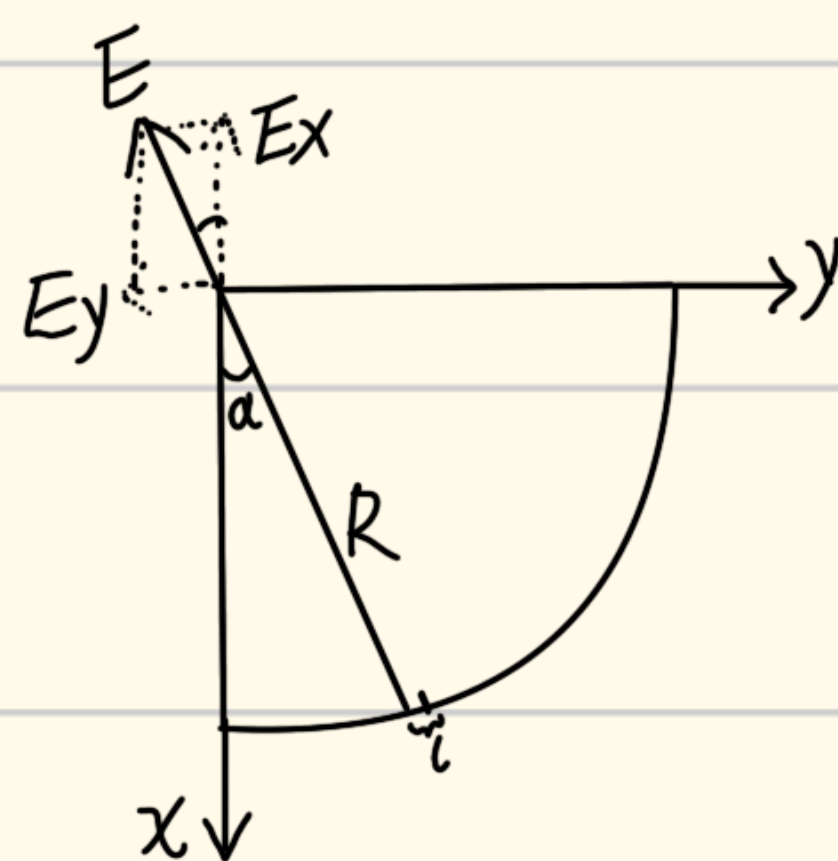
$$w = \frac{W}{ev} = \frac{e^2}{4\pi\epsilon_0 r \cdot ev}$$

8. 空间某一区域的电势分布为  $\varphi = Ax^2 + By^2$ , 其中  $A, B$  为常量, 则场强分布为  $E_x = \underline{\hspace{2cm}}$ ,

$$E_y = \underline{\hspace{2cm}}$$

$$E_x = -\frac{d\varphi}{dx}, \quad E_y = -\frac{d\varphi}{dy}$$

2. 一无限长圆柱面, 其面电荷密度为  $\sigma = \sigma_0 \cos \alpha$ , 式中  $\alpha$  为半径  $R$  与  $x$  轴所夹的角, 如图 5-2-11 所示, 试求圆柱轴线上一点的场强。



$$\begin{aligned} \text{电荷线密度 } \lambda &= \frac{0 \cdot l \cdot L_{\text{长度}}}{L_{\text{长度}}} \\ &= \sigma_0 \cos \alpha \cdot R d\alpha \end{aligned}$$

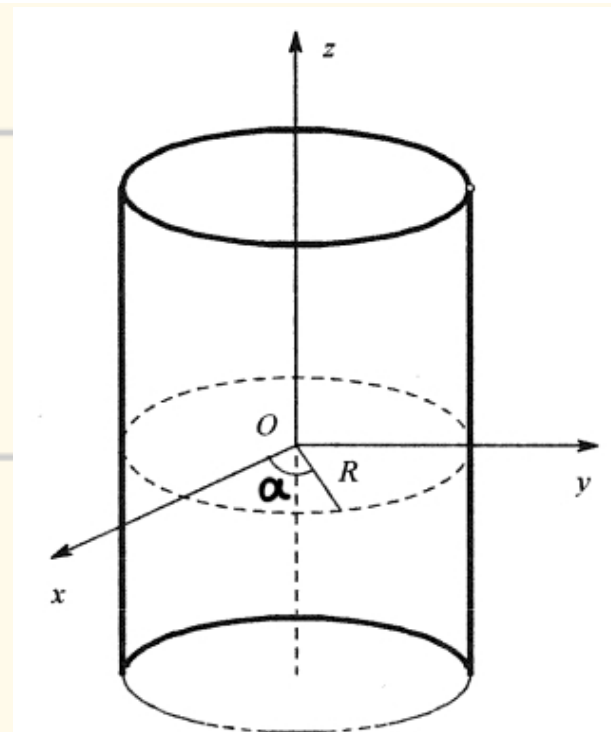
$$\text{场强 } dE = \frac{\lambda}{2\pi\epsilon_0 R}$$

$$dE_x = -dE \cos \alpha$$

$$dE_y = -dE \sin \alpha$$

$$\text{积分, } E_x = -\frac{\sigma_0}{2\epsilon_0}, E_y = 0$$

$$\text{故轴线上一点场强为 } \frac{\sigma_0}{2\epsilon_0}, \text{ 沿 } x \text{ 轴负向}$$



3. 一半径为  $R$  的带电球体, 其电荷体密度分布为  $\rho = Cr$  ( $r \leq R$ ,  $C$  为常量)  $\rho = 0$  ( $r > R$ )

试求: (1) 带电球体的总电荷量; (2) 球内、外各点的电场强度; (3) 球内、外各点的电势。

(1)  $\rho = Cr$  ( $r < R$ )  $\Rightarrow$  一个球面上的电荷密度相同

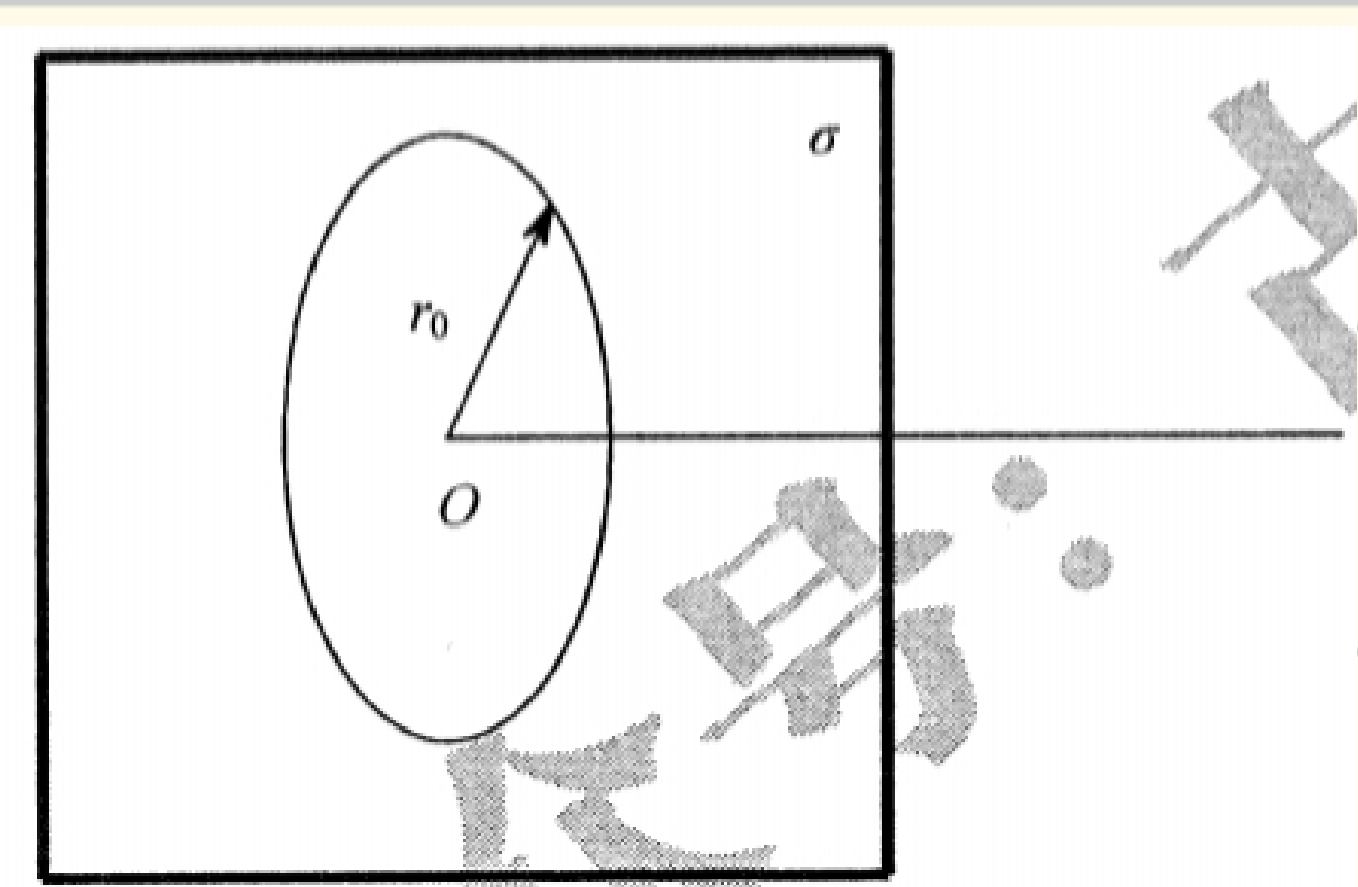
$$dq = 4\pi r^2 dr \cdot \rho \Rightarrow q = \int_0^R dq$$

(2) 注意, 球体电荷并不均匀, 所以  $q \neq \frac{r^3}{R^3} Q$

$$\text{必须用 } \int_0^r 4\pi r^2 \rho dr \text{ 积分}$$

6. 一无限大平面中部有一半径为  $r_0$  的圆孔, 设平面上均匀带电, 电荷面密度为  $\sigma$ , 如图 5-2-

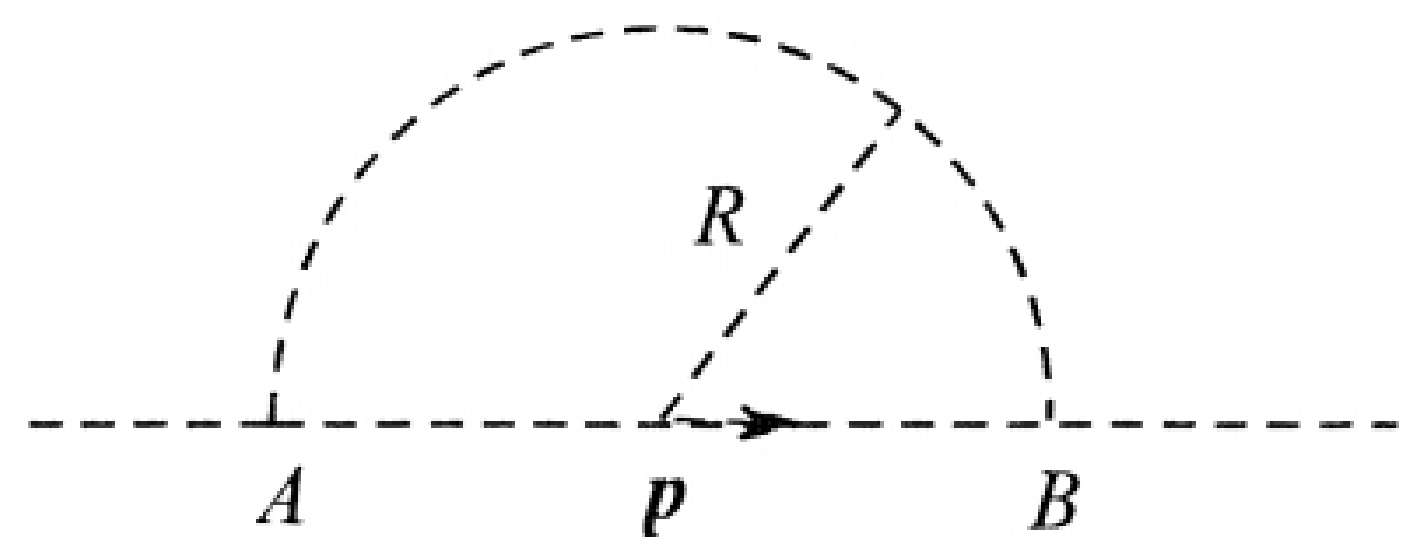
14 所示。试求通过小孔中心 O 并与平面垂直的直线上各点的场强和电势。(提示: 选 O 点的电势为零。)



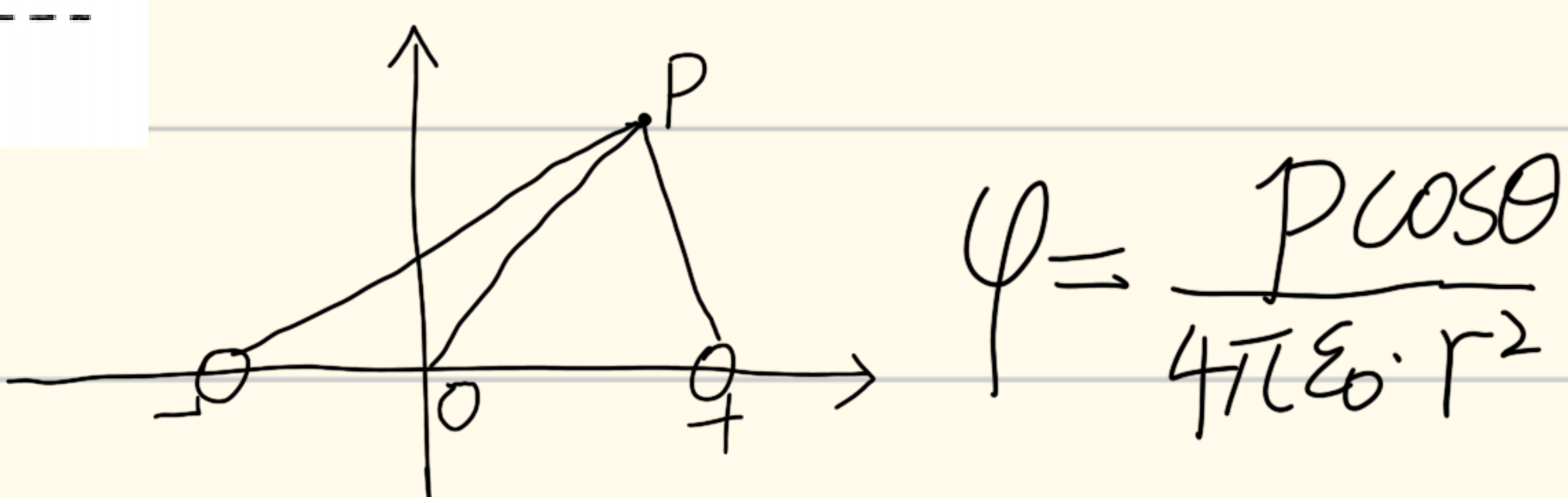
注意：圆盘轴线  $E = \frac{\sigma}{2\epsilon_0} \cdot [1 - \frac{x}{\sqrt{x^2 + r_0^2}}]$

圆环轴线  $E = \frac{q}{4\pi\epsilon_0} \cdot \frac{x}{(x^2 + r_0^2)^{\frac{3}{2}}}$   
勿混淆

8. 如图 5-2-16 所示，在电矩为  $\vec{p}$  的电偶极子的电场中，将一电荷为  $q$  的点电荷从 A 点沿半径为  $R$  的圆弧（圆心与电偶极子中心重合， $R \gg$  电偶极子正负电荷之间距离）移到 B 点，求此过程中电场力所做的功。

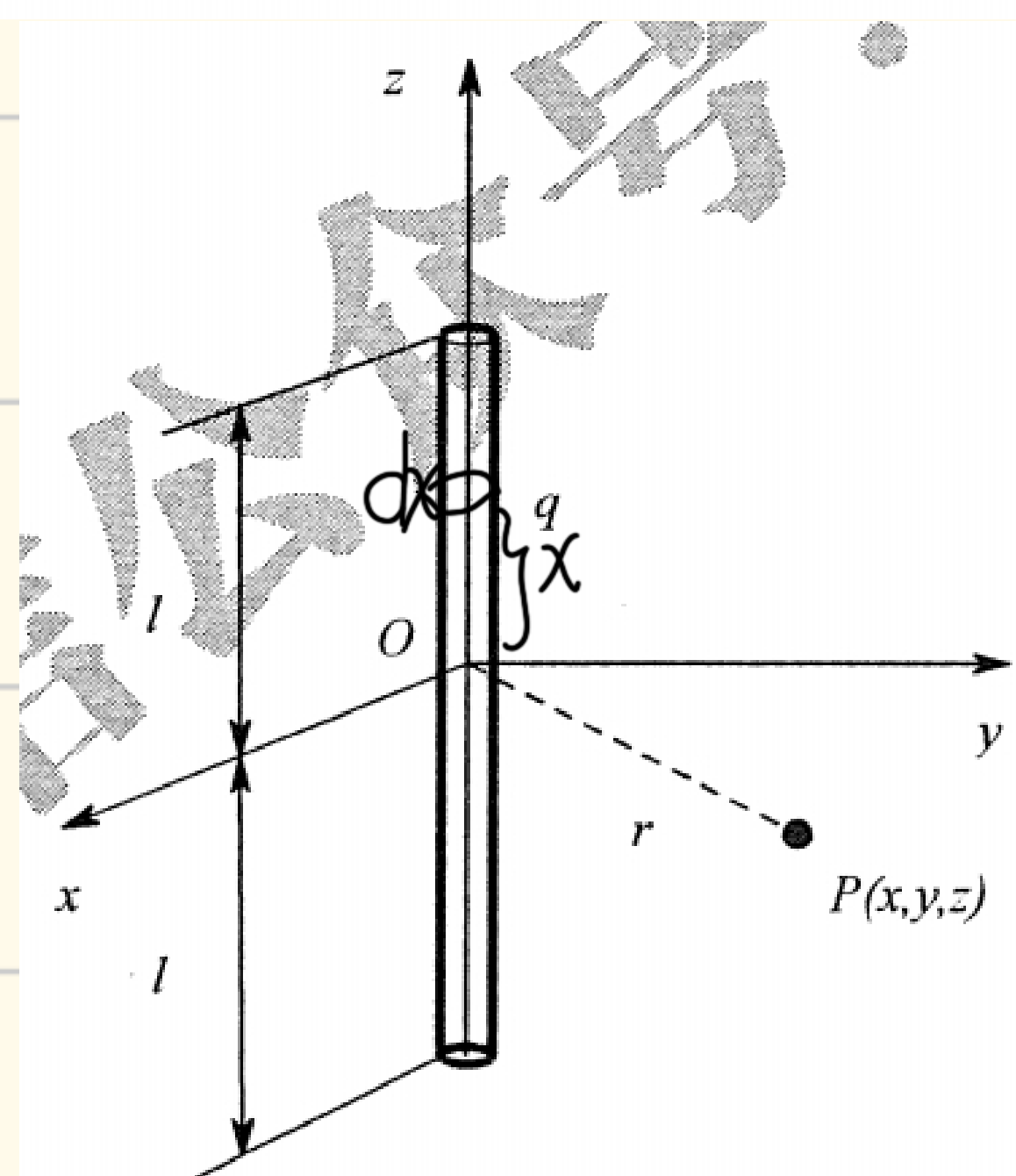


在电偶极子附近



$$W = -U_{AB} q = (\varphi_a - \varphi_b) q \\ = \frac{pq}{4\pi\epsilon_0 r^2} \cdot (\cos\pi - \cos 0) = \frac{-pq}{2\pi\epsilon_0 r^2}$$

9. 电荷量  $q$  均匀分布在沿  $z$  轴放置的长为  $2l$  的直杆上，如图 5-2-17 所示。求直杆的中垂面上距离杆中心 O 为  $r$  处的  $P(x, y, 0)$  点电势  $\varphi$ ，并用电势梯度法求电场强度  $\vec{E}$ 。



$$\varphi = \frac{q}{8\pi\epsilon_0 l} \int_{-l}^{l} \frac{dx}{\sqrt{r^2 + x^2}}$$

$$= \ln \left( x + \sqrt{r^2 + x^2} \right) \Big|_{-l}^{l}$$

注意：无需将  $r^2 = x^2 + y^2$  再  $E_x = -\frac{d\varphi}{dx}$   
可直接  $\frac{d\varphi}{dr}$ ,  $E = \dots \vec{er}$

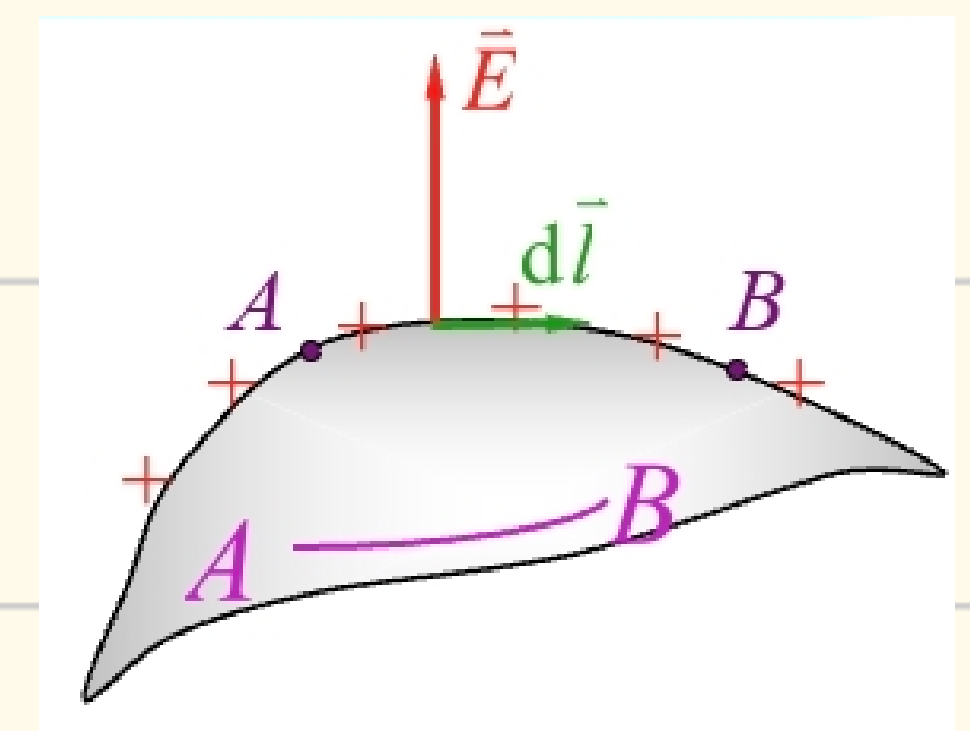
# 第六章 静电场中的导体和电介质

## 静电平衡状态

(导体内部、表面均无电荷定向移动)

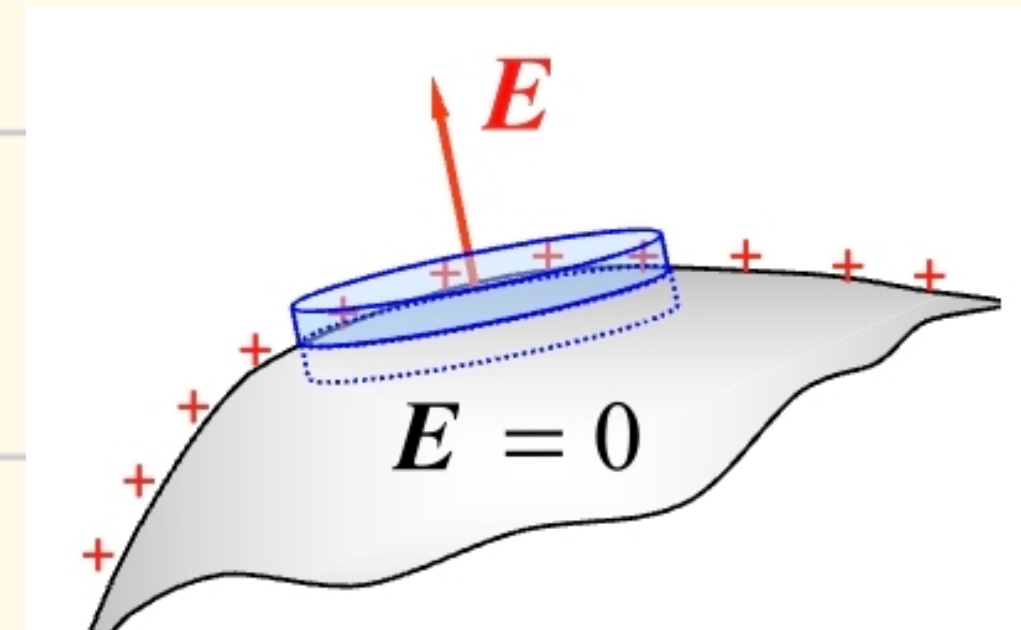
导体是等势体

$E = 0$ $\Leftrightarrow$ 导体内部电势相等 $\Leftrightarrow$ 导体表面场强方向与表面垂直 $\Leftrightarrow$ 导体表面是等势面
--



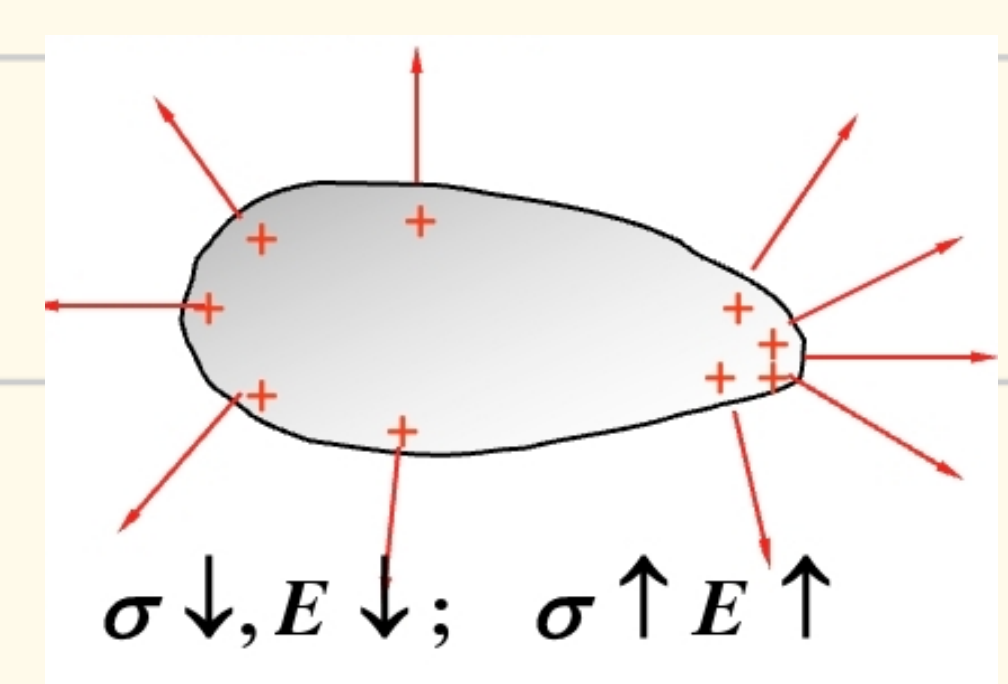
电荷分布

电荷只分布在导体表面，内部没有电荷 $E = \frac{\sigma}{\epsilon_0}$
--



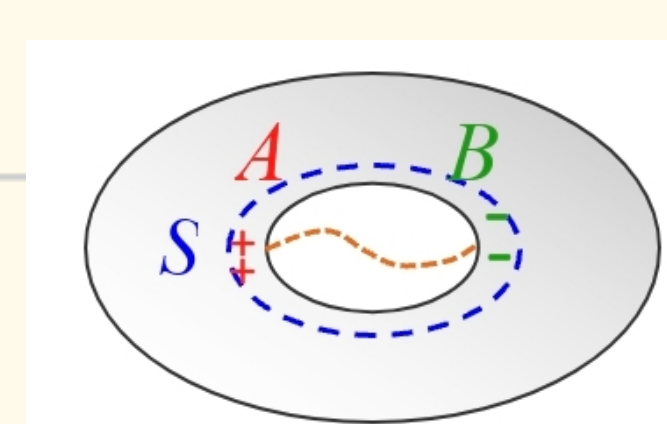
## 尖端放电现象

面电荷密度只取决于表面的曲率  
(孤立的球形带电导体, 电荷均匀分布)



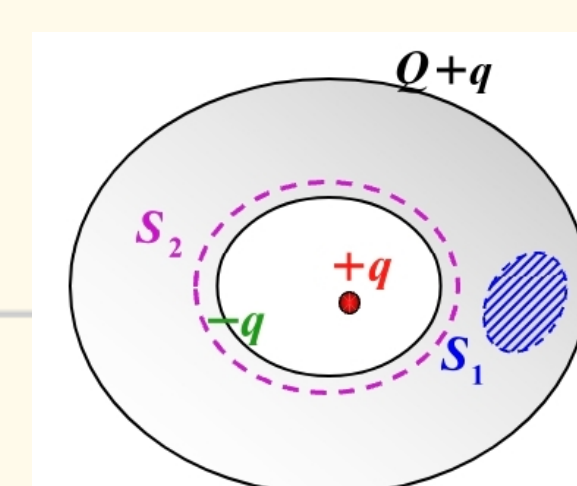
## 静电屏蔽

导体空腔内无带电体  
内表面无电荷, 电荷分布在外表面  
空腔无电场, 且室内等势区



导体空腔内有带电体

内表面感应电荷与空腔内带电体等值异号  
空腔内电场仅由腔内带电体与内表面感应电荷决定  
空腔外电场  $\begin{cases} \text{不受腔内 } q \text{ 位置变化影响} & \text{若不接地} \\ \text{受腔内 } q \text{ 位置变化影响} & \text{若接地} \end{cases}$



### 举例

e.g. 不带电金属球外存在一点电荷+q

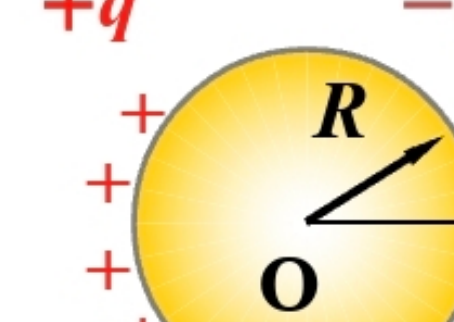
若不接地, 球心O处电场

$$\vec{E}_0 = \vec{E}_{\text{球生}} + \vec{E}_{\text{外场}}$$

由于导体内电场为0, 即  $E_0 = 0$

$$\vec{E}_{\text{球生}} = -\vec{E}_{\text{外场}}$$

+q' -q'



产生电荷在球心电势

$$\varphi_{\text{球生}} = \varphi_{\text{球体表面}} = \frac{(+q') + (-q')}{4\pi\epsilon_0 R} = 0$$

点电荷在球心电势

$$\varphi_{\text{外场}} = \frac{q}{4\pi\epsilon_0 a}$$

球心O电势

$$\varphi_0 = \varphi_{\text{球生}} + \varphi_{\text{外场}} = \frac{q}{4\pi\epsilon_0 a}$$

若接地, 设球上有净的负电荷  $q_0$

$$\text{圆心O处电势 } \varphi_0 = \varphi_{\text{大地}} = 0$$

$$\varphi_0 = \varphi_{\text{球}} + \varphi_{\text{地}} = \frac{q_0}{4\pi\epsilon_0 R} + \frac{q}{4\pi\epsilon_0 a}$$

$$\text{故 } q_0 = -\frac{R}{a} q$$

e.g. 两块大金属平板, 一块带电Q, 另一块不带电

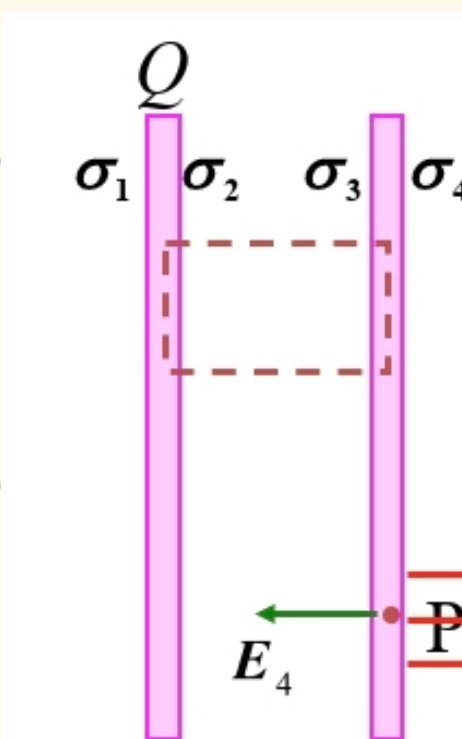
设四个表面电荷面密度为  $\sigma_1, \sigma_2, \sigma_3, \sigma_4$

若另一块板不接地

$$\text{由电荷守恒知 } (\sigma_1 + \sigma_2) \cdot S = Q \quad (\sigma_3 + \sigma_4) \cdot S = 0$$

作高斯面  $\sigma_2 + \sigma_3 = 0$

$$\text{金属板内任一点 } E = \frac{\sigma_1 + \sigma_2 + \sigma_3 + \sigma_4}{2\epsilon_0} = 0$$



$$\text{解得 } \sigma_1 = \sigma_2 = \sigma_4 = \frac{Q}{2S}, \quad \sigma_3 = -\frac{Q}{2S}$$

若另一块板接地

金属板右侧电荷会被分散至地球

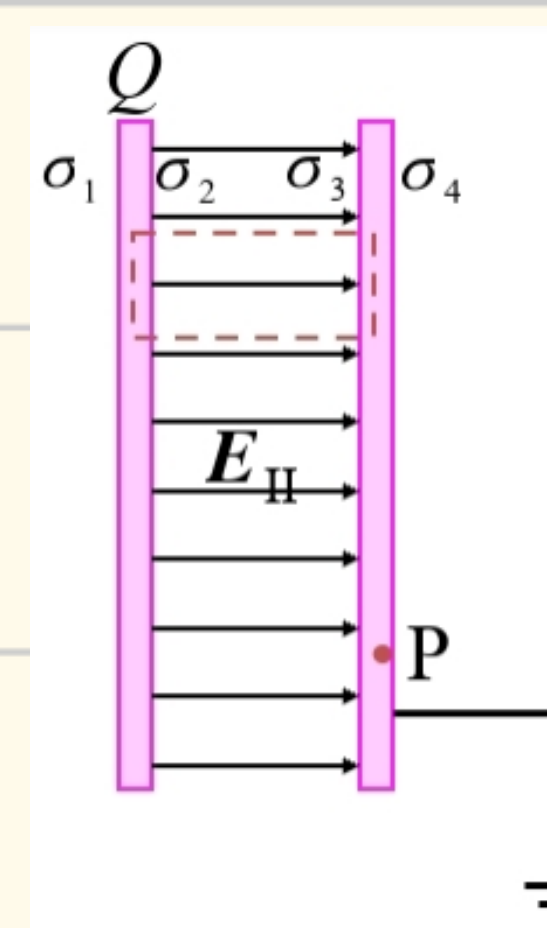
$$\sigma_4 = 0$$

$$\text{同样有电荷守恒 } \sigma_1 + \sigma_2 = \frac{Q}{S}$$

$$\text{高斯定理 } \sigma_2 + \sigma_3 = 0$$

$$\text{内部场强为零 } \frac{\sigma_1}{2\epsilon_0} + \frac{\sigma_2}{2\epsilon_0} + \frac{\sigma_3}{2\epsilon_0} + \frac{\sigma_4}{2\epsilon_0} = 0$$

$$\text{解得 } \sigma_1 = 0, \sigma_2 = \frac{Q}{S}, \sigma_3 = -\frac{Q}{S}, \sigma_4 = 0$$

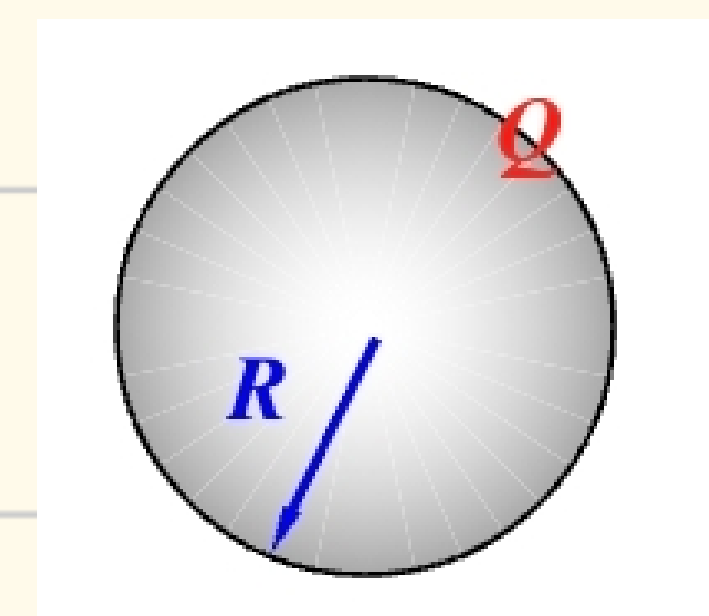


## 电容

$$\text{电容 } C = \frac{Q}{V} \quad \text{单位 } 1F = 10^6 \mu F = 10^{12} pF$$

孤立导体球电容

$$C = \frac{Q}{V} = \frac{Q}{\frac{Q}{4\pi\epsilon_0 R}} = \underline{4\pi\epsilon_0 R}$$



电容器器电容

$$C = \frac{Q}{V_A - V_B} = \frac{Q}{V}$$

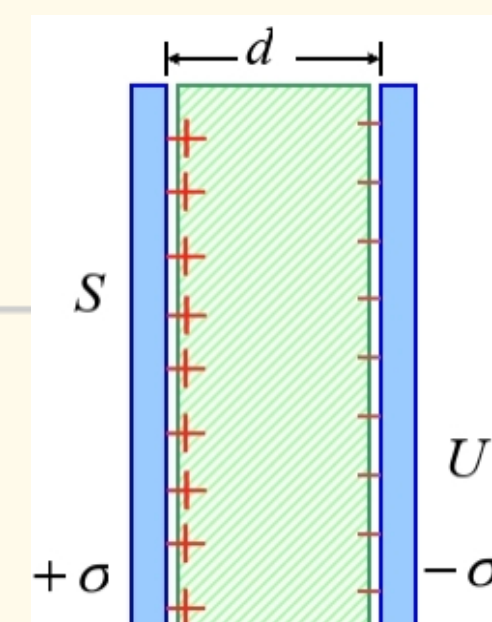
电容大小只与导体形状、相对位置有关，与电荷量无关

## 电容器器电容计算

平行板电容器

$$U = Ed = \frac{\epsilon_0}{d} d = \frac{Q}{\epsilon_0 S} d$$

$$C = \frac{Q}{V} = \frac{\epsilon_0 S}{d}$$

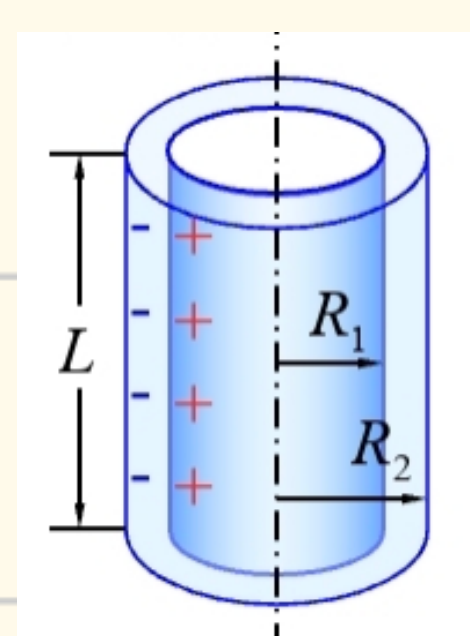


圆柱形电容器

$$U = \int_{R_1}^{R_2} Edr = \int_{R_1}^{R_2} \frac{\lambda}{2\pi\epsilon_0 r} dr = \frac{Q}{2\pi\epsilon_0 L} \cdot \ln \frac{R_2}{R_1}$$

$$C = \frac{Q}{V} = \frac{2\pi\epsilon_0 L}{\ln \frac{R_2}{R_1}}$$

$$\text{若 } d = R_2 - R_1 \ll R_1 \text{ 时, } C \approx \frac{\epsilon_0 S}{d}$$

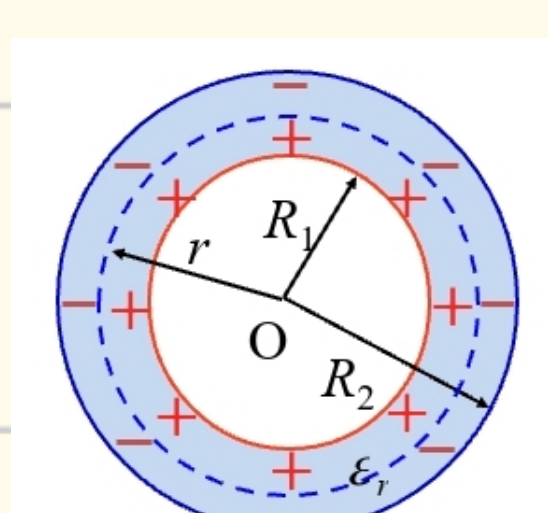


球形电容器

$$U = \int_{R_1}^{R_2} Edr = \int_{R_1}^{R_2} \frac{Q}{4\pi\epsilon_0 r^2} dr = \frac{Q}{4\pi\epsilon_0} \cdot \left( \frac{1}{R_1} - \frac{1}{R_2} \right)$$

$$C = \frac{Q}{V} = 4\pi\epsilon_0 \cdot \frac{R_1 R_2}{R_2 - R_1}$$

$$\text{当 } R_2 \rightarrow \infty \text{ 时, } C = 4\pi\epsilon_0 R$$

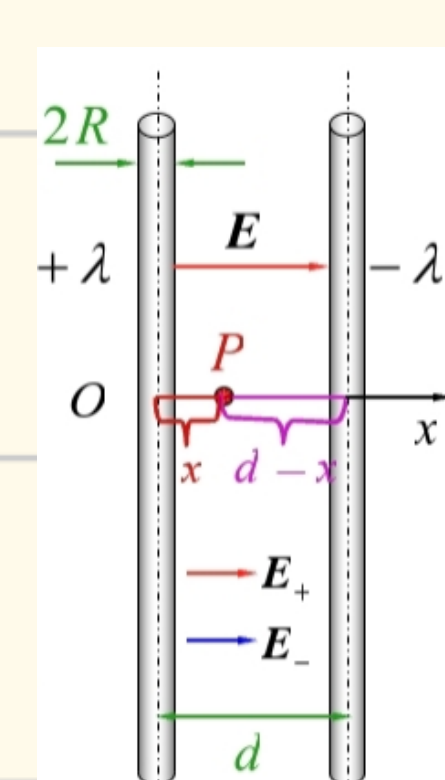


平行直导线电容器

$$U = \int_R^{d-R} Edx = \int_R^{d-R} \left[ \frac{\lambda}{2\pi\epsilon_0 x} + \frac{\lambda}{2\pi\epsilon_0 (d-x)} \right] dx$$

$$\approx \frac{\lambda}{\pi\epsilon_0} \cdot \ln \frac{d}{R}$$

$$\text{单位长度电容 } C = \frac{\lambda}{V} = \frac{\pi\epsilon_0}{\ln \frac{d}{R}}$$



## 电容器的连接

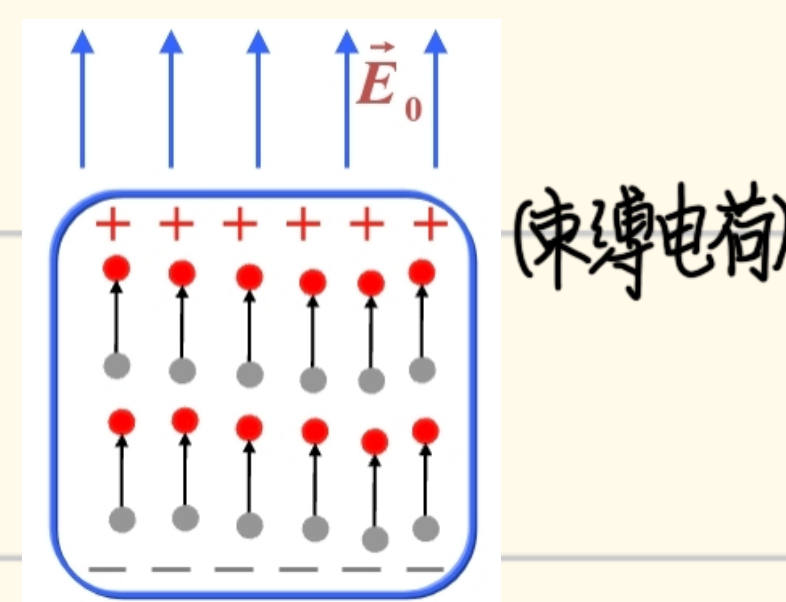
$$\text{电容器串联: } \frac{1}{C} = \frac{1}{C_1} + \frac{1}{C_2}$$

$$\text{电容器并联: } C = C_1 + C_2$$

# 电介质的极化

电介质 < 无极分子  
有极分子:  $\vec{P} = q\vec{r}$  (固有电矩)

极化 < 位移极化 → 取向极化



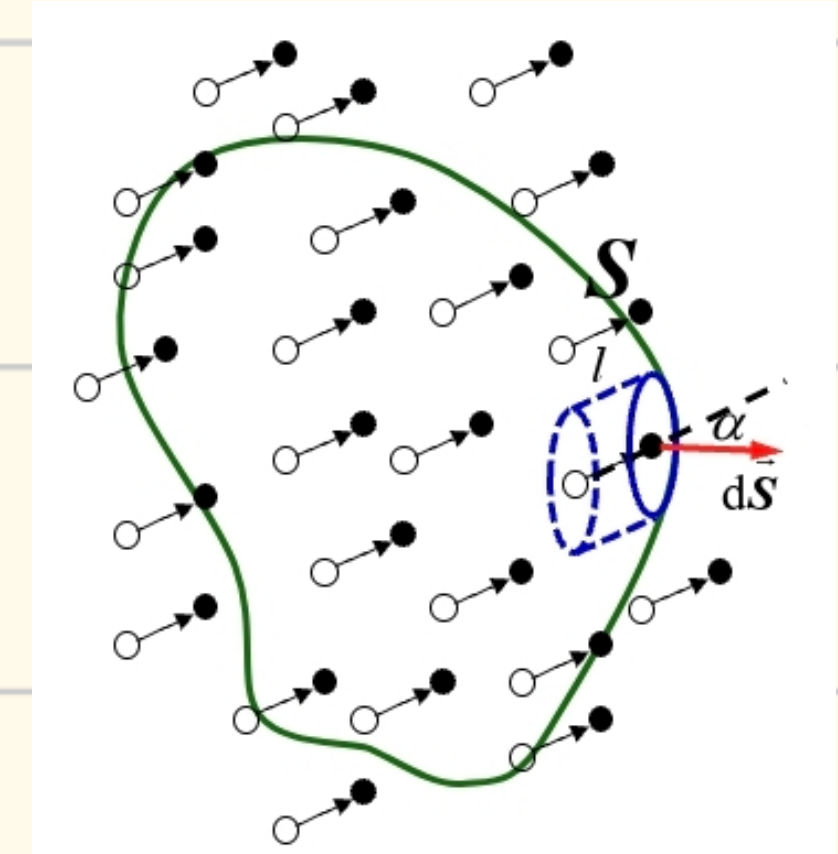
## 极化强度

(单位体积内偶极距的矢量和)  $\vec{P} = \frac{\sum \vec{p}_i}{\Delta V}$

对均匀极化的电介质  $\vec{P} = n\vec{p} = nq\vec{r}$

束缚电荷面密度  $\sigma = \vec{P} \cdot \vec{e}_n$

体束缚电荷  $q' = -\iiint_S \vec{P} \cdot d\vec{S}$



## 极化规律

$$\vec{P} = \chi_e \epsilon_0 \vec{E}, \quad \chi_e \text{为介质极化率}$$

## 高斯定理

$$\oint_S \vec{D} \cdot d\vec{S} = \sum q_i$$

$$\text{由位移矢量 } \vec{D} = \epsilon_0 \vec{E} + \vec{P} = \epsilon_0 \vec{E} \cdot (1 + \chi_e)$$

$$\vec{D} = \epsilon_0 \epsilon_r \vec{E} = \epsilon \vec{E}$$

$$\epsilon_r = 1 + \chi_e \text{ 为相对介电常量, } \epsilon = \epsilon_0 \epsilon_r \text{ 为介电常量}$$

## 例1

把一块相对电容率  $\epsilon_r = 3$  的电介质，放在极板间相距  $d = 1\text{mm}$  的平行平板电容器的两极板之间。放入之前，两极板的电势差是  $1000\text{V}$  试求两极板间电介质内的电场强度  $E$ ，电极化强度  $P$ ，极板和电介质的电荷面密度，电介质内的电位移  $D$ 。

$$\text{无介质 } q_1 = \epsilon_0 \vec{E}_1 \cdot dS$$

$$\text{有介质 } q_2 = \epsilon_0 \epsilon_r \vec{E}_2 \cdot dS$$

$$\chi q_1 = q_2, \text{ 有 } \vec{E}_2 = \frac{1}{\epsilon_r} \vec{E}_1 = \frac{1}{\epsilon_r} \cdot \frac{U}{d}$$

$$\text{电极板面电荷密度 } \epsilon_0 S = Q = CU = \frac{\epsilon_0 S}{d} \cdot Ed$$

$$\text{即 } \epsilon_0 = \epsilon_0 E_1$$

## 例2:

**例3** 一平行平板电容器充满两层厚度各为  $d_1$  和  $d_2$  的电介质，它们的相对电容率分别为  $\epsilon_{r1}$  和  $\epsilon_{r2}$ ，极板面积为  $S$ 。求：电容器的电容。

$$\oint D dS = \oint \epsilon_0 \epsilon_r E dS = \epsilon_0 S$$

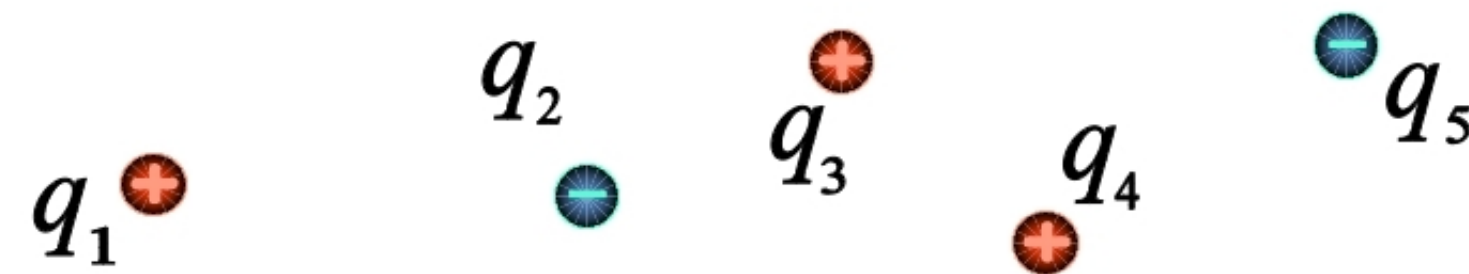
$$E_1 = \frac{\epsilon_0}{\epsilon_0 \epsilon_r}$$

$$C = \frac{Q_1}{U_1} = \frac{\epsilon_0 S}{E_1 d_1} = \frac{\epsilon_0 \epsilon_r S}{d}$$

$$\frac{1}{C} = \frac{1}{C_1} + \frac{1}{C_2} \text{ 串联}$$

# 带电体系的静电能

# 点电荷系相互作用能



设  $n$  个静止电荷所组成的电荷系，将各电荷从彼此相距无限远搬运到现有位置时，外力克服它们之间的静电力所做的功——电荷系的静电相互作用能（互能）

$$\text{互能 } W = \frac{1}{2} \cdot \sum_i q_i \varphi_i$$

连续分布电荷元系统静电能

$$\text{自能 } W = \frac{1}{2} \int_q \varphi dq$$

带电系统的电场总能量

$$W = \underbrace{\int_V W_e dV}_{\text{电场能量密度 } W_e = \frac{1}{2} \epsilon_0 E^2} = \frac{1}{2} \epsilon_0 \epsilon_r E^2 = \frac{1}{2} DE$$

电容器的电能

$$W = \int_0^Q U dq = \frac{1}{C} \int_0^Q q dq = \frac{Q^2}{2C}$$

$$\text{故 } W = \frac{Q^2}{2C} = \frac{1}{2} QU = \frac{1}{2} CU^2$$

**例1** 真空中一个均匀带电球体 ( $R, q$ )，试利用电场能量公式求此带电系统的静电能。

$$dV = 4\pi r^2 dr$$

$$W_e = \epsilon_0 \epsilon_r E^2 = \epsilon_0 E^2 \quad (\text{真空 } \epsilon_r = 1)$$

$$W = \frac{1}{2} \int_0^R \epsilon_0 E_1^2 \cdot dV + \frac{1}{2} \int_R^\infty \epsilon_0 E_2^2 dV$$

# hw 6

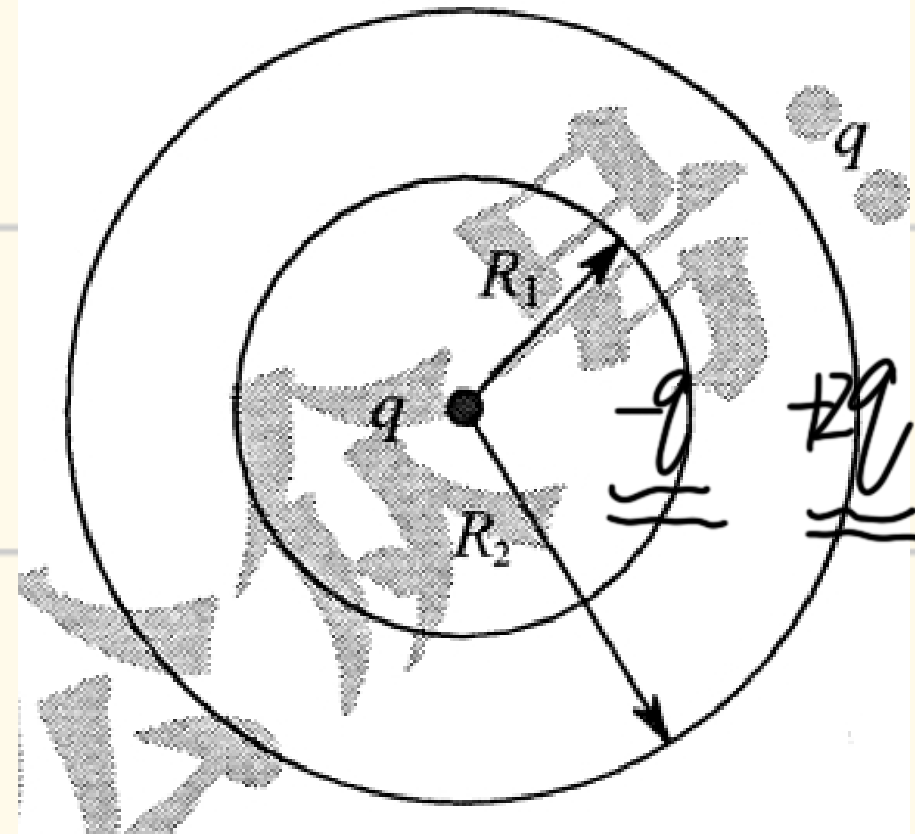
2. 如图 6-1-1 所示, 内、外半径分别为  $R_1$  和  $R_2$  的空心导体球壳, 带电荷量为  $q$ 。当球壳中心处再放一电荷量为  $q$  的点电荷时, 则导体球壳的电势 (设无穷远处为电势零点) 为 ( )

(A)  $\frac{q}{4\pi\epsilon_0 R_1}$

(B)  $\frac{q}{4\pi\epsilon_0 R_2}$

(C)  $\frac{q}{2\pi\epsilon_0 R_1}$

(D)  $\frac{q}{2\pi\epsilon_0 R_2}$



导体球壳壳体内无电场, 等势, 电荷也仅分布在壳体内外表面

$$\Rightarrow \varphi = \frac{q}{4\pi\epsilon_0 R_1} + \frac{-q}{4\pi\epsilon_0 R_1} + \frac{2q}{4\pi\epsilon_0 R_2}$$

4. 一空气平行板电容器, 极板面积为  $S$ , 两极板上分别带电荷量  $\pm q$ , 若不考虑边缘效应, 在两极板间的相互作用力为 ( )

(A)  $\frac{q^2}{\epsilon_0 S}$

(B)  $\frac{q^2}{2\epsilon_0 S}$

(C)  $\frac{q^2}{2\epsilon_0 S^2}$

(D)  $\frac{q^2}{\epsilon_0 S^2}$

视一极为源电荷  $E = \frac{q}{2\epsilon_0 S}$ , 另一极为带电体

$$F = E q = \frac{q^2}{2\epsilon_0 S}$$

(不对电场强度  $E$  产生影响)  
即  $E$  仅为一个极板产生的, 不是两个叠加

5. 下列关于高斯定理的说法中哪一个是正确的? ( )

(A) 高斯面上各点电位移矢量  $\vec{D}$  为零, 则面内必不存在自由电荷  
 $\vec{D}$  的曲面积分分为 0 ( $\oint_S \vec{D} d\vec{s}$ )

(B) 高斯面内不包围自由电荷, 则面上各点电位移矢量  $\vec{D}$  为零  
包围电荷代数和为 0 ( $\sum_i q_i$ )

(C) 高斯面的  $\vec{D}$  通量仅与面内自由电荷有关

6. 一导体球外充满相对介电常量为  $\epsilon_r$  的均匀电介质, 若测得导体表面附近电场强度为  $\vec{E}$ , 则

导体球面上的自由电荷面密度  $\sigma$  为 ( )

(A)  $\epsilon_0 E$     (B)  $\epsilon_0 \epsilon_r E$     (C)  $\epsilon_r E$     (D)  $(\epsilon_0 \epsilon_r - \epsilon_0) E$

自由电荷面密度

$$\oint \vec{D} \cdot d\vec{s} = q$$

$$\sigma_{\text{总}} = \frac{q}{S} = D = \epsilon_0 \epsilon_r E$$

束缚电荷面密度

$$G = \chi_r \epsilon_0 E$$

$$= (\epsilon_r - 1) \epsilon_0 E$$

2.三块互相平行的导体板，相互之间的距离  $d_1$  和  $d_2$  比板的线度小得多，如图 6-1-7 所示。外

面二板用导线连接，中间板上带电。设中间板的左右两面上电荷面密度分别为  $\sigma_1$  和  $\sigma_2$ 。则

比值  $\sigma_1/\sigma_2$  为 \_\_\_\_。

等势

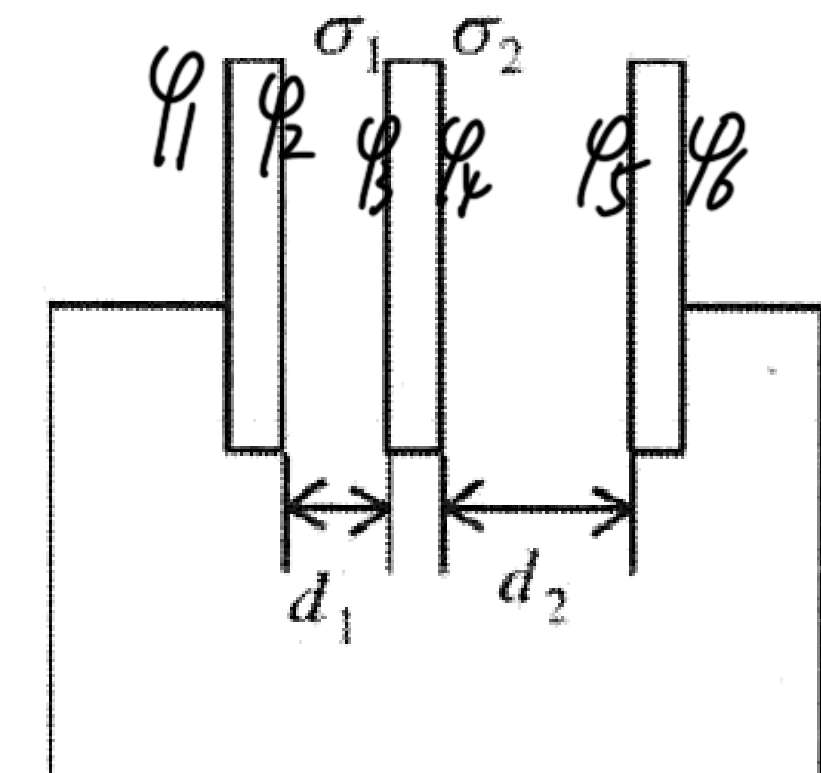
金属板内无电场  $\Rightarrow \varphi_1 = \varphi_2$

$$\varphi_3 = \varphi_4$$

$$\varphi_5 = \varphi_6$$

$$\Rightarrow \varphi_1 = \varphi_2 = \varphi_5 = \varphi_6, \varphi_3 = \varphi_4$$

$$\Rightarrow U_{32} = \frac{\sigma_1}{\epsilon_0} d_1 = U_{45} = \frac{\sigma_2}{\epsilon_0} d_2$$



3.一极板间距为  $d$  的空气平行板电容器，其电容为  $C$ 。充电至板间电压为  $U$ ，然后将电源断开，在两板间平行地插入一厚度为  $d/3$  的金属板，则板间电压变成  $U' = \underline{\hspace{2cm}}$ ，该电容器的电容变为  $C' = \underline{\hspace{2cm}}$ 。

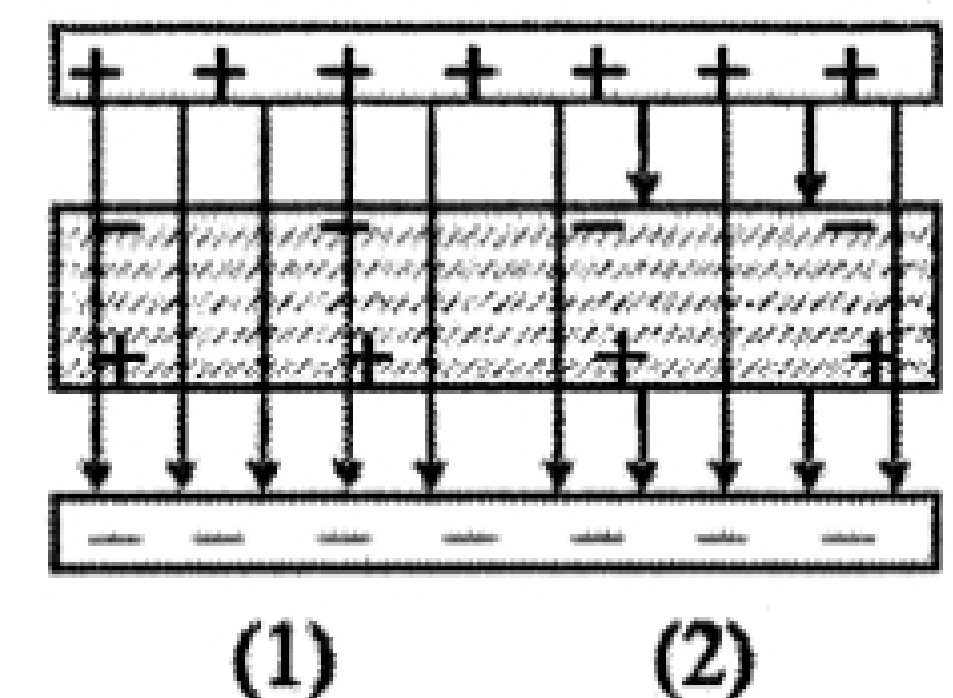
导体：内部场强为零，等势

$\Rightarrow$  相当于减少了极板间的距离

5.平行板电容器中充有各向同性均匀电介质。如图 6-1-8 所示，两组带有箭头的线分别表示电场线和电位移，则其中（1）为 \_\_\_\_，（2）为 \_\_\_\_。

$$\oint D ds = \Sigma q, D = 0 \text{ 处处相等}$$

$$E = \frac{D}{\epsilon_0 \epsilon_r}, \text{ 空气 } E > \text{电介质 } E$$



1.一原来不带电的导体球 A，其内部有两个球形空腔，今在两空腔中心分别放置点电荷  $q_1$  和

$q_2$ ，在距离导体球 A 很远的  $r$  ( $r$  远大于球 A 的线度) 处放一点电荷  $q$ ，如图 6-1-9 所示，

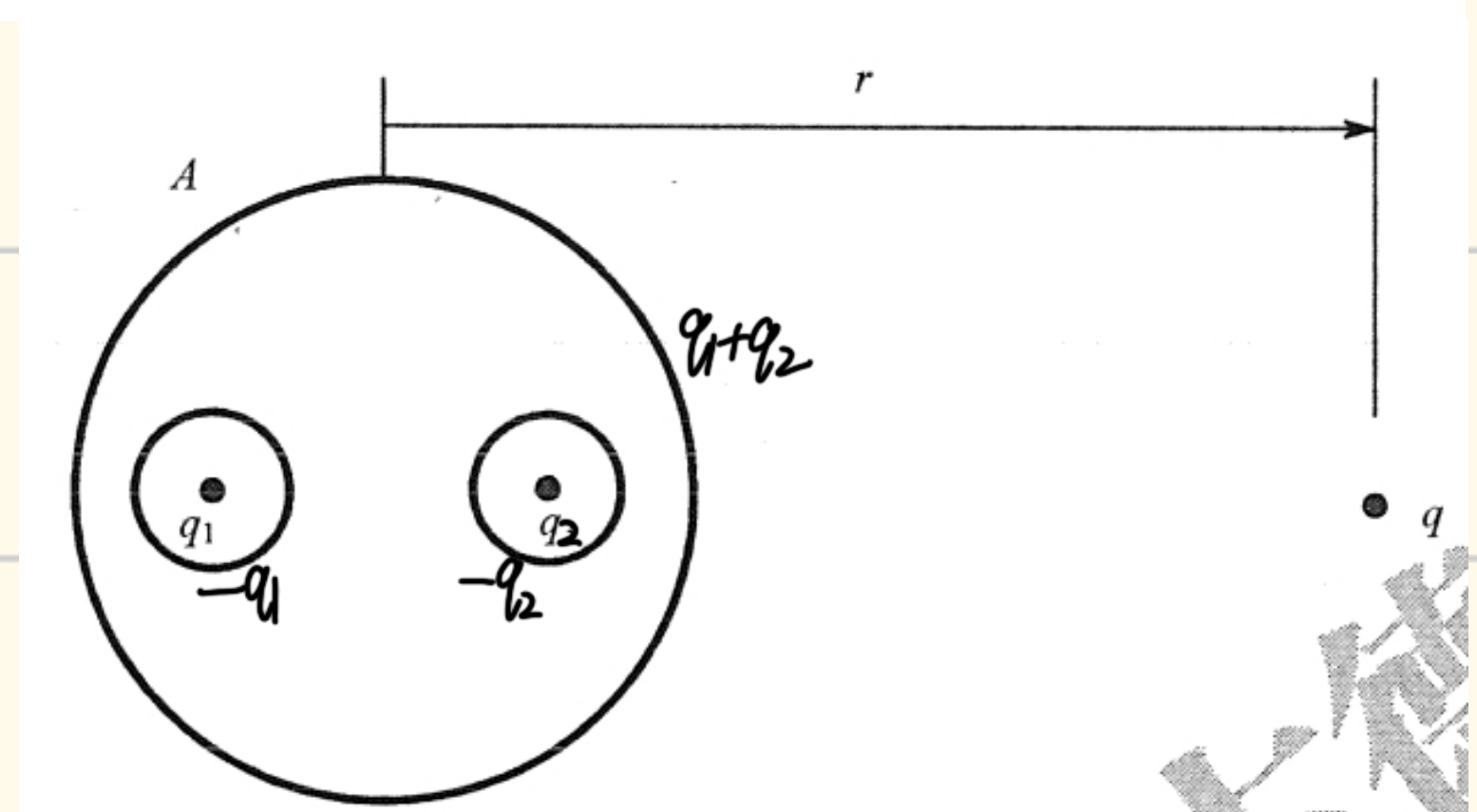
求：(1) 作用于  $q_1$  和  $q_2$  上的力；(2)  $q$  所受的作用力；(3) A 外表面的电荷量并讨论其分布特点。

空腔内的电荷  $q_1, q_2$  不受外界影响

$$\Rightarrow F_{q_1} = F_{q_2} = 0$$

$$\text{因 } r \text{ 较大, 球体视为点电荷, } F_q = \frac{(q_1+q_2) \cdot q}{4\pi\epsilon_0 r^2}$$

A 表面感应电荷视为均匀分布

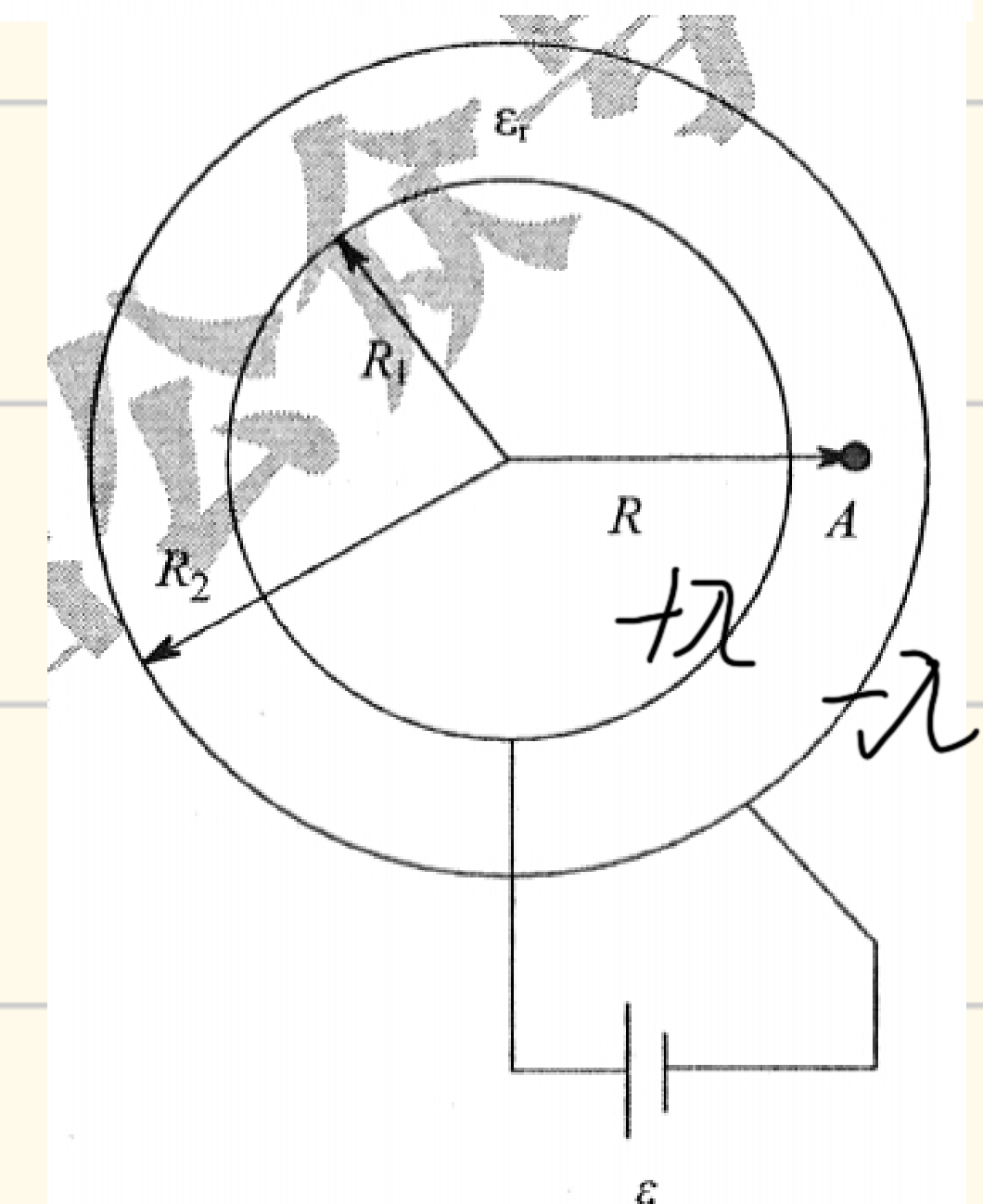


4. 一圆柱形电容器，内、外圆筒的半径分别为  $R_1 = 0.02m$ ,  $R_2 = 0.04m$ , 其间充满相对介电常量为  $\epsilon_r$  的各向同性的均匀电介质。现将电容器接在电动势  $\epsilon = 30V$  的电源上，如图 6-1-12 所示，试求：(1) 在距离轴线  $R = 0.03m$  处的 A 点的电场强度；(2) A 点与外筒间的电势差。

圆柱外，视圆筒为直线，

$$E = \frac{\epsilon}{2\pi\epsilon_0 r}$$

电势差  $\epsilon = \int_{R_1}^{R_2} E dr$  解出入



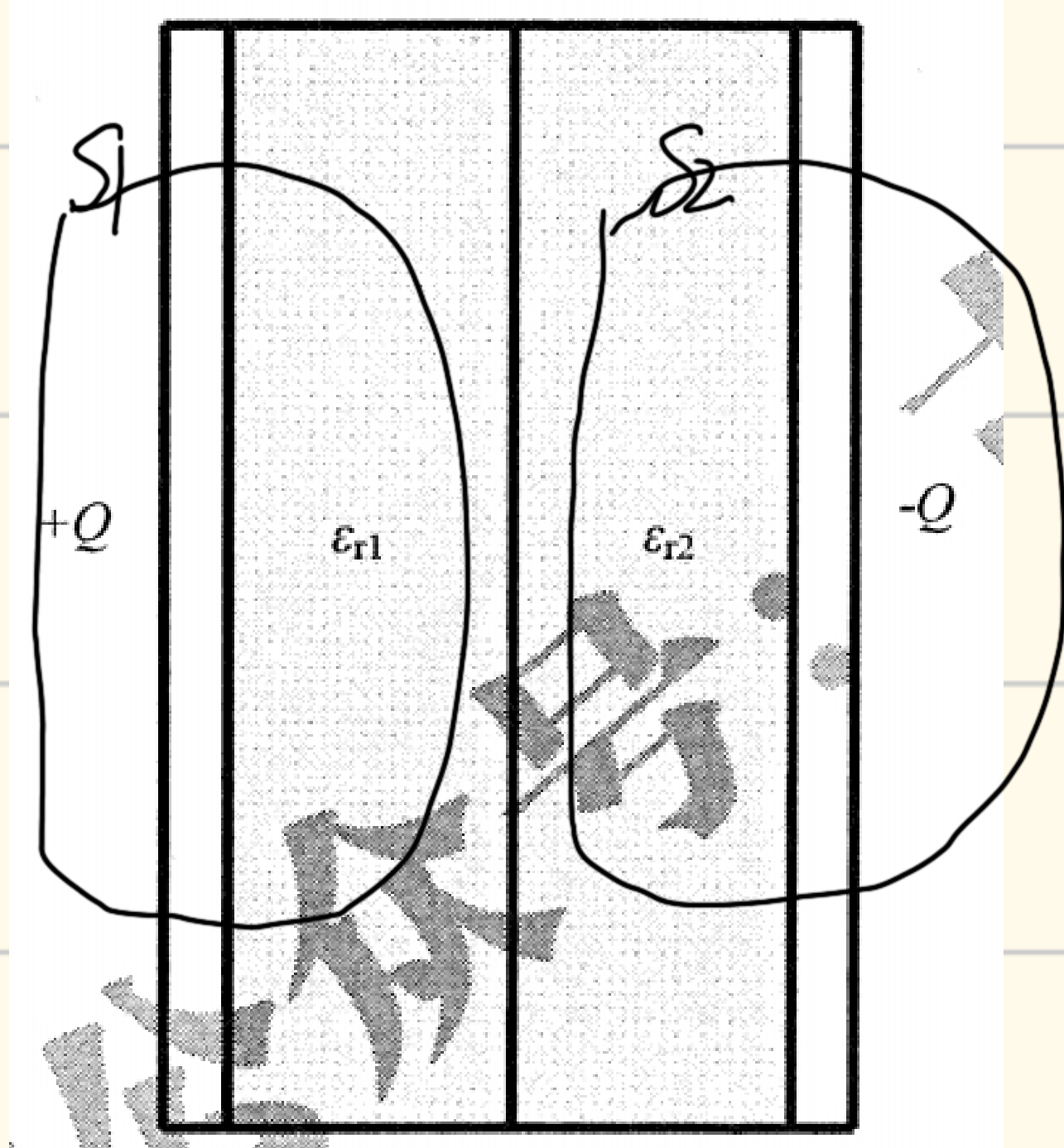
5. 一平行板电容器，两极板之间充满两层各向同性的均匀电介质，相对介电常量分别为  $\epsilon_{r1}$

和  $\epsilon_{r2}$ ，如图 6-1-13 所示。已知两极板上自由电荷分别为  $+Q$  和  $-Q$ ，极板面积为  $S$ 。求两种电介质中的电极化强度  $P_1$  和  $P_2$ ，及两层电介质分界面上的束缚电荷面密度  $\sigma'$ 。

$$\oint_{S_1} \vec{D}_1 d\vec{s} = Q \quad \oint_{S_2} \vec{D}_2 d\vec{s} = Q$$

$$\Rightarrow \vec{D}_1 = \vec{D}_2 \quad \text{求出 } P = \epsilon_0(\epsilon_r - 1) \cdot \frac{\vec{D}}{\epsilon_0 \epsilon_r}$$

$$\epsilon' = \vec{P} \cdot \vec{E}_n + \vec{P}_2 \cdot \vec{E}_{n2} = \left( \frac{1}{\epsilon_{r2}} - \frac{1}{\epsilon_{r1}} \right) \cdot \frac{Q}{S}$$



6. 两金属球的半径之比为  $1:4$ ，带等量的同号电荷。当两者的距离远大于两球半径时，有一定的电势能。若将两球接触一下再移回原处，则电势能变为原来的多少倍？

$$W_0 = \sum_i \frac{1}{2} q \varphi_i$$

$$= \frac{1}{2} \cdot q \cdot \frac{q}{4\pi\epsilon_0 R} + \frac{1}{2} \cdot q \cdot \frac{q}{4\pi\epsilon_0 (4R)}$$

$$W_1 = \frac{1}{2} \cdot \frac{2q}{5} \cdot \frac{\frac{2}{5}q}{4\pi\epsilon_0 R} + \frac{1}{2} \cdot \frac{8q}{5} \cdot \frac{\frac{8}{5}q}{4\pi\epsilon_0 R}$$

电势相同，电荷重新分配

两球之间产生的  $\varphi$  忽略不计

球视为带点电荷

1. 一电容为  $C$  的空气平行板电容器，极板间距为  $d$ 。充电后，两极板间相互作用力为  $F$ ，则两极板间的电势差为\_\_\_\_，极板上的电荷为\_\_\_\_。

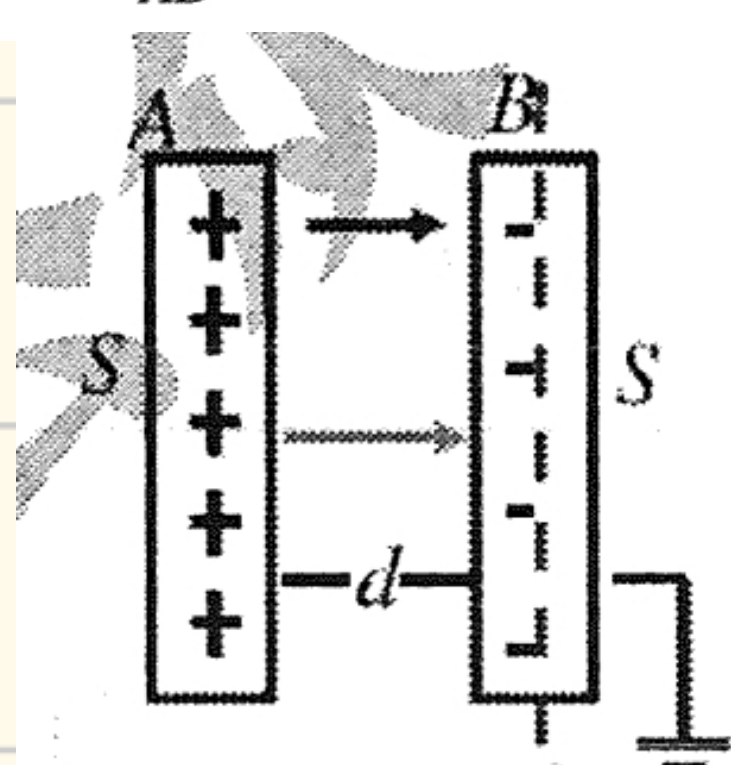
相互作用力  $F$ ：视一个板为场源，另一板只运动而不影响  $E$

$$\Rightarrow E \neq \frac{U}{d} = \frac{\varphi_a - \varphi_b}{d} \quad \text{两个板累积作用}$$

$$\Rightarrow E = \frac{0}{2\epsilon_0} = \frac{Q}{2\epsilon_0 S} = \frac{Q}{2Cd} \equiv \frac{F}{Q}$$

$$\Rightarrow Q = \sqrt{2FCd}$$

2. 如图 6-2-5 所示，把一块原来不带电的金属板 B，移近一块已带有正电荷  $Q$  的金属板 A，平行放置。设两板面积都是  $S$ ，板间距离是  $d$ ，忽略边缘效应。当 B 板不接地时，两板间电势差  $U_{AB} = \underline{\quad}$ ；当 B 板接地时，两板间电势差  $U'_{AB} = \underline{\quad}$ 。



注意：不是平行板电容器！！！  
只是电磁感应

B 不接地时

$$6_1 \quad 6_2 \quad \left\{ \begin{array}{l} 6_1 + 6_2 = 0 \\ E_p = \frac{1}{2\epsilon_0} (6 + 6_1 - 6_2) = 0 \end{array} \right.$$

$$\Rightarrow 6_1 = -\frac{6}{2}, 6_2 = \frac{6}{2}$$

$$U_{AB} = \left( \frac{0}{2\epsilon_0} - \frac{6_1}{2\epsilon_0} - \frac{6_2}{2\epsilon_0} \right) d$$

6. 一圆柱形电容器，外柱半径为  $R_1$ ，内柱半径  $R_2$  可适当调节，且内外圆筒之间充满各向同

性的均匀电介质，相对介电常量为  $\epsilon_r$ ，若电介质的击穿电场强度大小为  $E_0$ ，试求，如何选

择内柱半径  $R_2$ ，使该电容器能够承受的电势差最大。（自然对数的底  $e = 2.7183$ ）

当  $r = R_2$  内径时， $E_{max} = E_0$

$$U = \frac{\lambda}{2\pi\epsilon_0\epsilon_r} \ln \frac{R_1}{R_2} \quad \textcircled{1} = 2\pi\epsilon_0\epsilon_r R_2 E_0$$

$$= R_2 E_0 \ln \frac{R_1}{R_2}$$

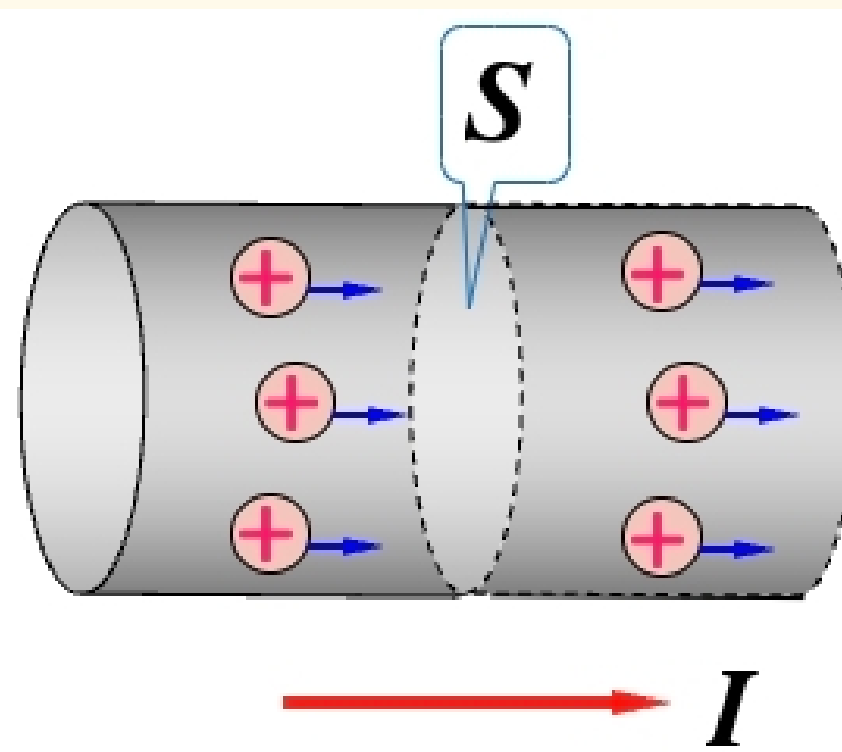
$$\Rightarrow \frac{dU}{dR_2} = 0, R_2 = \frac{R_1}{e}$$

# 第七章 恒定电流与恒定磁场

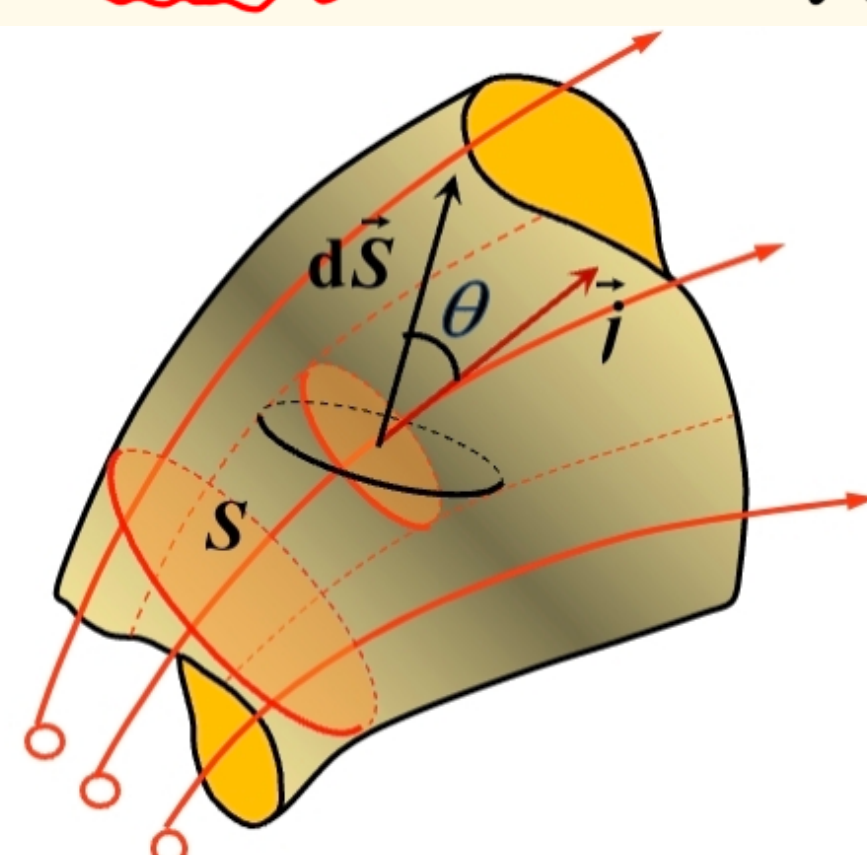
## 电流

$$\text{电流定义: } I = \frac{dq}{dt}$$

$$I = nqus, u \text{为电子漂移速度大小}$$



$$I = \int_S \vec{j} \cdot d\vec{S} = \int_S j \cos \theta dS, \vec{j} = nq\vec{u} \text{ 电流矢量密度}$$



( $\vec{j}(x, y, z)$  组成矢量电流场)

电流的连续性方程:

$$I = \oint_S \vec{j} \cdot d\vec{S} = - \frac{d q_{in}}{dt}$$

恒定电流:

$$\oint_S \vec{j} \cdot d\vec{S} = - \frac{d q_{in}}{dt} = 0$$

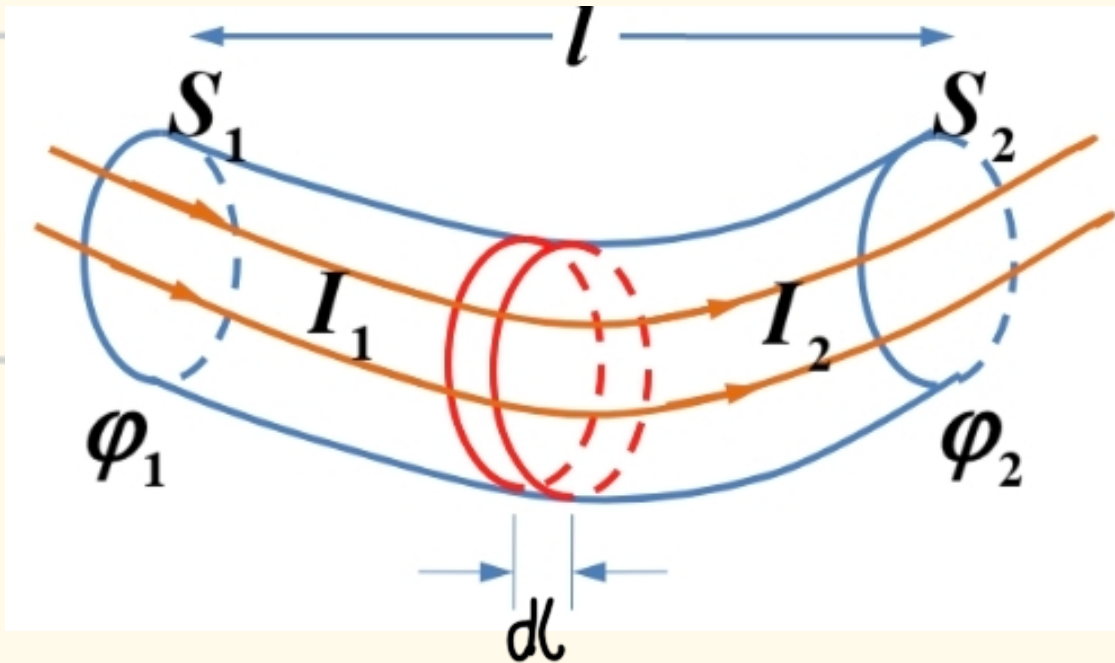
导体各点电流密度  $j$  大小、方向都不随时间变化

满足高斯定理  $\oint_S \vec{E} \cdot d\vec{S} = \sum q_{in} / \epsilon_0$

环路定理  $\oint_C \vec{E} \cdot d\vec{l} = 0$

欧姆定律

金属温度恒定时,  $\vec{J} = \gamma \vec{E}$ ,  $\gamma$ 为电导率,  $\rho = \frac{1}{\gamma}$ 为电阻率



$$\varphi_1 - \varphi_2 = \int \vec{E} d\vec{l} = \int \rho \vec{j} d\vec{l} = I \int \frac{\rho dl}{S}$$

$$\text{故 } R = \underline{\rho \frac{l}{S}}$$

电源电动势

电源内部单位正电荷从负极到正极, 非静电力做的功

$$E = \frac{A}{q} = \int^+ \vec{E}_k d\vec{l}, \vec{E}_k \text{ 为非静电力}$$

方向由负极到正极

全电路欧姆定律

$$E = I(R + R_\varepsilon)$$

含源电路顺着电流方向  
流经电阻, 电势降低  
流经电源, 电势升高

$$\varphi_a - \sum I R + \sum \varepsilon = \varphi_b$$

$V_{ab} = \sum I R - \sum \varepsilon$  (ab与电流方向一致)

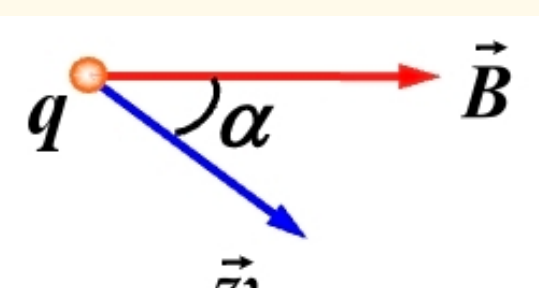
## 磁场所

磁铁同极排斥、异极相吸

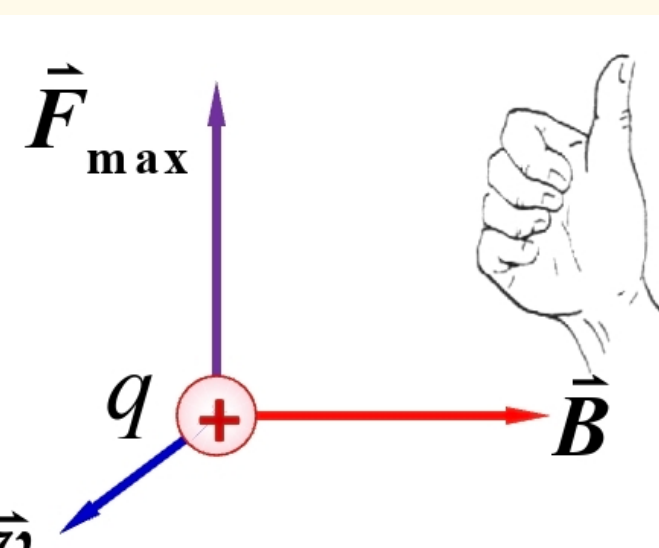
通电导线同向电流吸引、反向电流排斥

磁感应强度

$$\underline{B = \frac{F_{max}}{qv}}$$



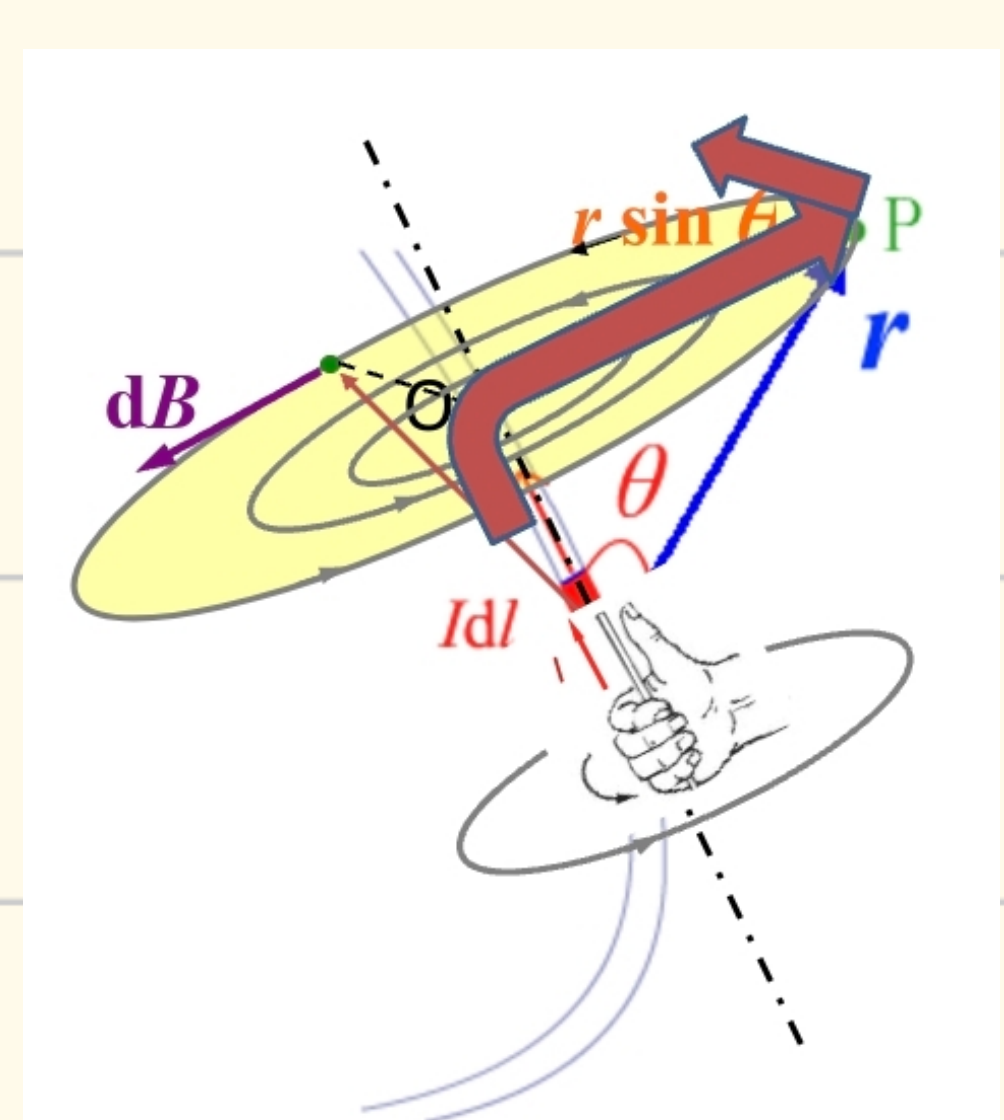
方向



(四指由v指向B)

毕奥—萨伐尔定律

$$\underline{d\vec{B} = \frac{\mu_0}{4\pi} \cdot \frac{Id\vec{l} \times \vec{e}_r}{r^2}}, \mu_0 \text{ 为真空磁导率}$$



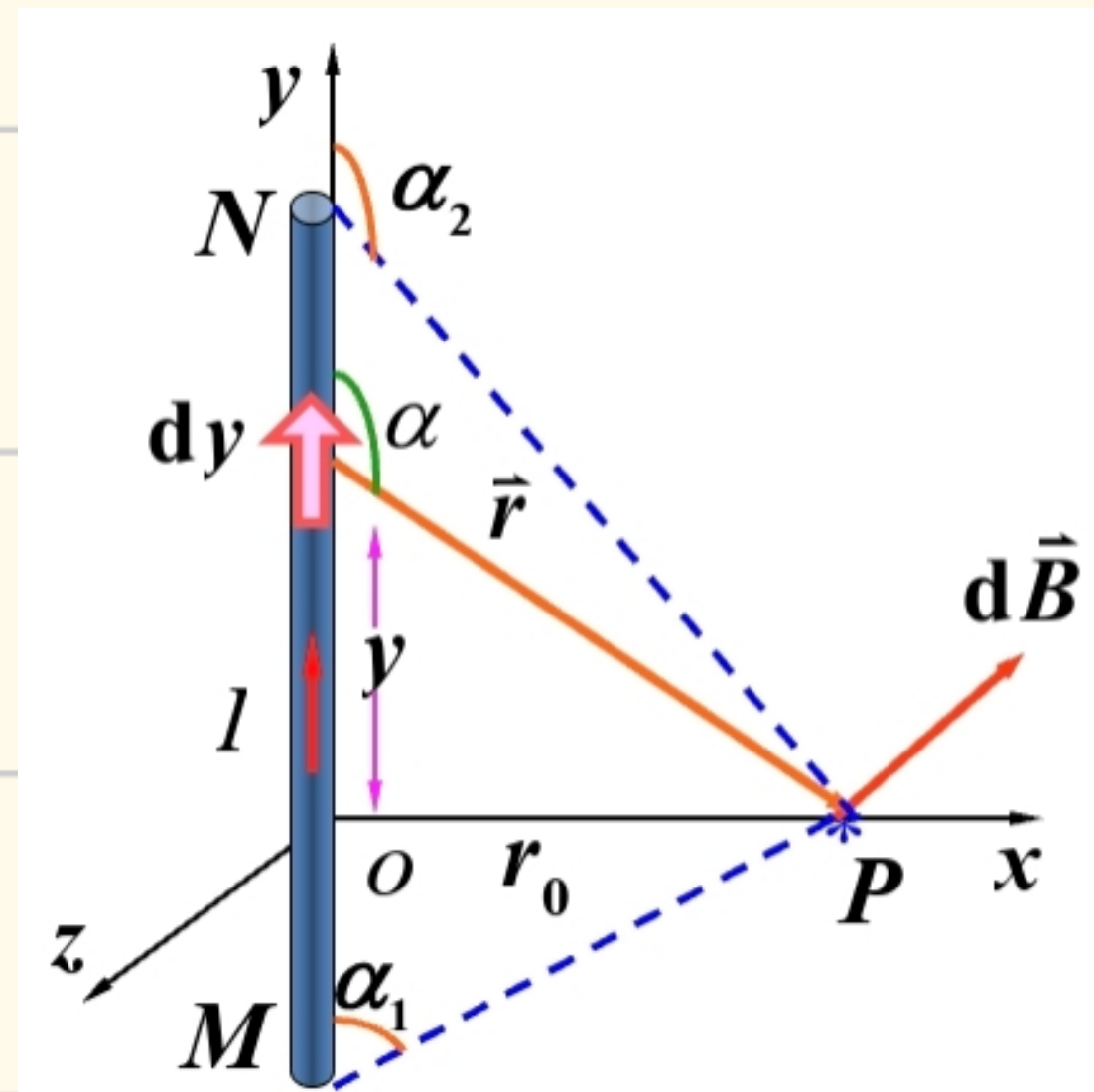
## 应用

### ① 载流直导线

$$B = \frac{\mu_0 I}{4\pi r_0} (\cos\alpha_1 - \cos\alpha_2)$$

无限长  $B = \frac{\mu_0 I}{2\pi r}$

半无限长  $B = \frac{\mu_0 I}{4\pi r}$

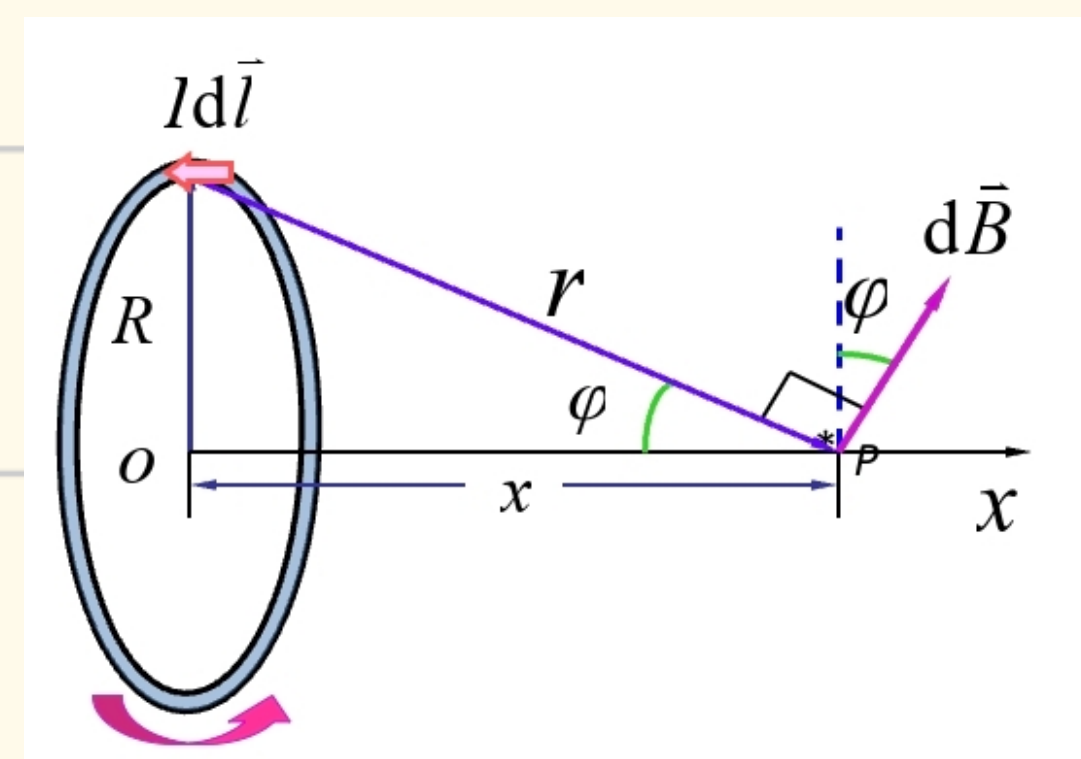


### ② 载流圆线圈

$$B = \frac{\mu_0 I R^2}{2(R^2 + x^2)^{3/2}}$$

当x=0时，圆环形电流中心磁场

$B = \frac{\mu_0 I}{2R}$

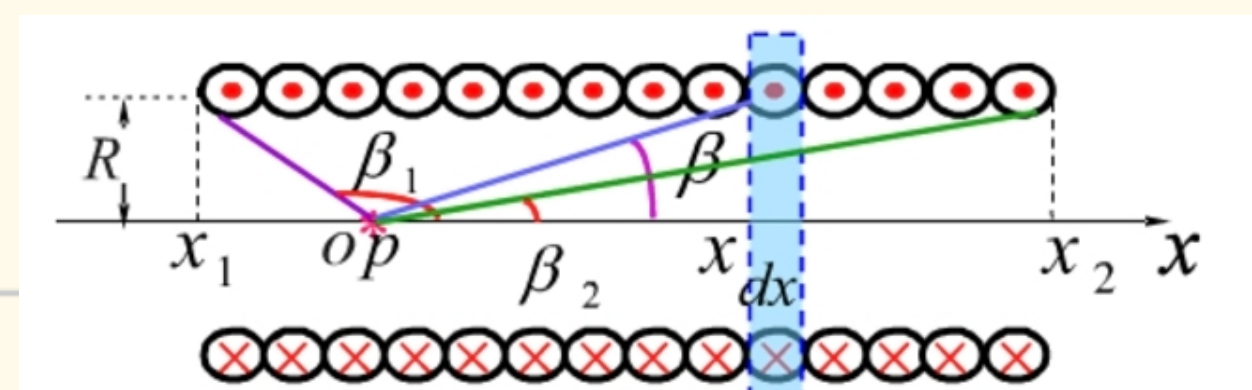


### ③ 载流直螺线管

$$B = \frac{\mu_0 n I (\cos\beta_2 - \cos\beta)}{2}$$

无限长  $B = n \mu_0 I$

半无限长  $B = \frac{n \mu_0 I}{2}$



## 高斯定理

磁场线：闭合曲线  
与电流套连

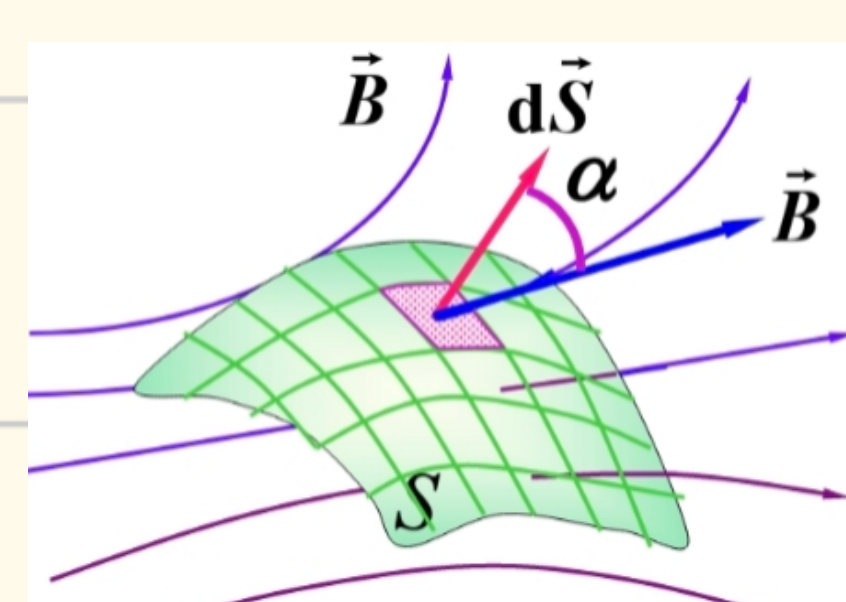
磁感应通量

$$\Phi = \int_S \vec{B} \cdot d\vec{S}$$

磁通连续定理（无源场）

$$\oint_S \vec{B} \cdot d\vec{S} = 0$$

(磁单极子、磁荷不存在)

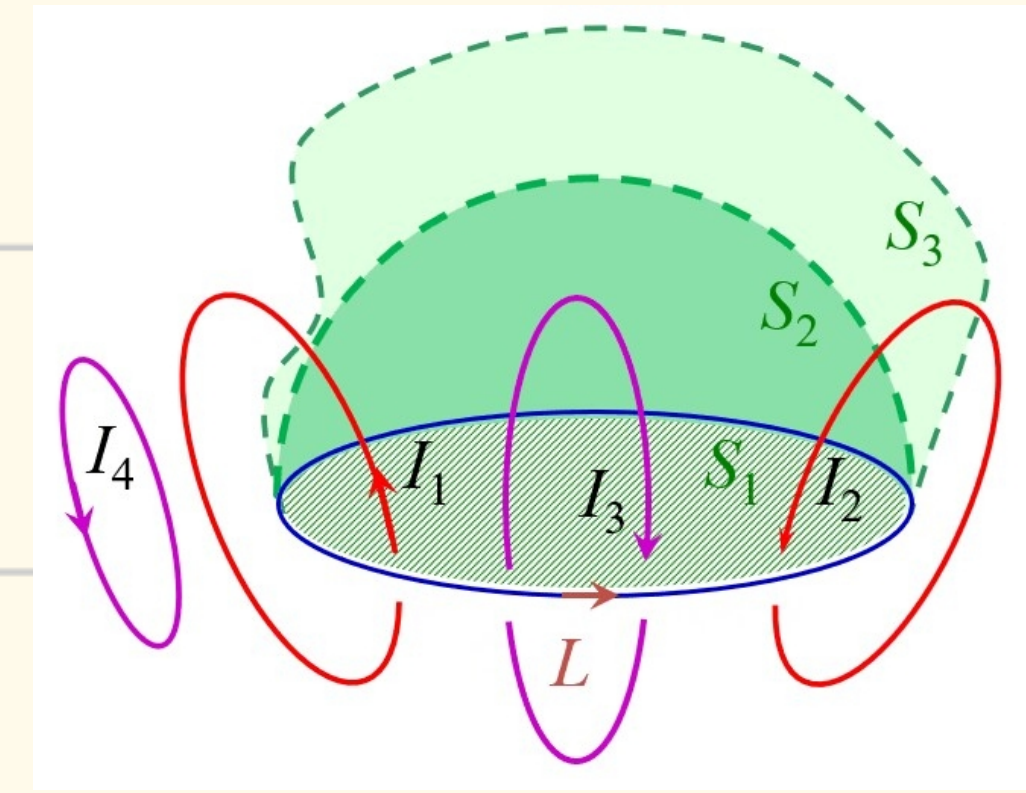


## 安培环路定理

$$\oint_L \vec{B} \cdot d\vec{l} = \mu_0 \cdot \sum I_{in} = \mu_0 \int_S \vec{j} \cdot d\vec{s}$$

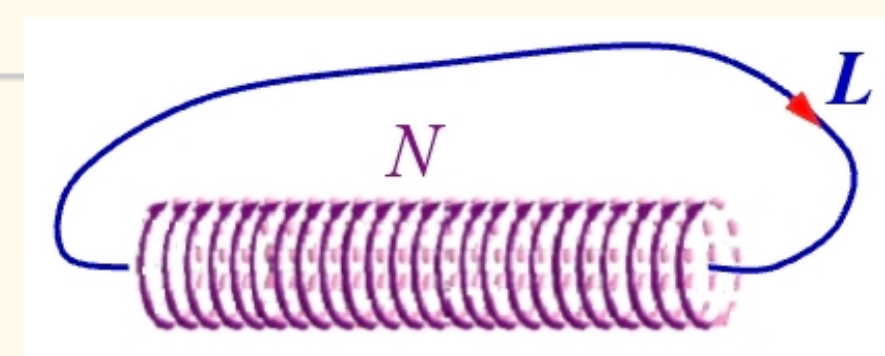
其中  $I_{in}$  为与  $L$  相交链的电流

$I_{in}$  正向与  $\vec{l}$  满足右手定则



若电流为  $N$ 匝螺旋形，则

$$\oint \vec{B} \cdot d\vec{l} = N \cdot \mu_0 I$$

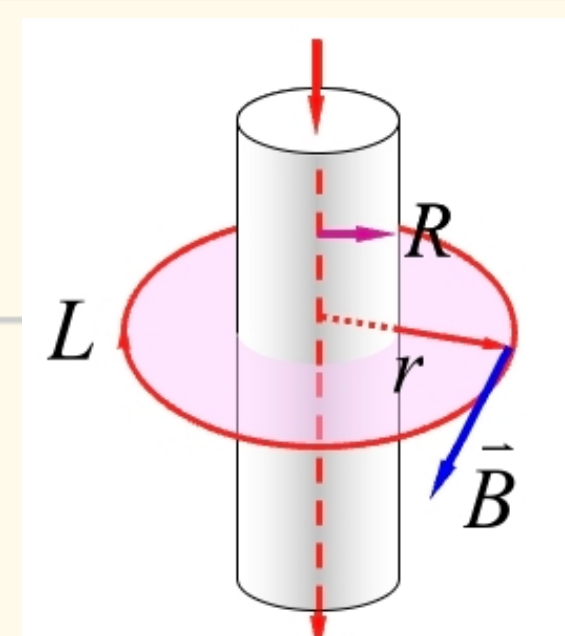


应用：

① 无限长均匀载流圆柱体

$$\text{外部 } B = \frac{\mu_0 I}{2\pi r}$$

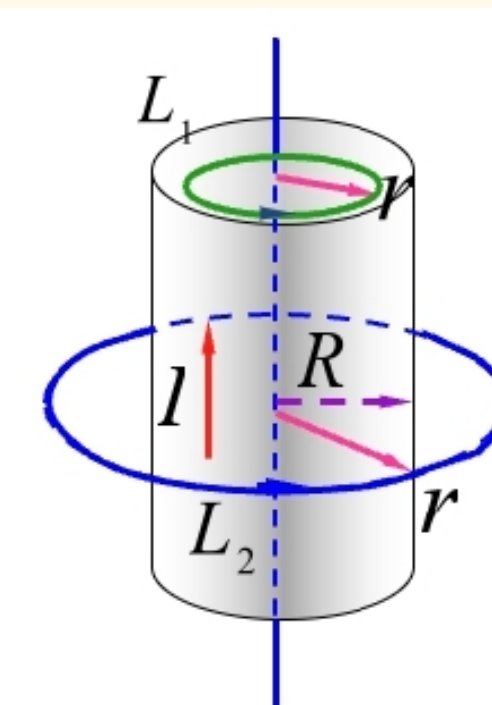
$$\text{内部 } B = \frac{\mu_0 I}{2\pi r} \cdot \left(\frac{r}{R}\right)^2$$



② 无限长载流圆柱面

$$\text{外部 } B = \frac{\mu_0 I}{2\pi r}$$

$$\text{内部 } B = 0$$

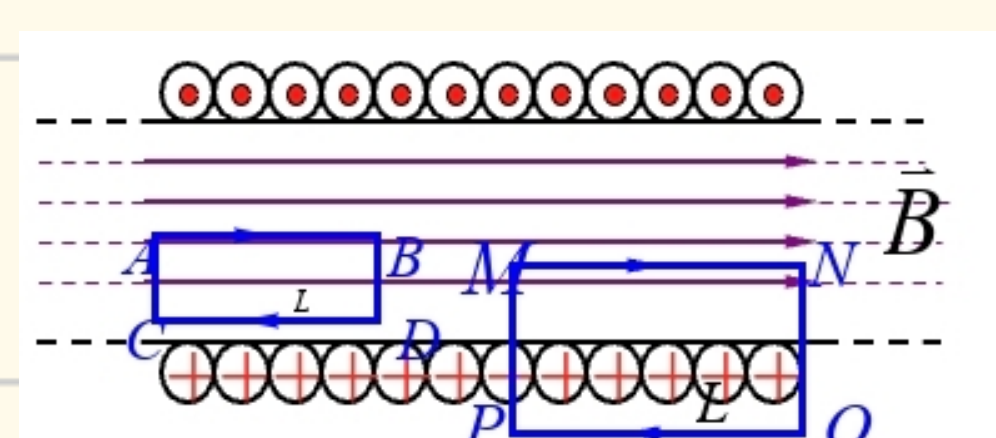


③ 无限长密绕螺线管

$$\text{外部 } B = 0$$

内部

$$B = \mu_0 n I$$



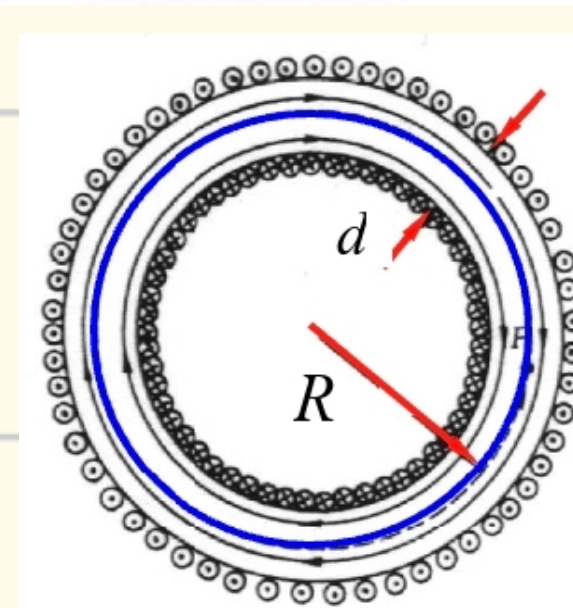
④ 密绕螺线环

$$\text{外部 } B = 0$$

内部

$$B = \frac{\mu_0 N I}{2\pi r}$$

当  $2R \gg d$  时，内部视为均匀场

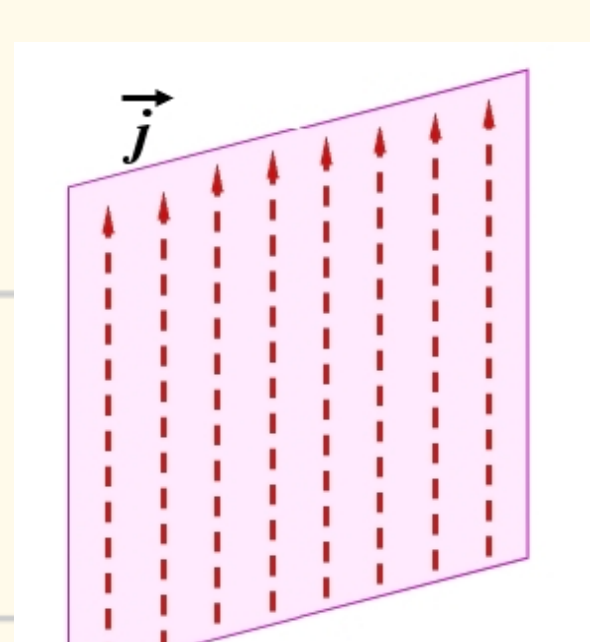


⑤ 无限大载流平面

$$B = \frac{\mu_0 j}{2}$$

两平行平面：

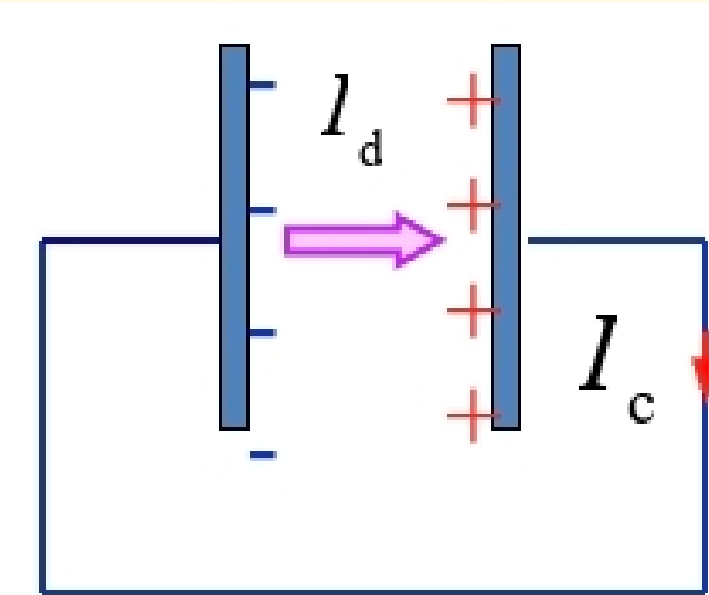
$\mu_0 j$	$j$	$0$	$\mu_0 j$



# 位移电流

$$I_d = \int_S \vec{J}_d \cdot d\vec{S}, \vec{J}_d = \frac{\partial \vec{D}}{\partial t}$$

全电流  $I_t = I_c + I_d$  (连读的)



(位移、传导电流均激发磁场)  
仅传导电流产生焦耳热)

## 普遍安培环路定理

$$\oint_L \vec{B} \cdot d\vec{l} = \mu_0 I_t = \mu_0 \int_S (\vec{J}_c + \frac{\partial \vec{D}}{\partial t}) \cdot d\vec{S}$$

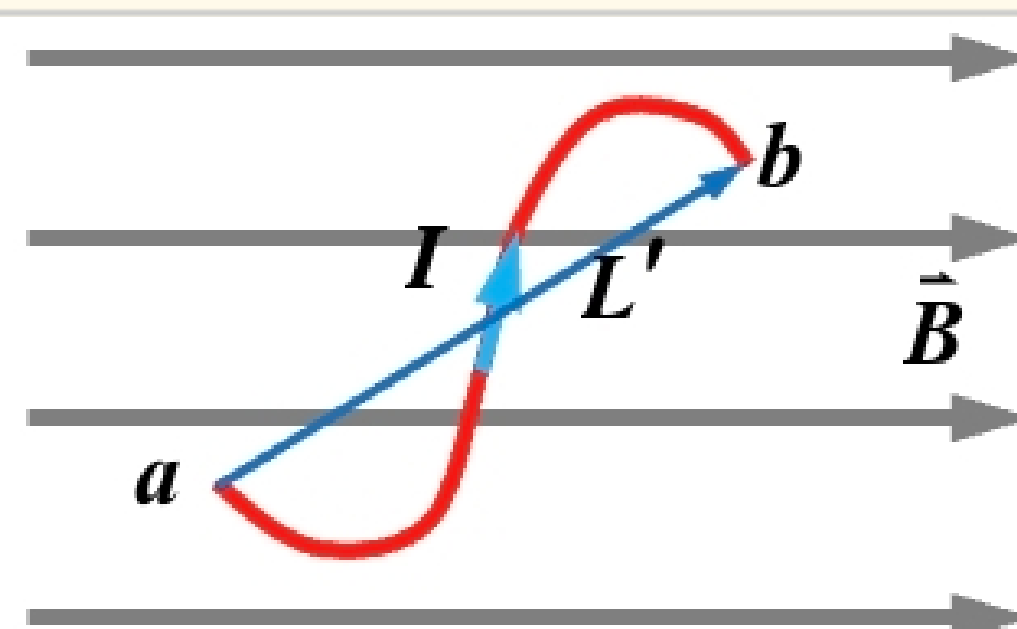
## 安培力

$$\vec{F} = \int_L I \vec{B} \times d\vec{l} \quad (\text{大拇指电流, 四指受力})$$

性质: ①  $\vec{F} = \int_a^b I \vec{B} \times d\vec{l} = I \vec{B} \times \vec{l}$

②  $\vec{F} = \oint_L I \vec{B} \times d\vec{l} = 0$

③ 不满足牛三定律

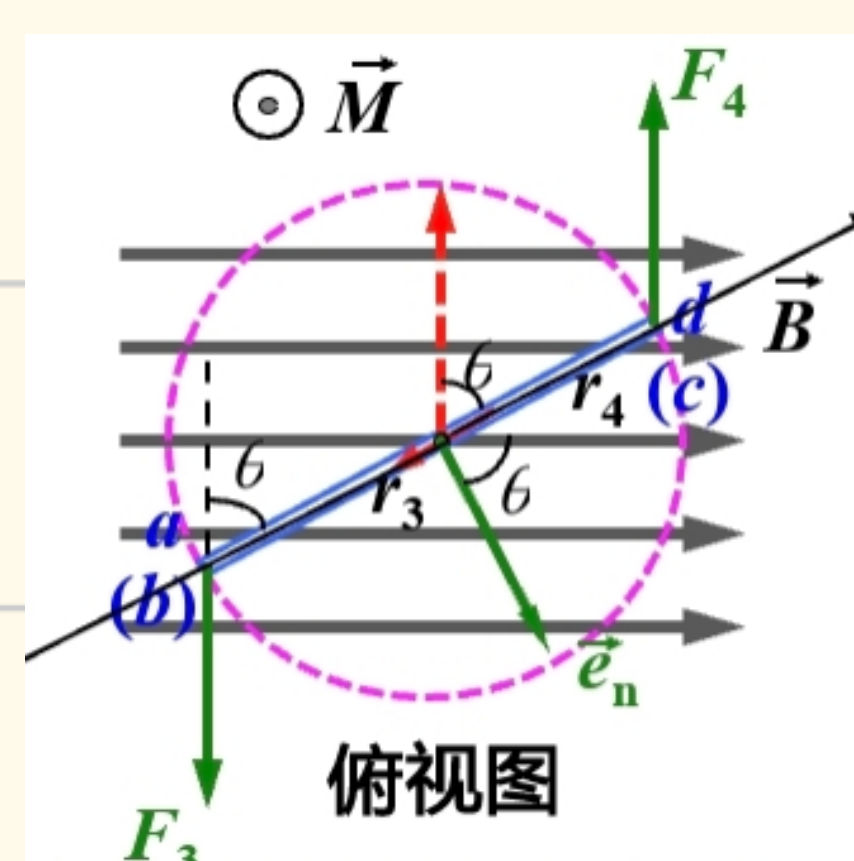


## 载流线圈:

$$\text{磁距 } \vec{m} = I S \cdot \vec{e}_n$$

$$\text{力距 } \vec{M} = \vec{m} \times \vec{B}$$

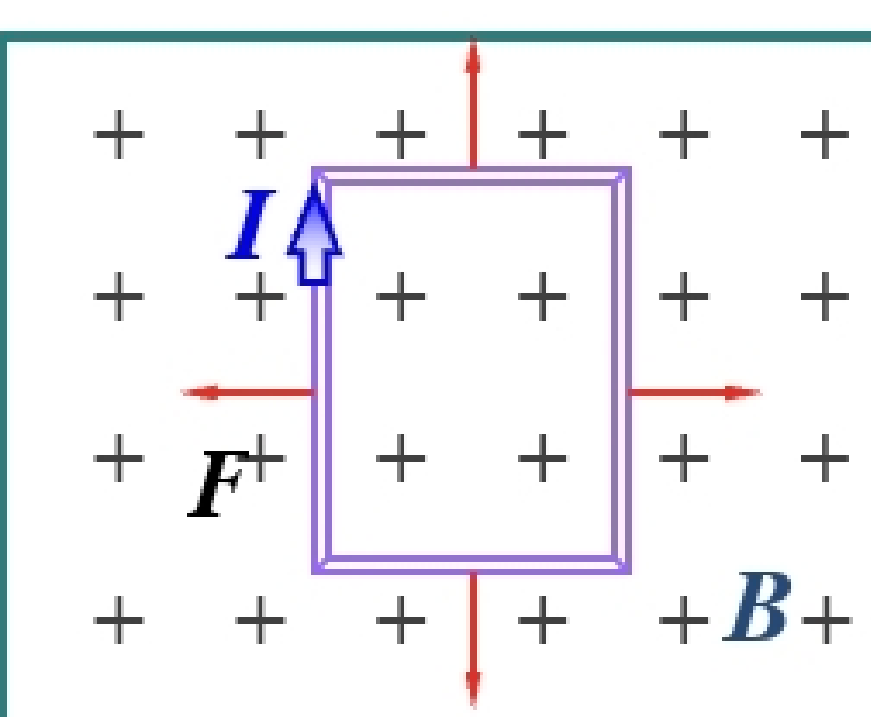
$$\text{做功 } A = I \cdot \Delta \phi$$



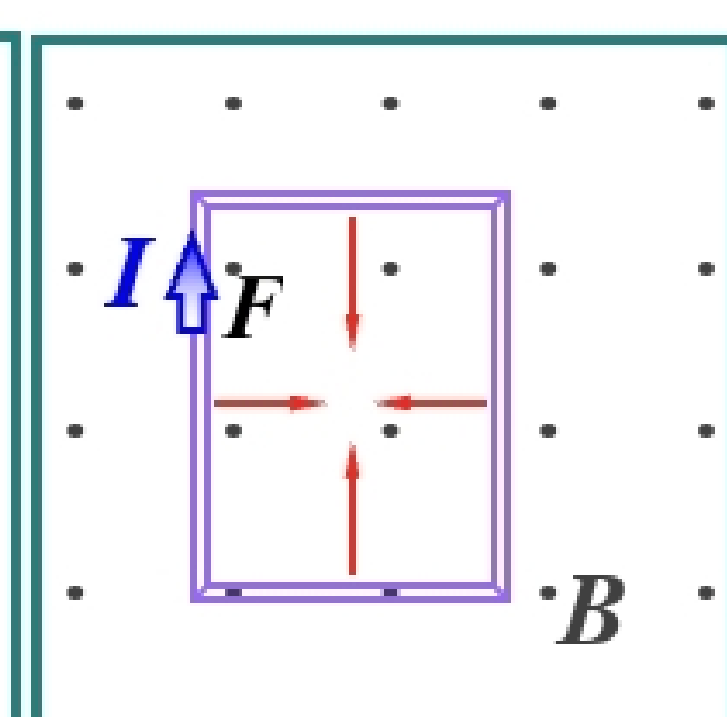
稳定平衡

不稳定平衡

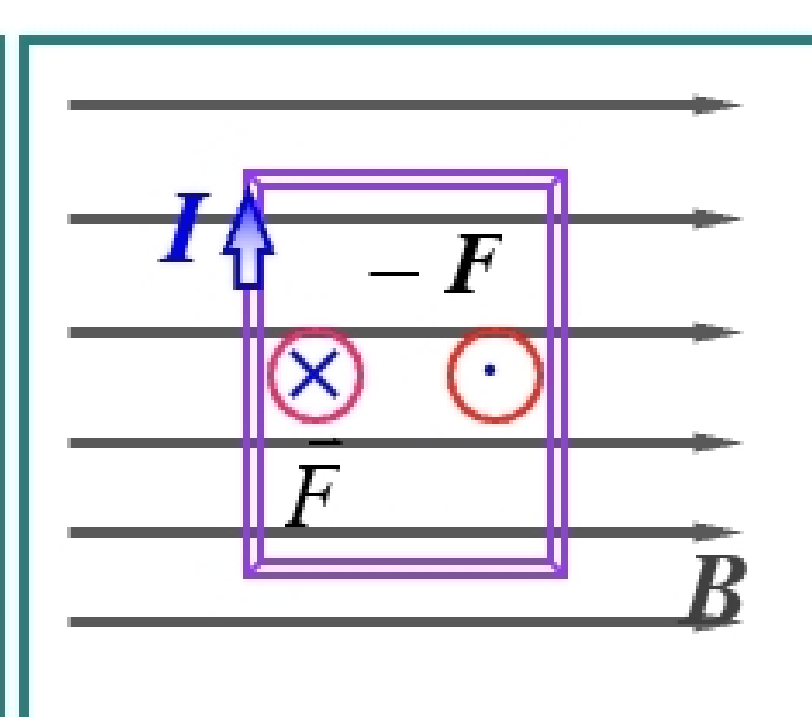
力矩最大



$$\theta = 0^\circ, M = 0$$



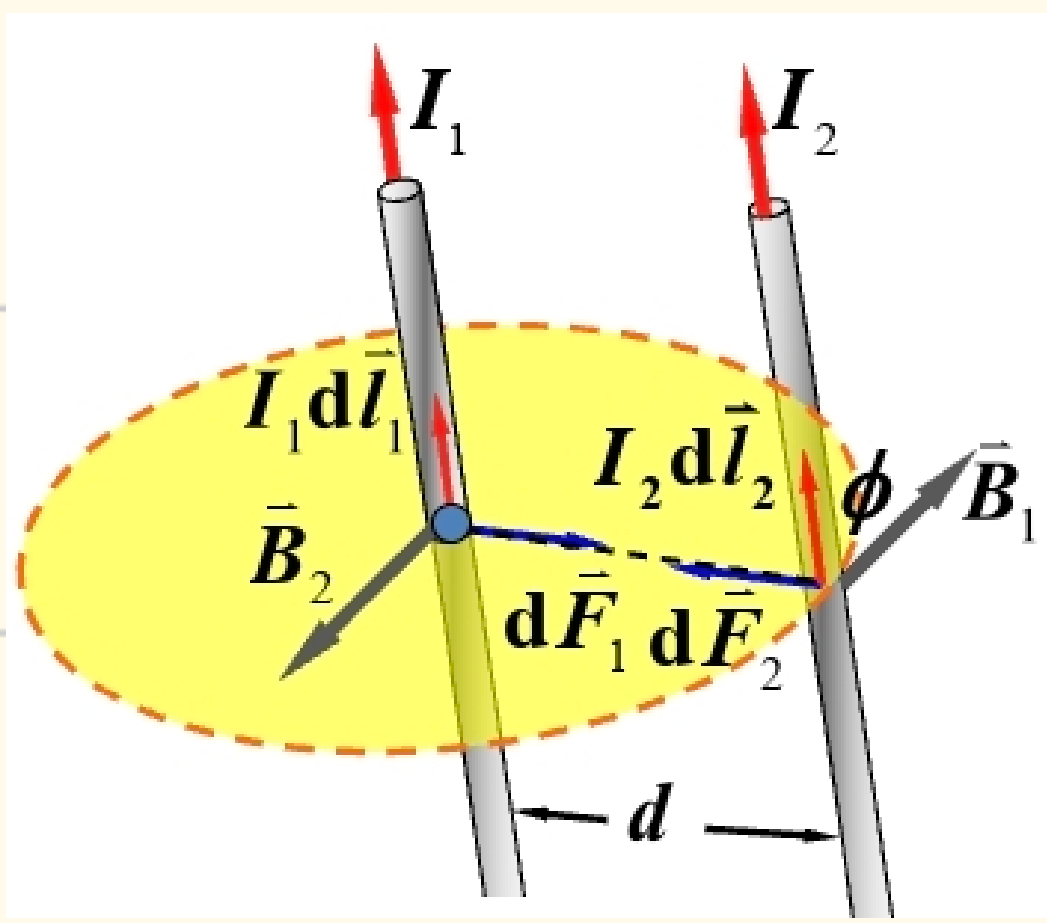
$$\theta = \pi, M = 0$$



$$\theta = \frac{\pi}{2}, M = M_{\max}$$

# 平行电流

$$F_1 = F_2 = \frac{\mu_0 I_1 I_2}{2\pi d}$$



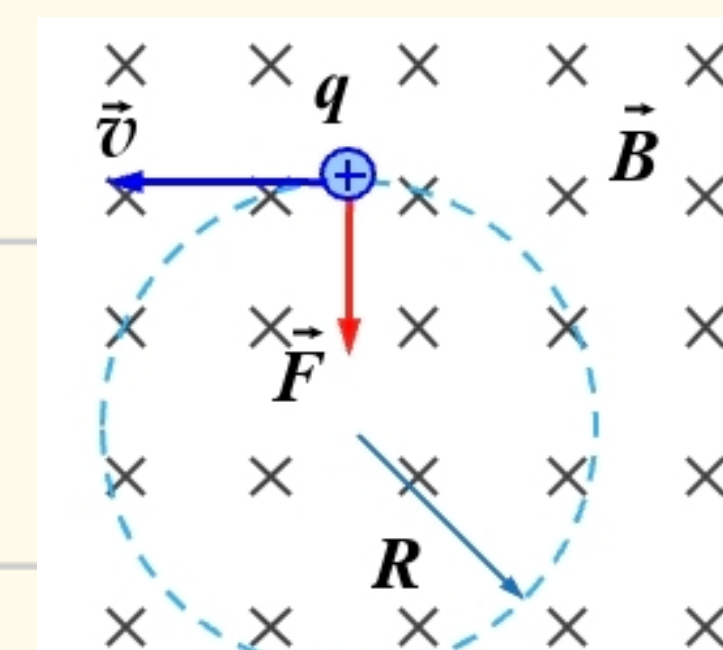
# 洛伦兹力

洛伦兹关系  $\vec{F} = q\vec{E} + q\vec{V} \times \vec{B} = \frac{d(m\vec{V})}{dt}$

$$\vec{F}_{\text{洛}} = q\vec{V} \times \vec{B}$$

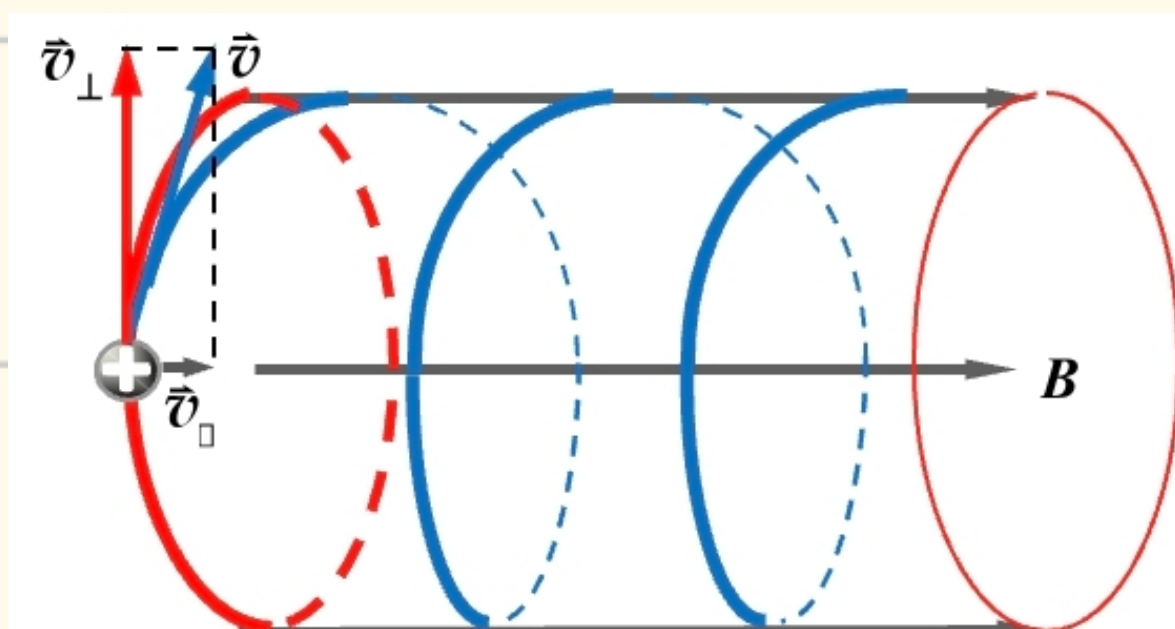
匀速圆周运动  $R = \frac{mv}{Bq}$

$$T = \frac{2\pi m}{Bq}$$



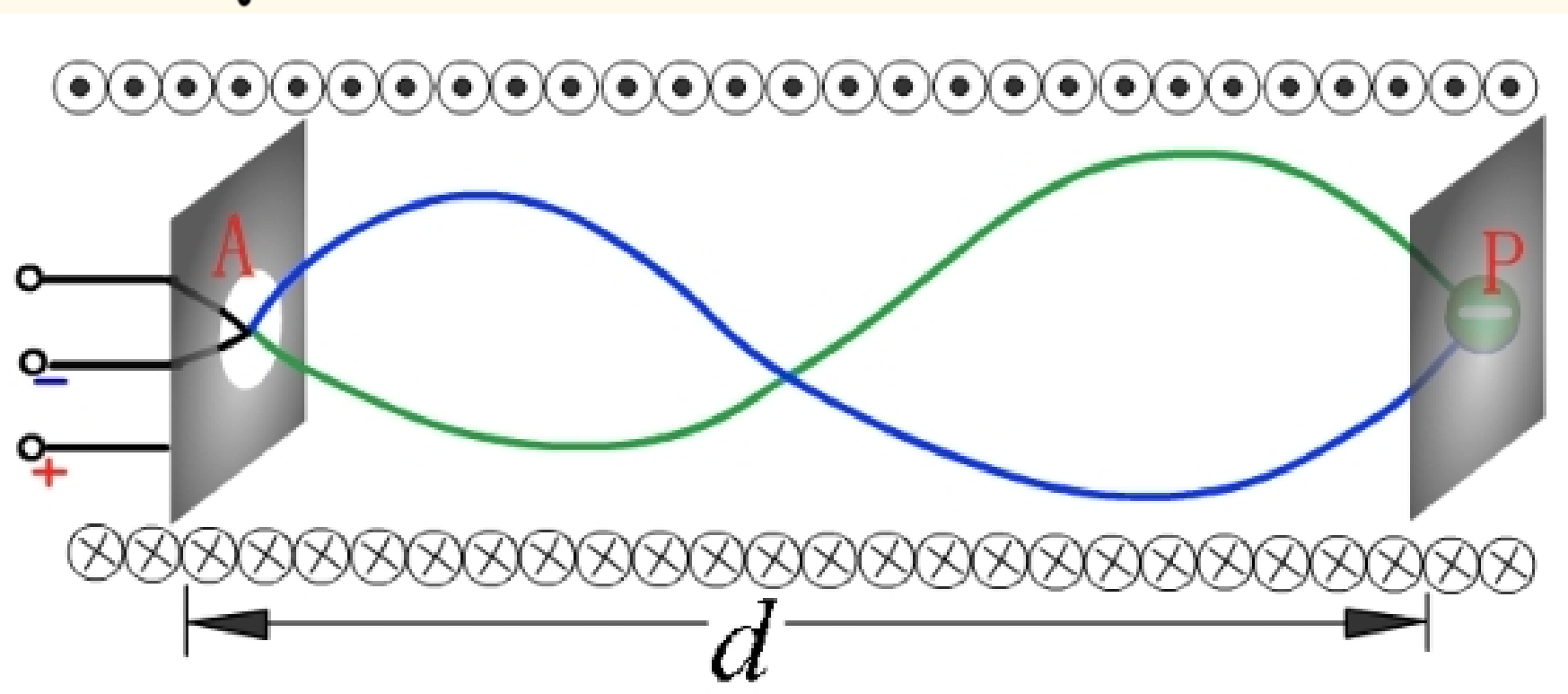
# 螺旋线运动

$$\text{螺距 } d = V_{\parallel} \cdot T = \frac{2\pi m \cdot V \cos\theta}{Bq}$$



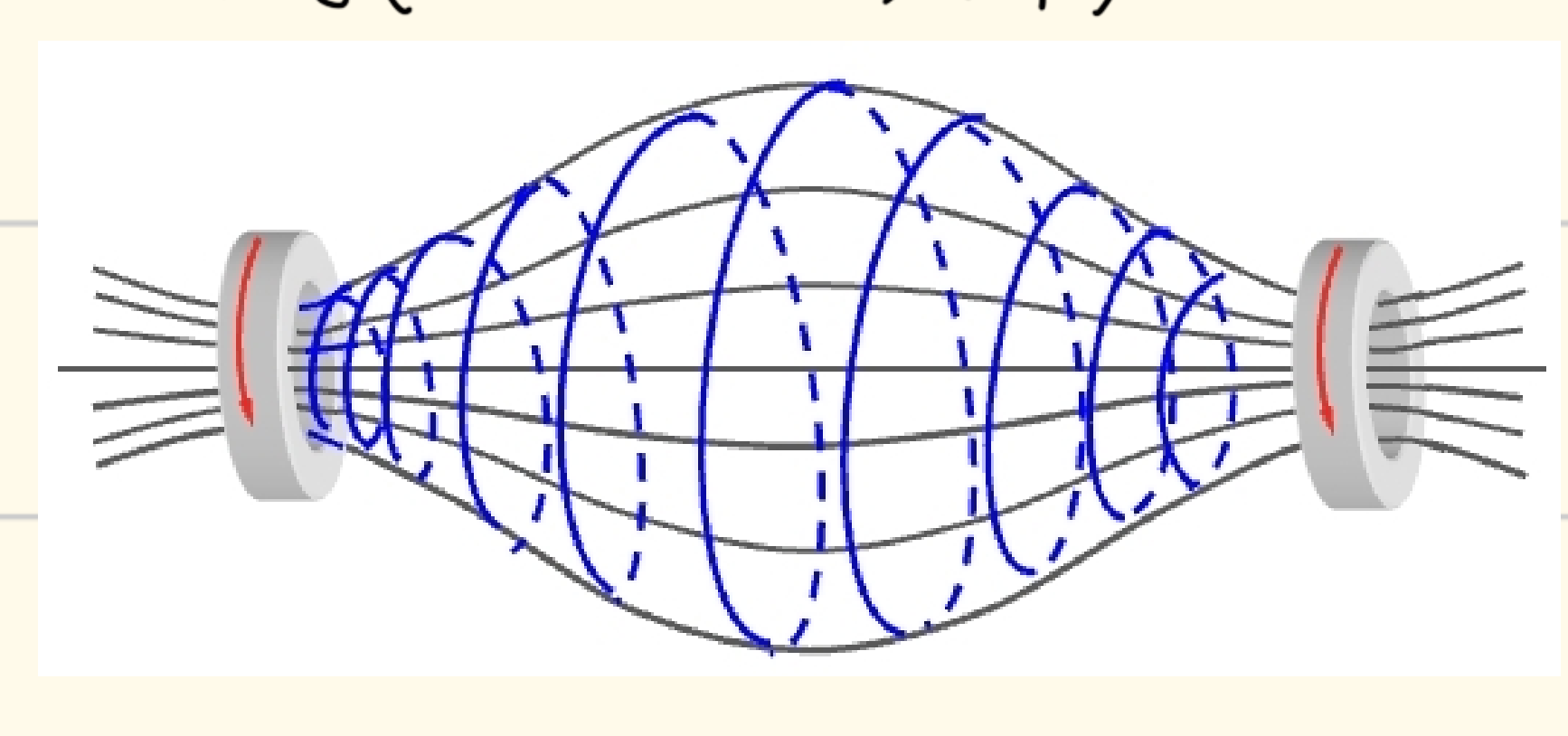
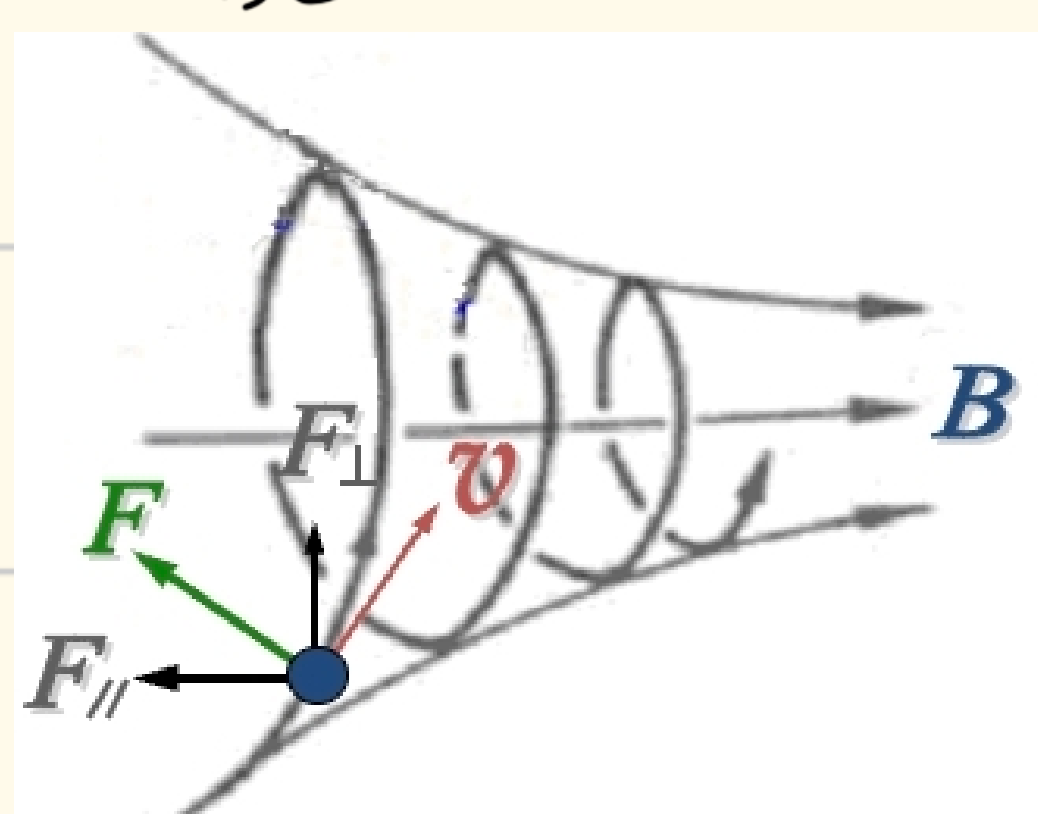
# 应用

## ① 磁聚焦 (电子显微镜)

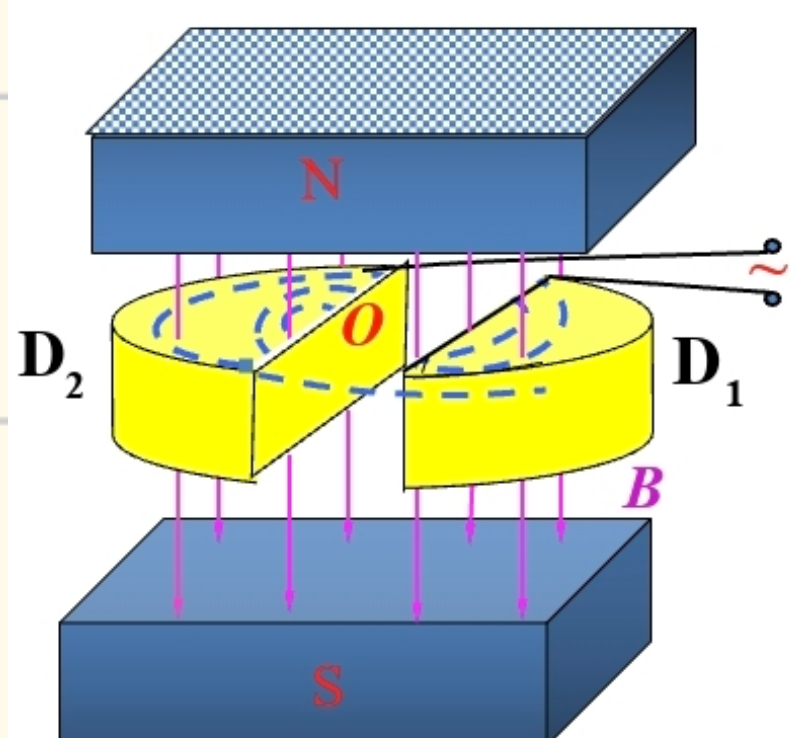


## ② 磁镜

## 磁瓶 (范艾伦辐射带)



### ③ 回旋加速器

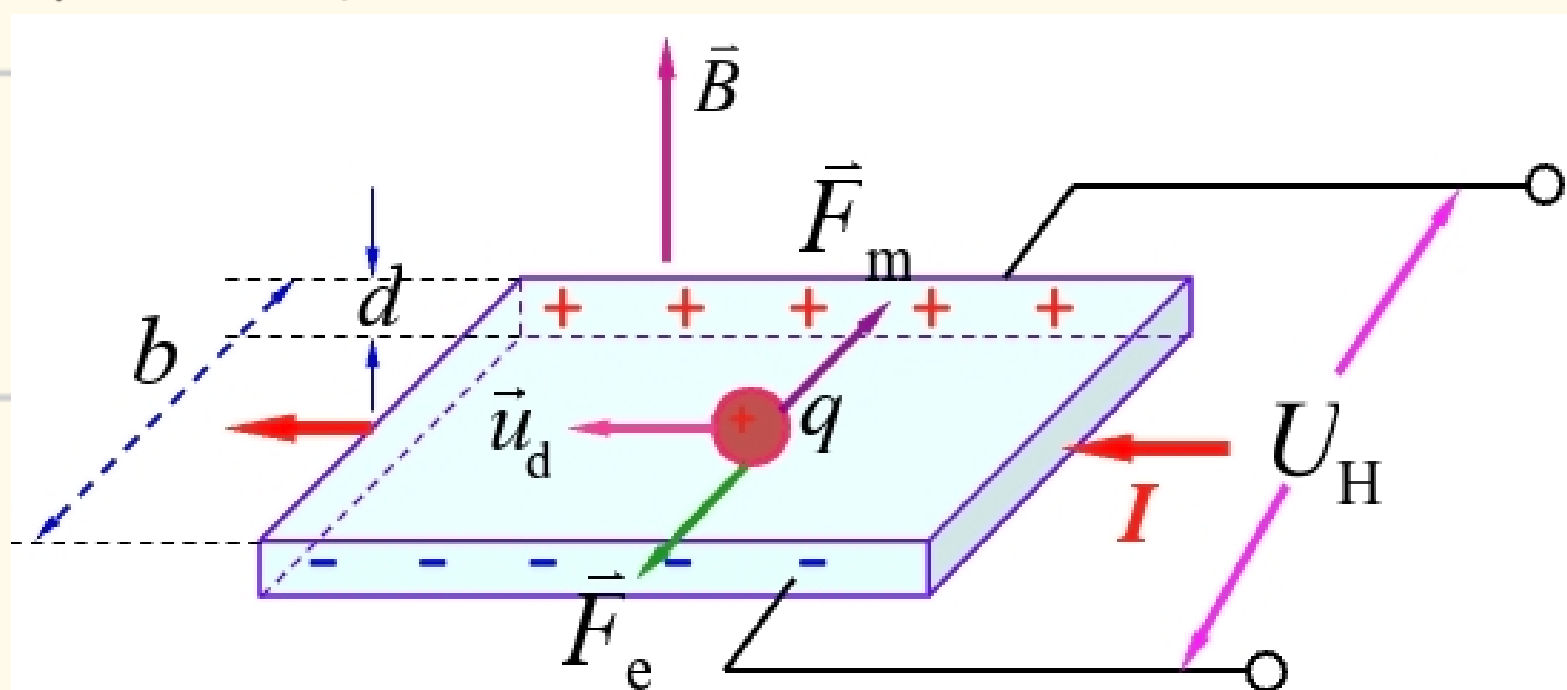


到达半圆区D边缘时

$$R_0 = \frac{mv}{qB}$$

$$E_K = \frac{1}{2}mv^2 = \frac{q^2B^2R_0^2}{2m}$$

### ④ 霍尔效应



$$F_E = Eq = \frac{U_H}{b} q$$

$$\parallel F_B = qUB \Rightarrow U_H = ubB$$

$$\text{而 } I = nqus = nq(ub)d$$

$$\Rightarrow \underline{U_H = \frac{IB}{nqd} = k \frac{IB}{d}}$$

其中  $k = \frac{1}{nq}$  (霍尔系数)

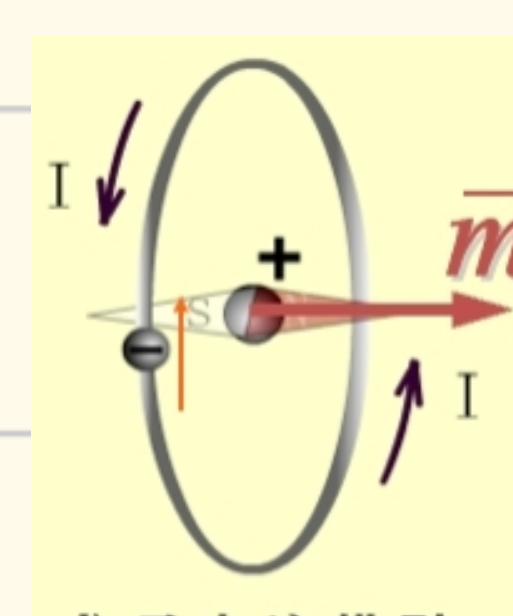
## 磁介质

顺、抗、铁磁质

$$\chi_r > 1 \quad \chi_r < 1 \quad \chi_r \gg 1 \quad (\chi_r = \frac{B}{B_0})$$

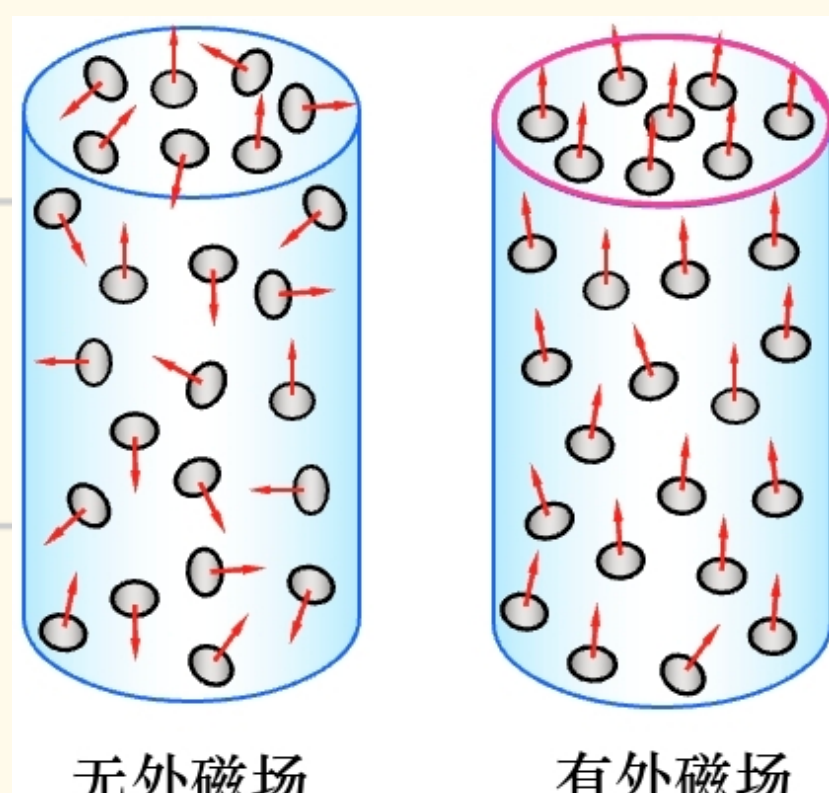
安培分子环流假说

固有磁矩  $\vec{m} \neq 0$ , 顺磁质  
 $\vec{m} = 0$ , 抗磁质

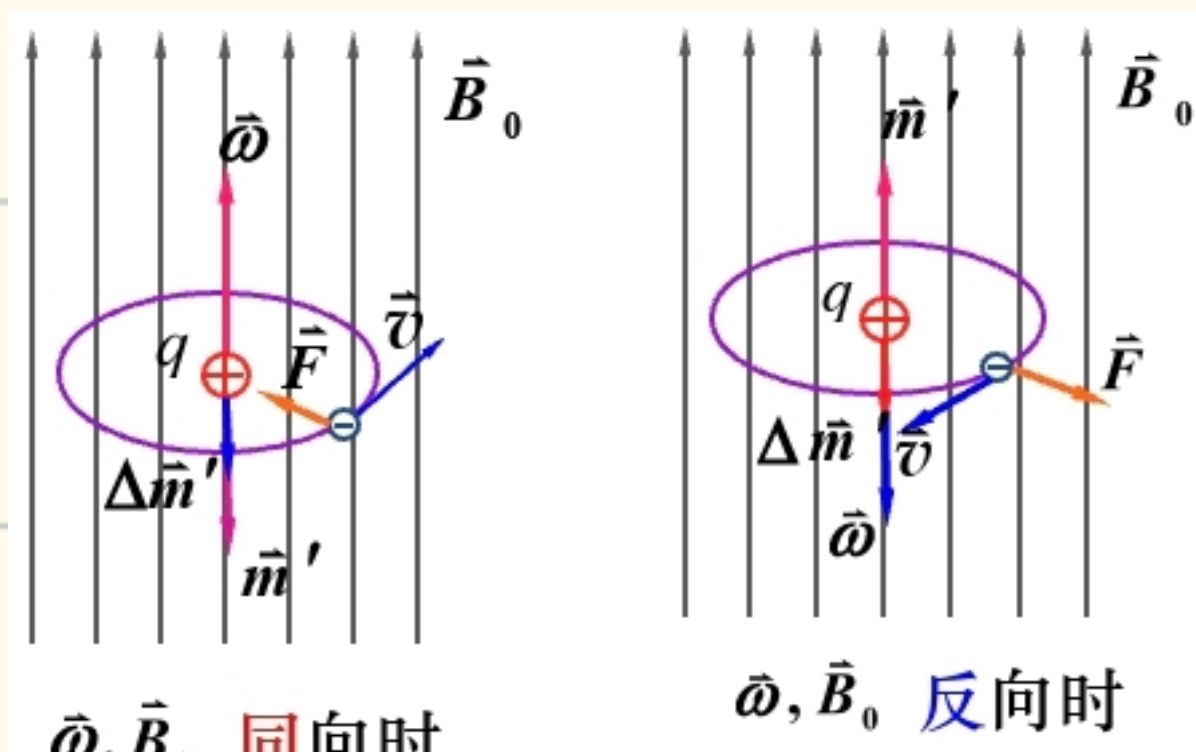


分子电流模型

顺磁效应



抗磁效应



## 磁化强度

$$\vec{M} = \frac{\sum \vec{m} + \sum \Delta \vec{m}}{\Delta V}$$

$\vec{m}$  为分子磁矩

$\Delta \vec{m}$  为附加磁矩

$$\vec{M} = \frac{\mu_r - 1}{\mu_0 \mu_r} \vec{B}$$

单位长度束缚面电流密度  $\vec{j}' = \vec{M} \times \vec{e}_n$

## 高斯定理

$$\oint \vec{B} d\vec{S} = \oint (\vec{B}_0 + \vec{B}') d\vec{S} = 0$$

## 安培环路定理

$$\oint \vec{H} d\vec{l} = \sum I_o, \text{ 其中磁场强度}$$

$$\begin{aligned}\vec{H} &= \frac{\vec{B}}{\mu_0} - \vec{M} \\ &= \frac{\vec{B}}{\mu_0 \mu_r} = \frac{\vec{B}}{\mu}\end{aligned}$$

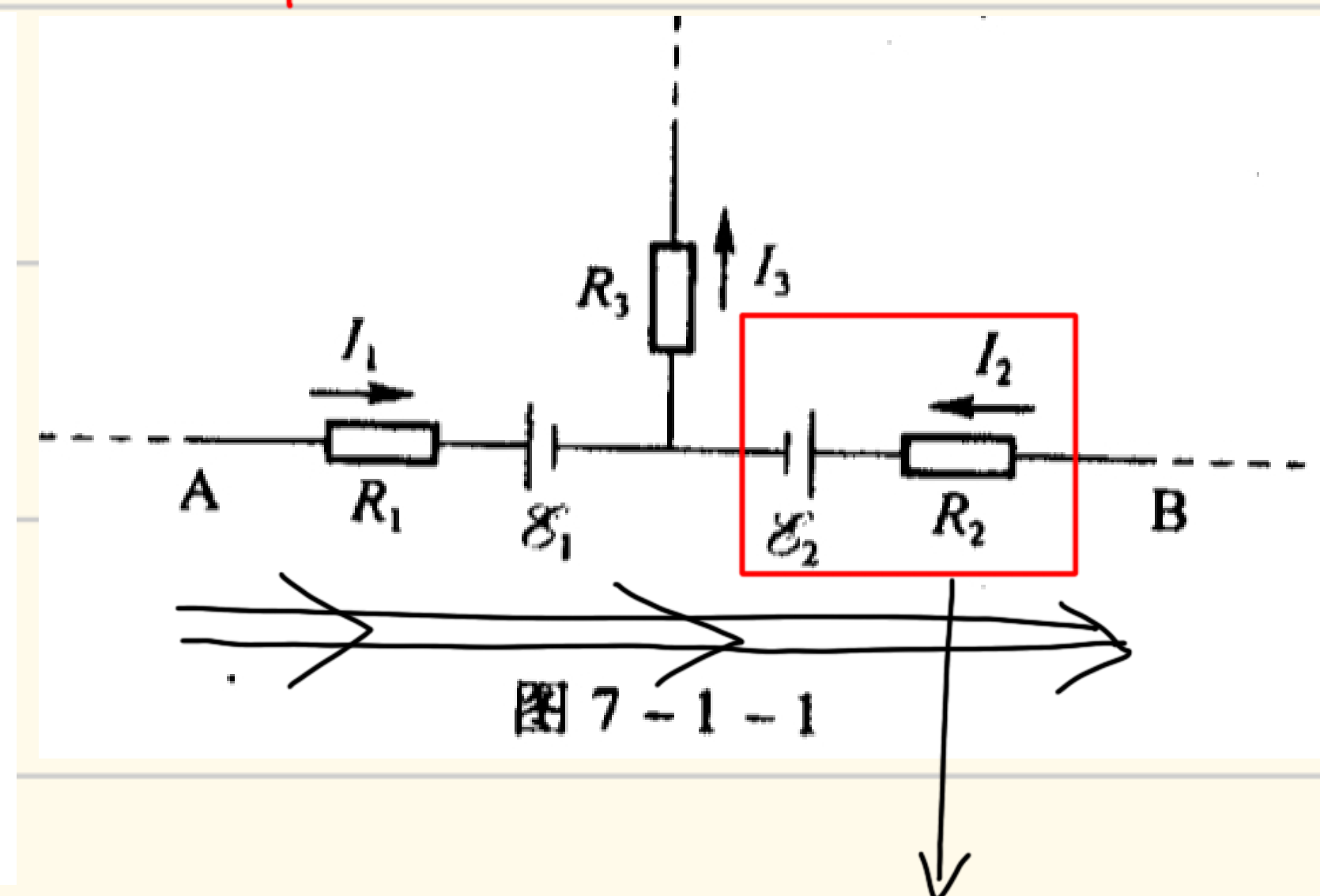
# hw 7

1. 一通有恒定电流的圆柱形导线，半径为  $0.01\text{ m}$ 、长为  $0.1\text{ m}$ ，电导率为  $6 \times 10^7 \Omega^{-1} \cdot \text{m}^{-1}$ 。若此导线每分钟放出热量  $100\text{ J}$ ，则导线中的电场强度为

$$\begin{cases} Q = I^2 R t \\ R = \rho \frac{L}{S} \end{cases} \Rightarrow I$$

$$\begin{cases} I = \int_S \vec{J} d\vec{S} \\ \vec{J} = \rho \vec{E} \end{cases} \Rightarrow E$$

2. 在图 7-1-1 所示的电路中，两电源的电动势分别为  $\mathcal{E}_1, \mathcal{E}_2$ ，内阻分别为  $r_1, r_2$ 。三个负载电阻阻值分别为  $R_1, R_2, R_3$ ，电流分别为  $I_1, I_2, I_3$ ，方向如图所示，则 A 到 B 的电势增量  $\varphi_B - \varphi_A$  为
- (A)  $\mathcal{E}_2 - \mathcal{E}_1 - I_1 R_1 + I_2 R_2 - I_3 R_3$ .  
(B)  $\mathcal{E}_2 + \mathcal{E}_1 - I_1 (R_1 + r_1) + I_2 (R_2 + r_2) - I_3 R_3$ .  
(C)  $\mathcal{E}_2 - \mathcal{E}_1 - I_1 (R_1 + r_1) + I_2 (R_2 + r_2)$ .  
(D)  $\mathcal{E}_2 - \mathcal{E}_1 - I_1 (R_1 - r_1) + I_2 (R_2 - r_2)$ .

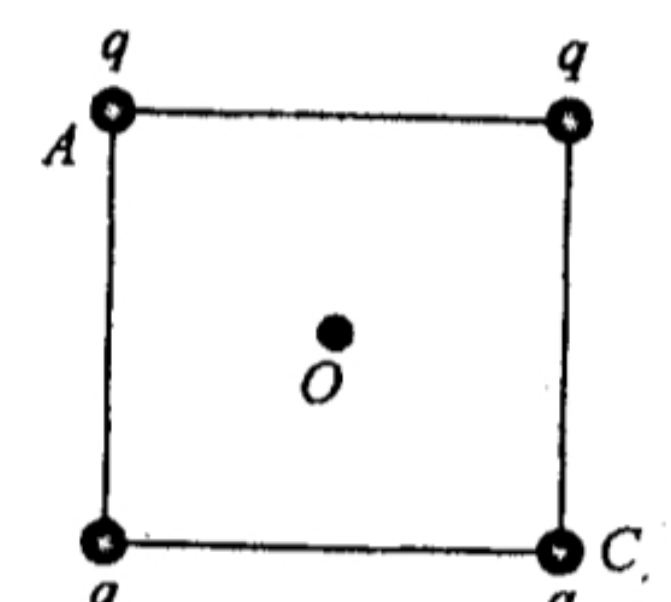


从 A → B：沿电流方向，电势  $\varphi_A$ ，电源  $\mathcal{E}_1$

逆电流方向  $\varphi_B$

$$\varphi_B = \underbrace{\varphi_A - I_1 R_1 - I_1 r_1 + \mathcal{E}_1}_{\text{顺}} - \underbrace{\mathcal{E}_2 + I_2 R_2 + I_2 r_2}_{\text{逆}}$$

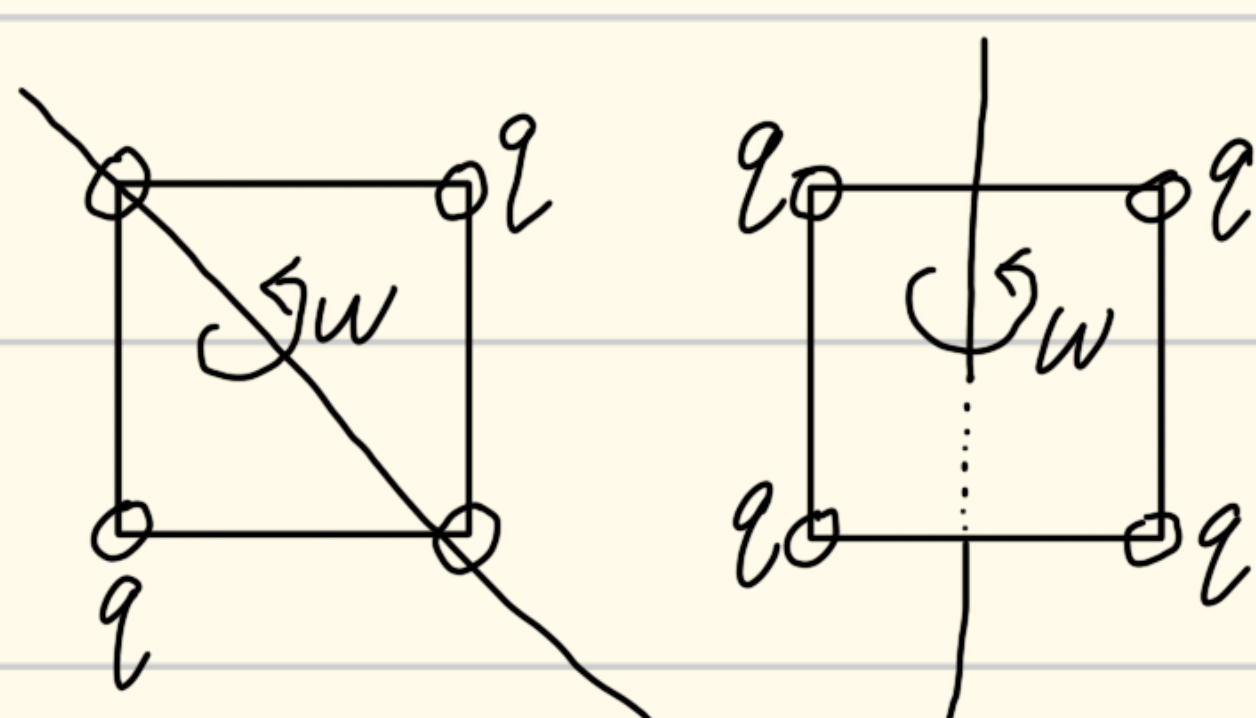
5. 如图 7-1-4 所示，四个电荷量均为  $q$  的点电荷固定在边长为  $a$  的正方形的四个角上。此正方形以角速度  $\omega$  绕 AC 轴旋转时，在中心 O 点产生的磁感应强度大小为  $B_1$ ；此正方形同样以角速度  $\omega$  绕过 O 点垂直于正方形平面的轴旋转时，在 O 点产生的磁感应强度的大小为  $B_2$ ，则  $B_1$  与  $B_2$  间的关系为



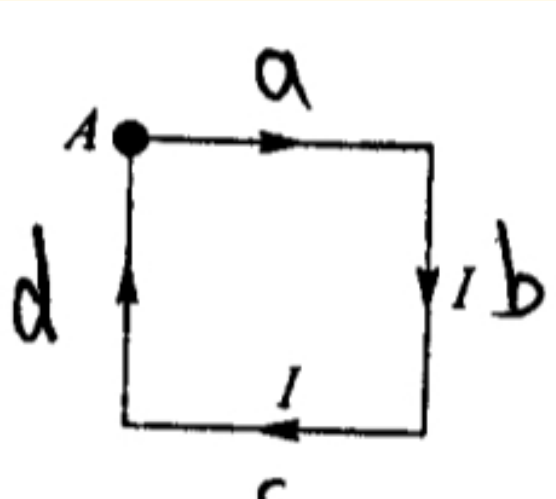
$q$  旋转，产生电流  $I = \frac{Q}{t}$ ， $t$  为旋转周期， $t = \frac{2\pi}{\omega}$

$$\Rightarrow B = \frac{\mu_0}{4\pi} \cdot \frac{Il}{r^2}, l = 2\pi r$$

$$\Rightarrow \frac{B_1}{B_2} = \frac{Q_1}{Q_2} = \frac{2q}{4q}$$



6. 如图 7-1-5 所示，边长为  $l$  的正方形线圈中通有电流  $I$ ，此线圈在 A 点产生的磁感应强度  $B$  为

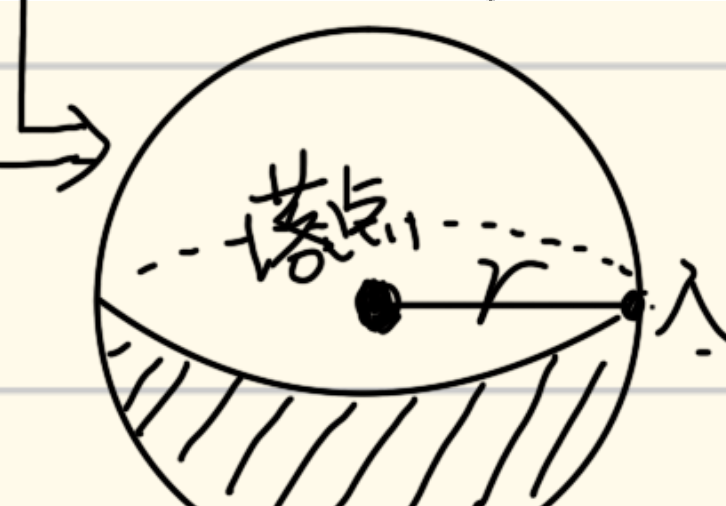


$a, d$  段在 A 处  $B = 0$   
 $b, c$  段在 A 处  $B = \frac{\mu_0 I}{2\pi l}$   
 $(b, c$  并无限长)

$$B_0 = \frac{\mu_0 I}{4\pi l} (\cos 45^\circ - \cos 90^\circ)$$

$$B = 2B_0 = \frac{\sqrt{2}\mu_0 I}{4\pi l}$$

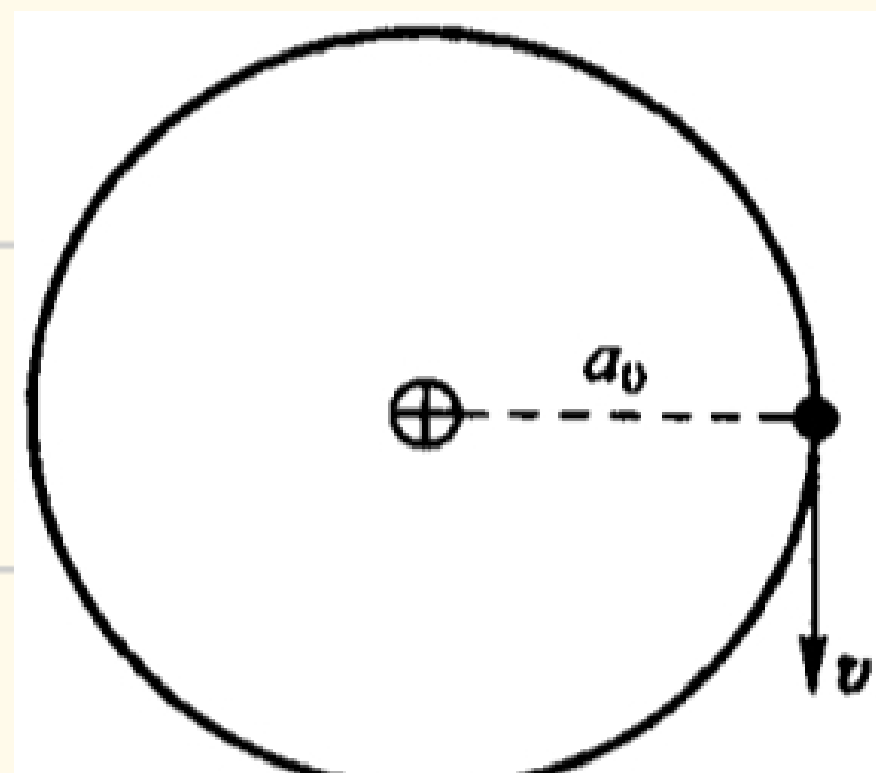
2. 当架空线路的一根带电导线断落在地上时，落地点与带电导线的电势相同，电流就会从导线的落地点向大地 **流散**。设地面水平，土地为均匀物质，其电阻率为  $10 \Omega \cdot m$ ，导线中的电流为  $200 A$ 。若人的左脚距离导线落地点为  $R_1$ ，右脚距离落地点为  $R_2$ ，求他两脚之间的跨步电压。



$$S = \frac{S_{\text{表面}}}{2} = \frac{4\pi r^2}{2}$$

$$\begin{cases} J = \frac{I}{\rho} E \\ I = \int j dS = j \cdot \frac{4\pi r^2}{2} \Rightarrow U = 106V \\ U = \int_{R_1}^{R_2} E dr \end{cases}$$

5. 氢原子基态的电子轨道半径为  $a_0$ ，求由于电子的轨道运动（图 7-1-12）在原子核处（圆心处）产生的磁感应强度的大小和方向。（注意，电子质量为  $m_e$ ，不考虑相对论效应。）



$$I = \frac{e}{T}, T = \frac{2\pi a_0}{v}, B = \frac{160}{4\pi} \cdot \frac{I \cdot 2\pi a_0}{a_0^2}$$

其中，电子运动由库仑力造成

$$\frac{m_e v^2}{a_0} = F_c = \frac{1}{4\pi \epsilon_0} \cdot \frac{e^2}{a_0^2} \Rightarrow B$$

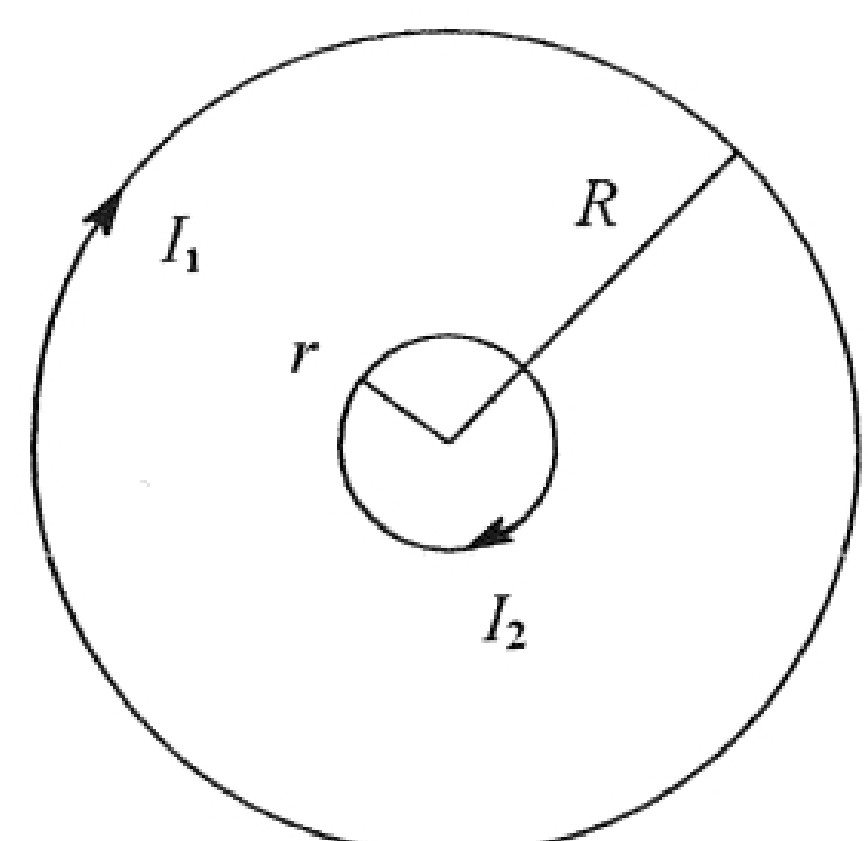
3. 关于恒定电流磁场的磁场强度  $\vec{H}$ ，下列几种说法中哪个是正确的？（）

(A)  $\vec{H}$  仅与传导电流有关  $H$  与传导电流、磁导率有关

(B) 以闭合曲线  $L$  为边缘的任意曲面的通量  $\vec{H}$  均相等  $\oint \vec{H} d\vec{l} = (\sum I)$  必然相同

1. 两个在同一平面内的同心圆线圈，大圆半径为  $R$ ，通有电流  $I_1$ ，小圆半径为  $r$ ，通有电流

$I_2$ ，电流方向如图 7-2-2 所示，且  $r \ll R$ 。那么小线圈从图示位置转到两线圈平面相互垂直位置的过程中，磁力矩所做的功为 \_\_\_\_\_。

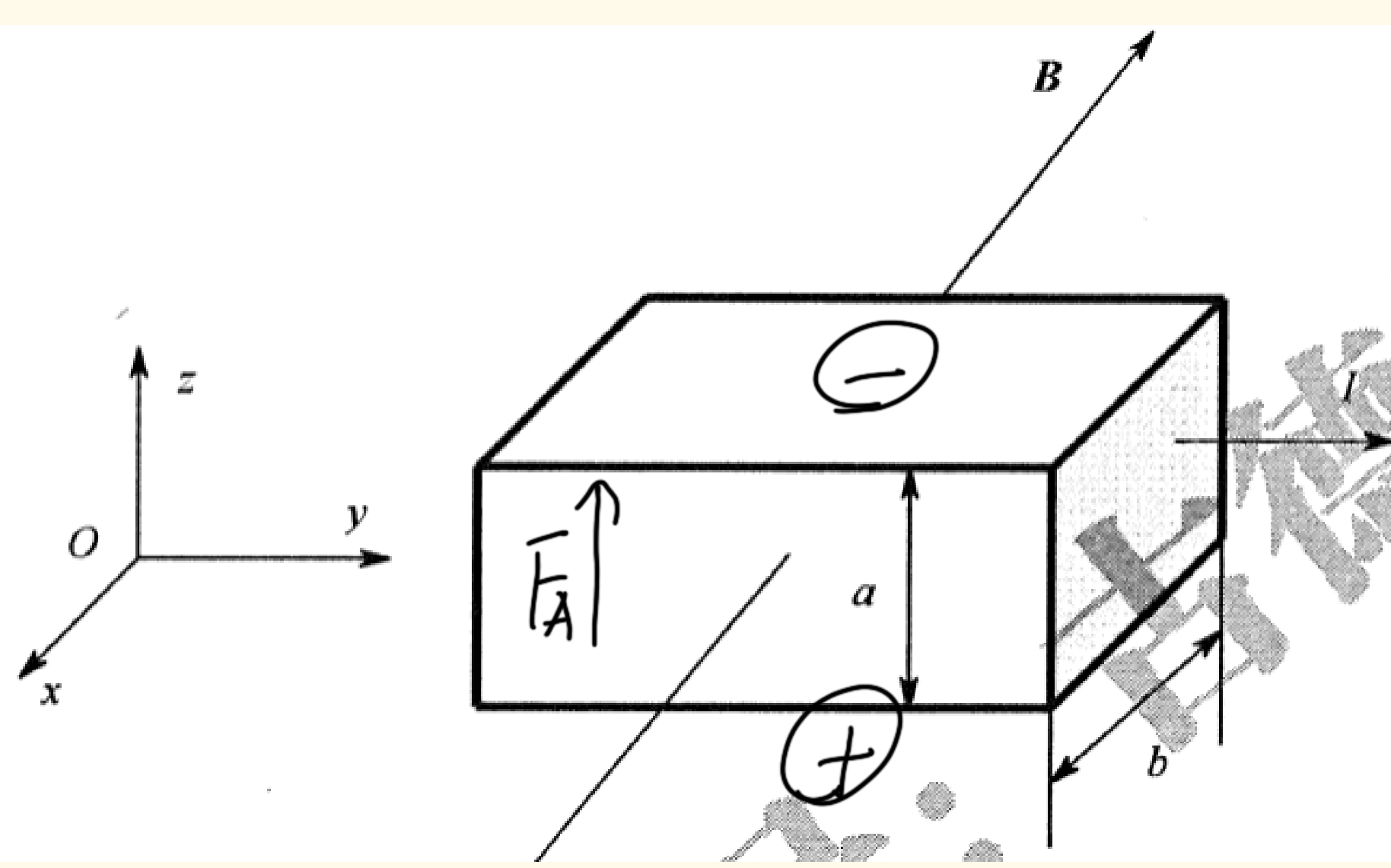


$$\text{大圆中心处 } B = \frac{\mu_0 I_1}{2R}$$

$$\Delta \Phi = 0 - B \cdot S = -\frac{\mu_0 I_1 \pi r^2}{2R}$$

$$A = I_2 \cdot \Delta \Phi = -\frac{\mu_0 I_1 I_2 \pi r^2}{2R}$$

2. 图 7-2-3 所示为磁场中的通电薄金属板，当磁感应强度  $\vec{B}$  沿  $x$  轴负向，电流  $I$  沿  $y$  轴正向，则金属板中对应于霍尔电势差的电场强度  $\vec{E}_H$  的方向沿 \_\_\_\_\_。



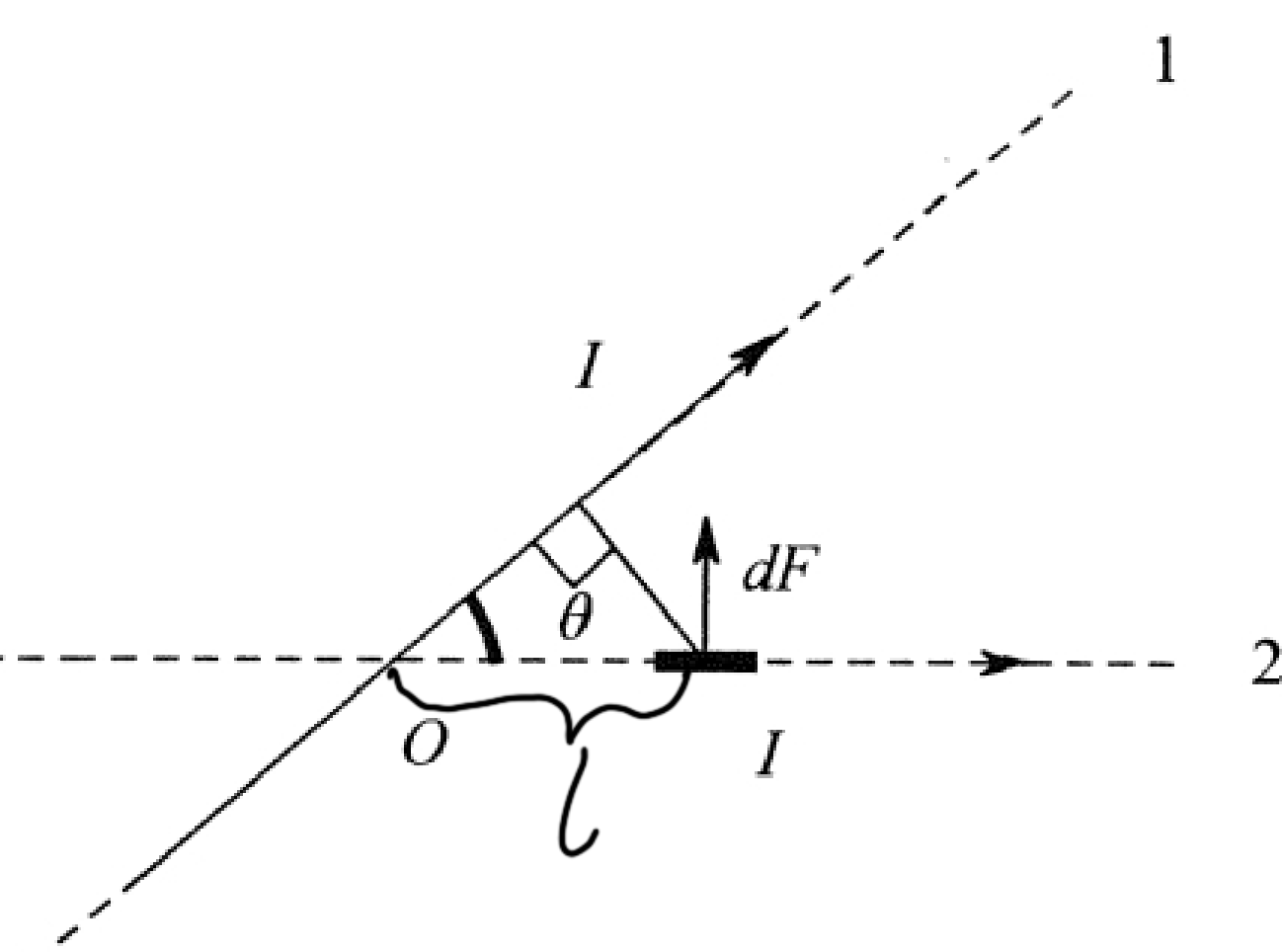
载流子运动方向：

以 $\vec{I}$ 方向判断

电流载流子为负电荷

④拍指向载流子方向

2. 如图 7-2-5 所示，两根相互绝缘的无限长直导线 1 和 2 铰接于 O 点，两导线间夹角为  $\theta$ ，通有相同的电流  $I$ 。试求单位长度的导线所受磁力对 O 点的力矩。



$$\text{导线1产生的磁场: } B = \frac{\mu_0 I}{2\pi \sin \theta}$$

$$M = \int l d\vec{F} = \int_l^{l+1} B \cdot I dl \cdot l = \frac{\mu_0 I^2}{2\pi \sin \theta}$$

3. 一螺绕环的中心周长为  $l = 10 \text{ cm}$ ，环上紧密的绕有  $N = 50$  匝的线圈，线圈中通有  $I = 0.2 \text{ A}$  的电流。

- (3) 磁介质内由导线中的电流产生的  $B_0$  和由磁化电流产生的  $B'$  各是多少？

$$\text{导线电流产生的 } B_0 = \mu_0 N I = \mu_0 \frac{N}{l} I$$

磁化电流产生的附加磁场

$$\chi_r = \frac{B}{B_0} = \frac{B_0 + B}{B_0}$$

$$B' = (\chi_r - 1) B_0$$

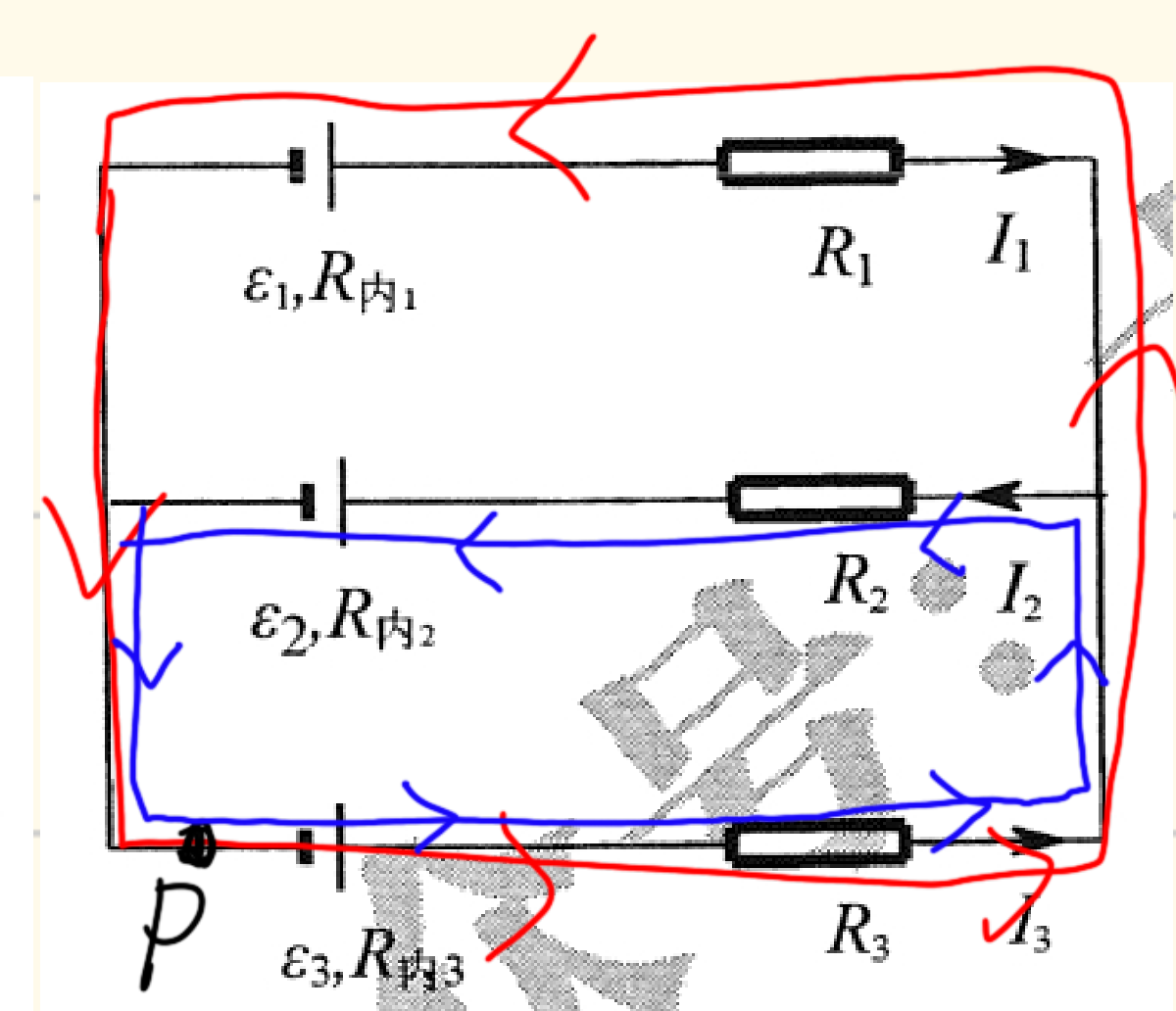
1. 在图 7-3-1 所示的电路中，电源的电动势分别为  $\varepsilon_1$ 、 $\varepsilon_2$  和  $\varepsilon_3$ ，内阻分别是  $R_{\text{内}1}$ 、 $R_{\text{内}2}$  和  $R_{\text{内}3}$ ，外电阻分别为  $R_1$ 、 $R_2$  和  $R_3$ ，电流分别为  $I_1$ 、 $I_2$  和  $I_3$ ，方向如图所示。下列各式中正确的是（）

(A)  $\varepsilon_3 - \varepsilon_1 + I_1(R_1 + R_{\text{内}1}) - I_3(R_3 + R_{\text{内}3}) = 0$

(B)  $I_1 + I_2 + I_3 = 0$

(C)  $\varepsilon_2 - \varepsilon_1 + I_1(R_1 + R_{\text{内}1}) - I_2(R_2 + R_{\text{内}2}) = 0$

(D)  $\varepsilon_2 - \varepsilon_3 + I_2(R_2 - R_{\text{内}2}) + I_3(R_3 - R_{\text{内}3}) = 0$



绕红线一周

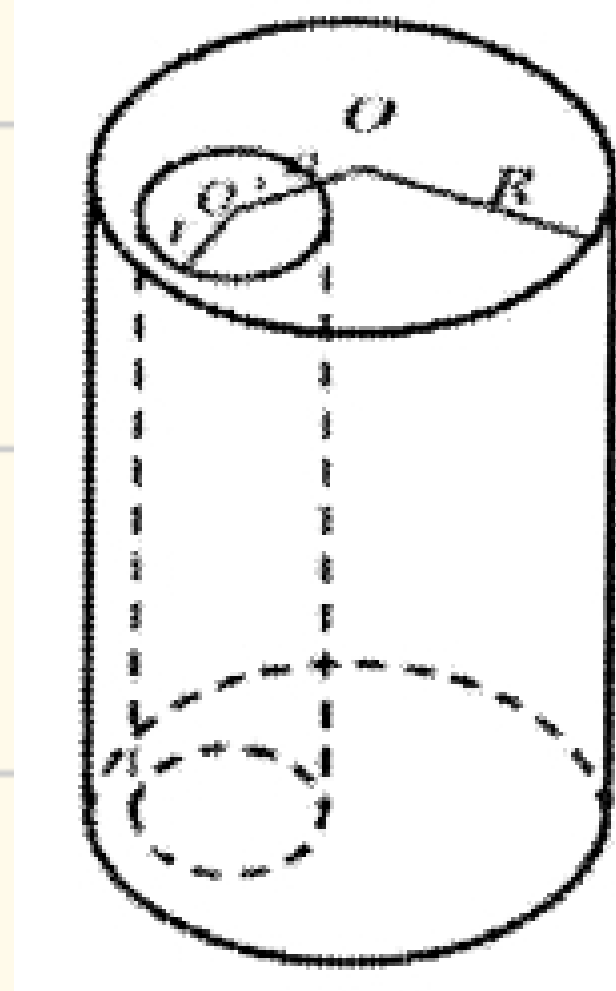
$$\varphi_p + \varepsilon_3 - I_3(R_{\text{内}3} + R_3) + I_1(R_{\text{内}1} + R_1) - \varepsilon_1 = \varphi_p$$

绕蓝线一周

$$\varphi_p + \varepsilon_3 - I_3(R_{\text{内}3} + R_3) - I_2(R_{\text{内}2} + R_2) + \varepsilon_2 = \varphi_p$$

3. 在半径为  $R$  的长直金属圆柱体内部挖去一个半径为  $r$  的长直圆柱体，两柱体轴线平行，其间距为  $a$ ，如图 7-3-2 所示。今在此导体上通以电流  $I$ ，电流在截面上均匀分布，则空心部分轴线上  $O'$  点的磁感应强度的大小为（）

- (A)  $\frac{\mu_0 I}{2\pi a} \cdot \frac{a^2}{R^2}$     (B)  $\frac{\mu_0 I}{2\pi a} \cdot \frac{a^2 - r^2}{R^2}$     (C)  $\frac{\mu_0 I}{2\pi a} \cdot \frac{a^2}{R^2 - r^2}$     (D)  $\frac{\mu_0 I}{2\pi a} \cdot \left( \frac{a^2}{R^2} - \frac{r^2}{a^2} \right)$

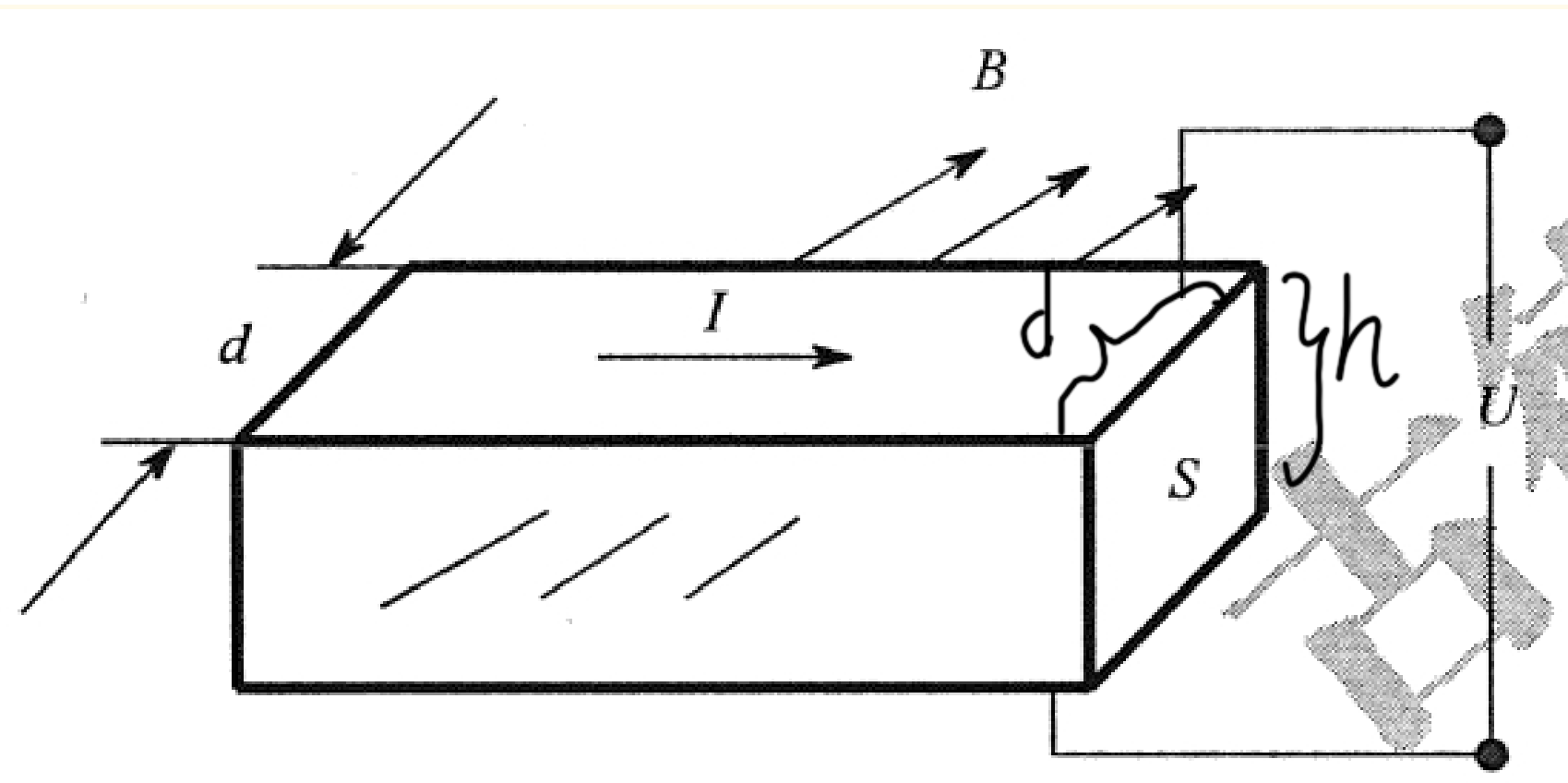


$$\left\{ \begin{array}{l} j = \frac{1}{\pi(R^2 - r^2)} \\ \int_l B dl = \mu_0 \int_S j ds \end{array} \right. \Rightarrow B = \frac{\mu_0 I}{2\pi a} \cdot \frac{a^2}{R^2 - r^2}$$

注：回路的  
(红色)

6. 一个通有电流  $I$  的导体，厚度为  $d$ ，横截面积为  $S$ ，放置在磁感应强度为  $\vec{B}$  的匀强磁场中，磁场方向垂直于导体的侧表面，如图 7-3-4 所示。现测得导体上下两面电势差为  $U$ ，则此导体的霍尔系数等于（）

- (A)  $\frac{UdS}{IB}$     (B)  $\frac{IBU}{dS}$     (C)  $\frac{US}{IBd}$     (D)  $\frac{IUS}{Bd}$     (E)  $\frac{Ud}{IB}$



$$E = \frac{U}{d} q = BVq$$

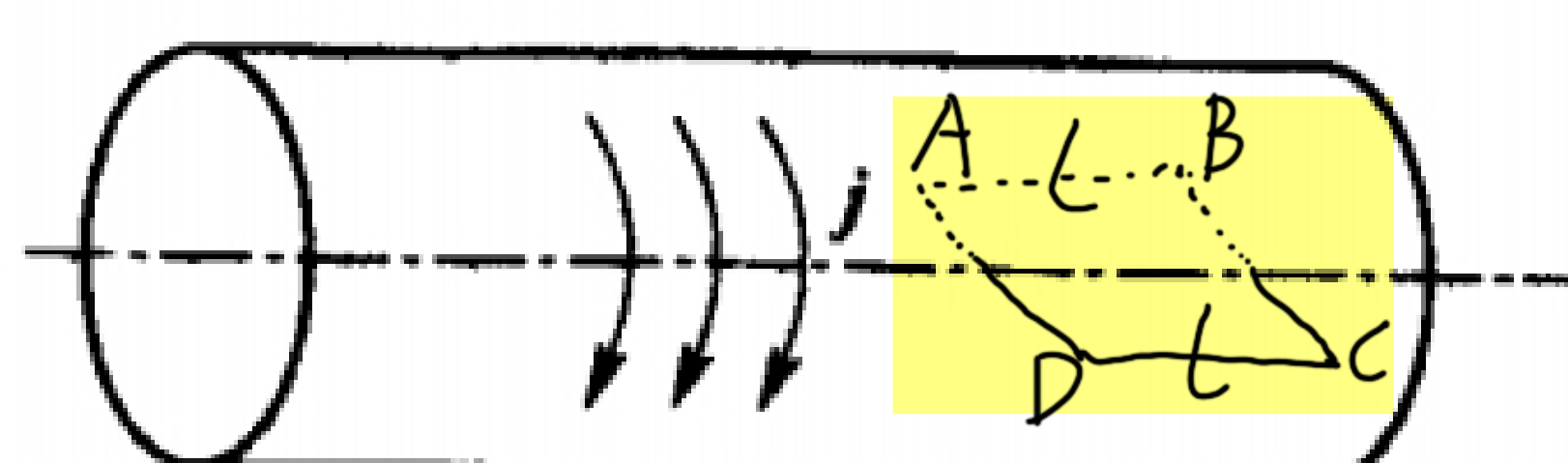
$$U = BVh$$

$$\text{而 } I = nqVS = nqVdh$$

$$\Rightarrow U = \frac{IB}{nqd} = k \cdot \frac{IB}{d}$$

$$\Rightarrow k = \frac{Ud}{IB}$$

3. 如图 7-3-8 所示的一无限长直圆筒，沿圆周方向上的面电流密度的大小（单位垂直长度上的电流）为  $j$ ，则圆筒内部的磁感应强度的大小为  $B = \underline{\hspace{2cm}}$ ，方向  $\underline{\hspace{2cm}}$ 。



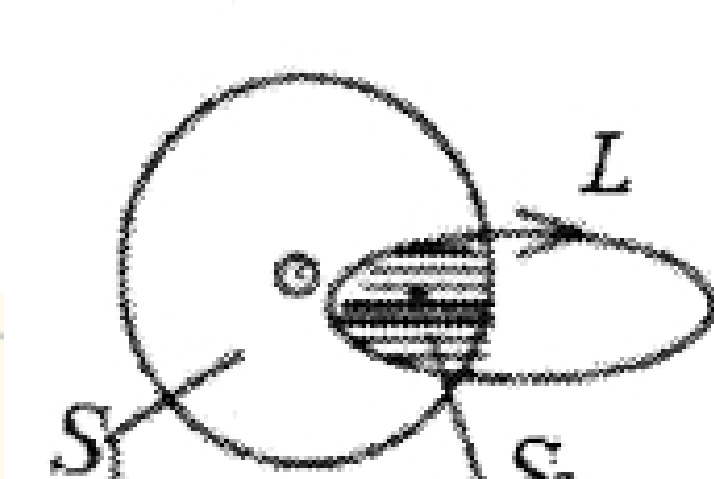
$$\oint \vec{B} \cdot d\vec{l} = \int_{AB} \vec{B} \cdot d\vec{l} = Bl$$

$$= \mu_0 I = \mu_0 \int_L j dl = \mu_0 j l$$

$$\Rightarrow B = \mu_0 j$$

4. 如图 7-3-8 所示，半径为  $R$  的圆柱体上载有电流  $I$ ，电流在其横截面上均匀分布，一回路  $L$  通过圆柱内部将圆柱体横截面分为两部分，其面积大小分别为  $S_1$ 、 $S_2$ ，如图所示，则

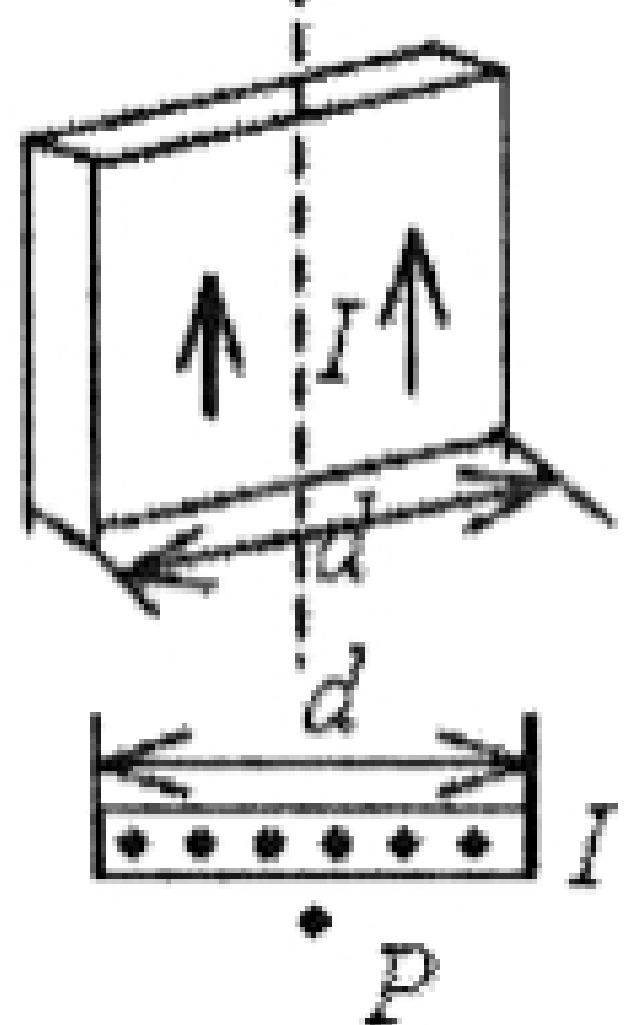
$$\oint_L \vec{H} \cdot d\vec{l} = \underline{\hspace{2cm}}.$$



[正向与 L 里的穿行](正向与 L 里的穿行)

$$\oint \vec{H} \cdot d\vec{l} = \sum I_{in} = \frac{S_2 I}{S_1 + S_2}$$

5. 如图 7-3-9 所示，在宽度为  $d$  的导体薄片上有电流  $I$  沿此导体长度方向流过，电流在导体宽度方向均匀分布。导体外在筒体中线附近 P 点处的磁感应强度  $\vec{B}$  的大小为。



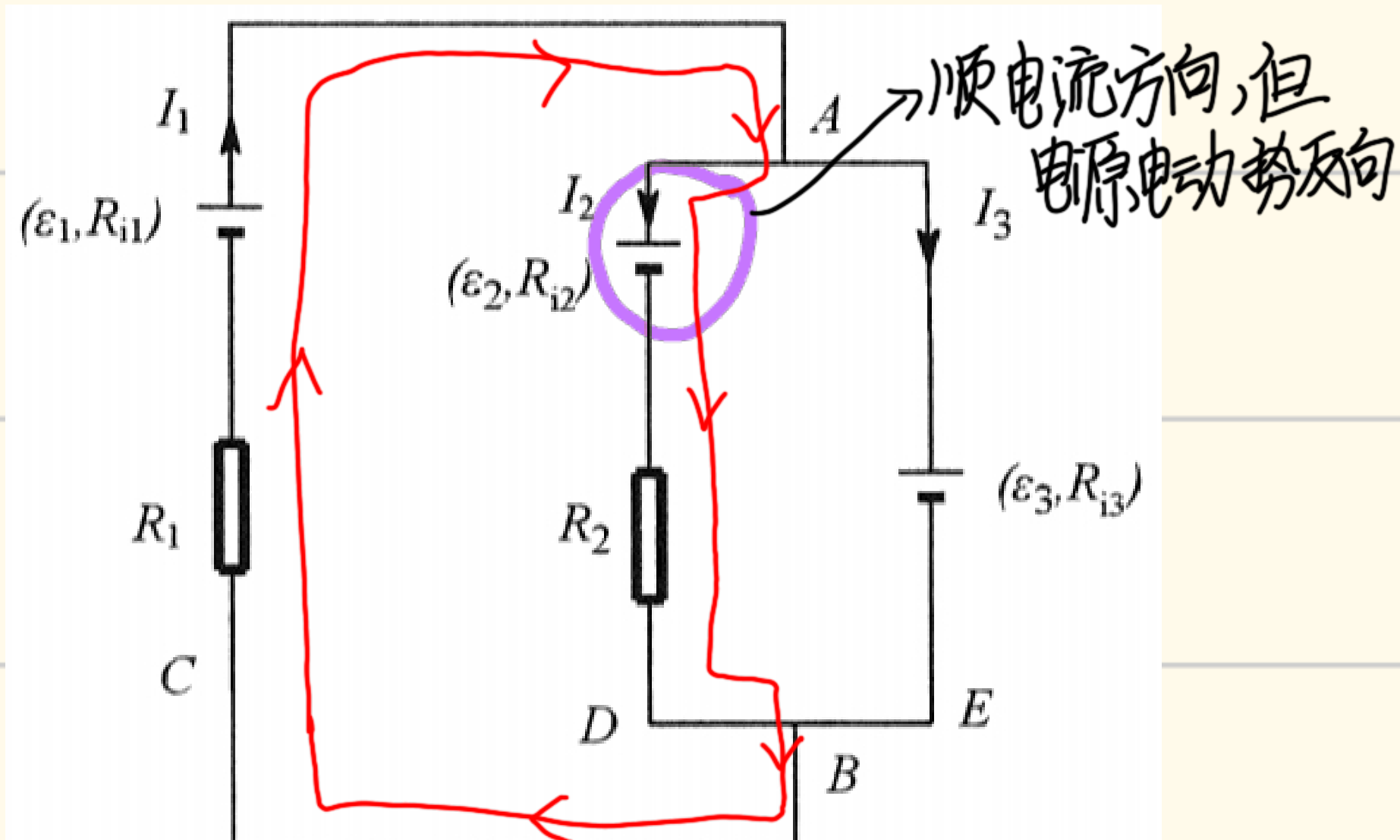
因 P 距薄片很近，可视为无限大带电平面

$$B = \frac{\mu_0 J}{2} \rightarrow \text{注意 } J \text{ 为单位宽度的电流密度}$$

$$\text{即 } J = \frac{I}{d}, B = \frac{\mu_0 I}{2d}$$

2. 图 7-3-10 所示的电路中， $\varepsilon_1 = 3.0V$ ,  $\varepsilon_2 = 1.0V$ ,  $\varepsilon_3 = 2.0V$ ,  $R_{i1} = R_{i2} = R_{i3} = 1\Omega$ ,

$R_1 = 3.0\Omega$ ,  $R_2 = 1.0\Omega$ 。试求：(1) 通过  $\varepsilon_1$  的电流  $I_1$ ; (2)  $\varepsilon_1$  提供的电功率  $P$ 。



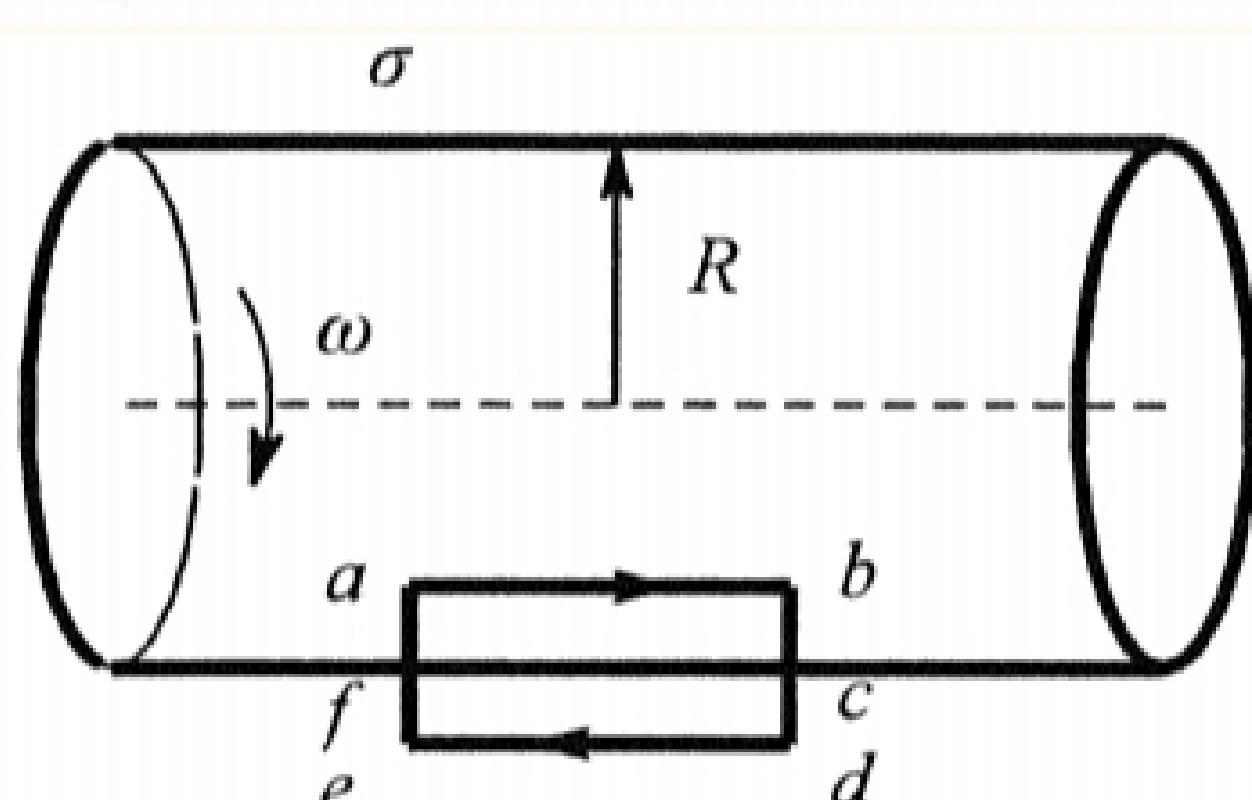
$$\begin{cases} I_1 = I_2 + I_3 \\ \varepsilon_3 - I_1(R_1 + R_{i1}) - \underline{\varepsilon_2} - I_2(R_2 + R_{i2}) = 0 \\ \varepsilon_3 - I_1(R_1 + R_{i1}) - \varepsilon_3 - I_3 R_{i3} = 0 \end{cases}$$

3. 给电容为  $C$  的平行板电容器充电，电流为  $i = 0.2e^{-t}$  (SI)，时电容器极板上无电荷。求：

(1) 极板间电压  $U$  随时间  $t$  而变化的关系；(2)  $t$  时刻极板间总的位移电流  $I_d$  (忽略边缘效应)

电路中变化电流产生  $\Rightarrow I_d = i$

4. 如图 7-3-11 所示，一半径为  $R$  的均匀带电无限长直圆筒，电荷面密度为  $\sigma$ 。该筒以角速度  $\omega$  绕其轴线匀速旋转。试求圆筒内部的磁感应强度。



取安培环路



而不是



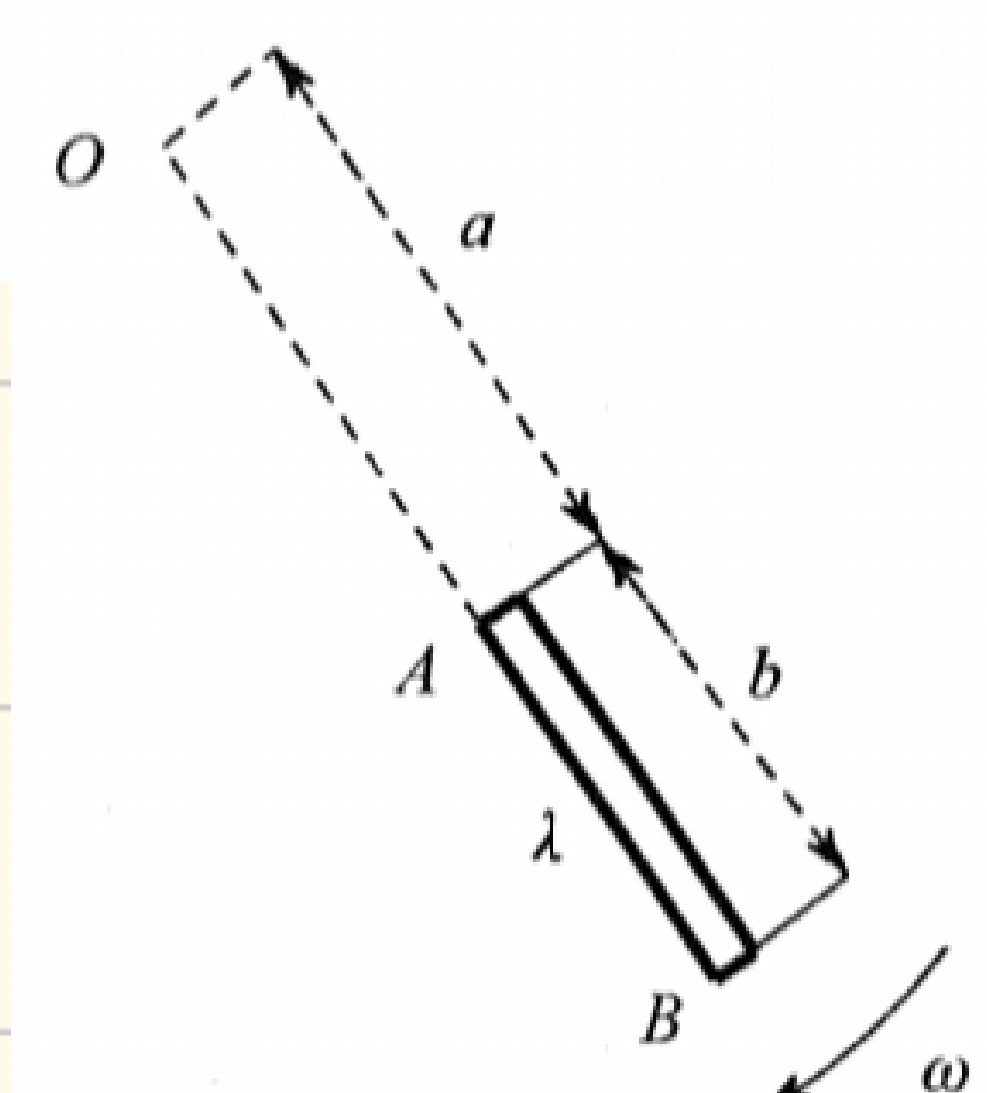
5. 如图 7-3-12 所示，一均匀带电刚性细杆 AB，电荷线密度为  $\lambda$ ，绕垂直于直线的轴 O 以  $\omega$  角速度匀速转动 (O 点在细杆 AB 延长线上)。求：(1) O 点的磁感应强度  $\vec{B}$ ；(2) 磁矩  $\vec{m}$ ；

(3) 若  $a \gg b$ ，求  $\vec{B}$  及  $\vec{m}$ 。

$$(1) dI = \frac{\lambda dr}{2\pi/\omega}$$

$$\text{又因 } B = \frac{\mu_0 I}{2r} \text{ (圆形电流)}$$

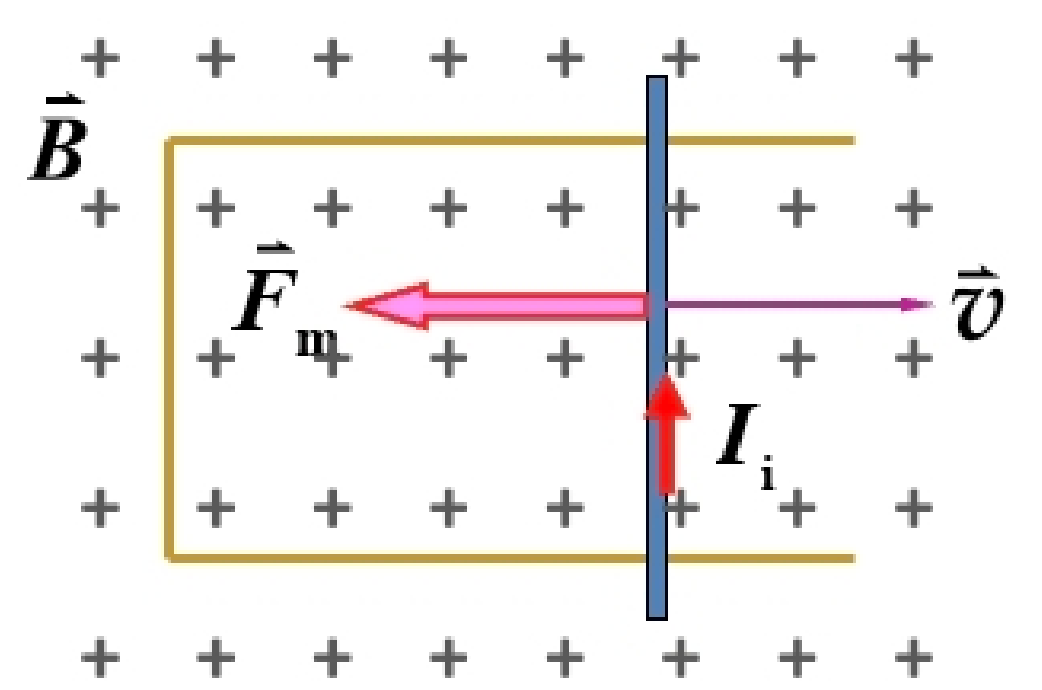
$$B = \int_a^{a+b} \frac{\mu_0}{2r} \cdot \frac{\lambda \omega r}{2\pi} \cdot dr$$



# 第八章 电磁感应

## 楞次定律

闭合的导线回路中所出现的感应电流，总是使它自己所激发的磁场反抗任何引发电磁感应的原因  
(反抗相对运动、磁场变化或线圈变形等)



机械能 → 焦耳热

## 法拉第电磁感应定律

$$E = -\frac{d\Phi}{dt} \quad \text{其中 } \Phi = \int_S \vec{B} d\vec{S}$$

回路中感应电荷

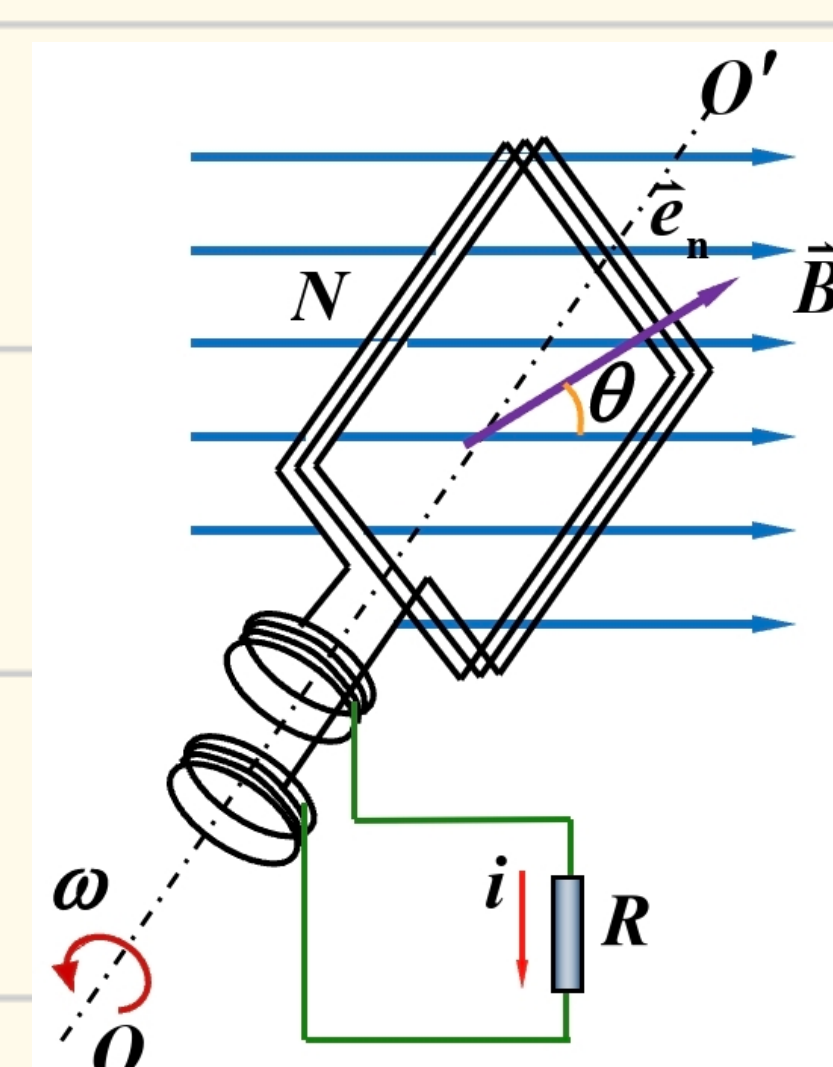
$$q = \int_{t_1}^{t_2} i dt = -\frac{1}{R} \int_{\Phi_1}^{\Phi_2} d\Phi = \frac{1}{R} (\Phi_1 - \Phi_2)$$

$q$  与  $\Delta\Phi$  有关, 与  $\Phi$  变化快慢无关

## 交流电发电

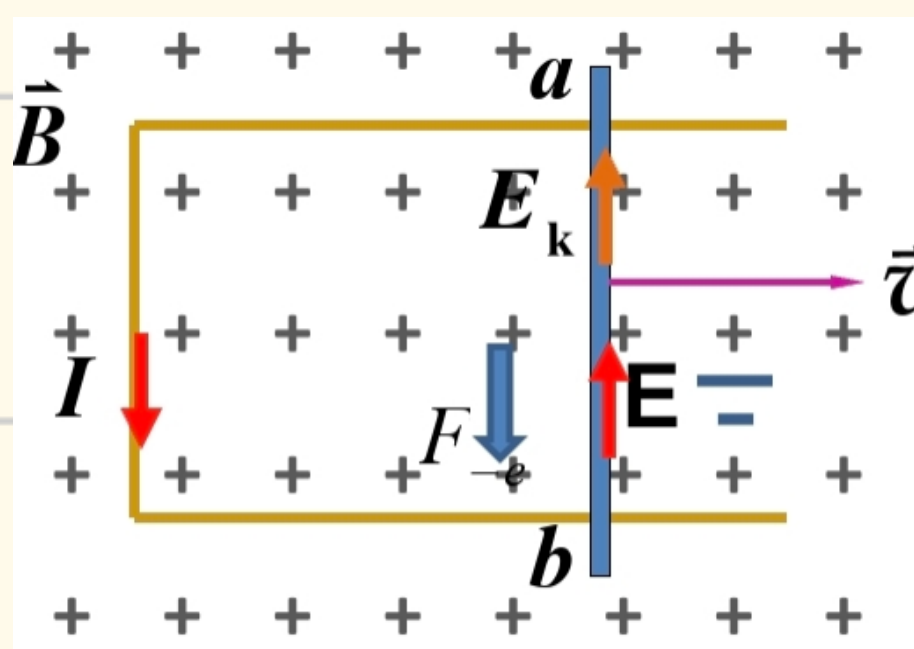
$$\begin{aligned}\Phi &= NBS \cos\theta \\ &= NBS \cos\omega t\end{aligned}$$

$$\begin{aligned}E &= NBS \omega \sin\omega t \\ &= E_m \sin\omega t\end{aligned}$$



# 动生电动势

$$E = \int_a^b (\vec{v} \times \vec{B}) d\vec{l}$$

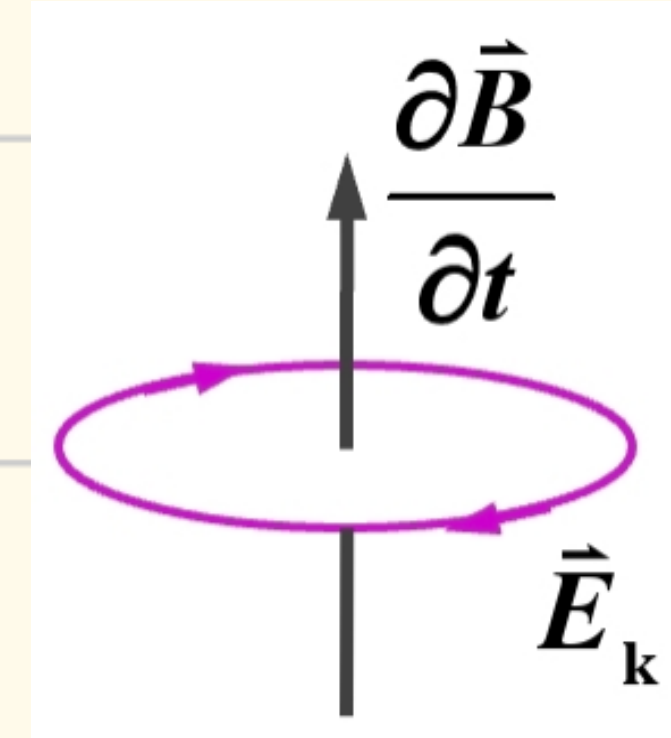


四指 ( $\rightarrow +$ )  
大拇指  $\nabla$

来源于洛伦兹力(能量转换)  
仅切割磁感线才产生

# 感生电动势

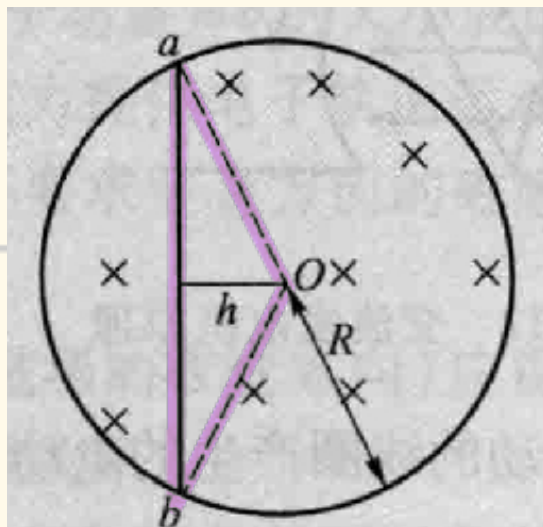
$$E = - \int_S \frac{\partial \vec{B}}{\partial t} \cdot d\vec{s}$$



感生电场为涡旋场, 始终与半径垂直

$$\text{电动势 } E = \oint \vec{E}_{\text{感}} \cdot d\vec{l}$$

例如:



由于  $E = \int \vec{E} d\vec{l}$ , 而且  $\vec{E} \perp \vec{R}$

$\Rightarrow$  在  $\triangle aob$  中, ao边、bo边的电动势  $E=0$

$$E_{ab} = E = - \frac{d\Phi}{dt}$$

$$\Phi = B \cdot S$$

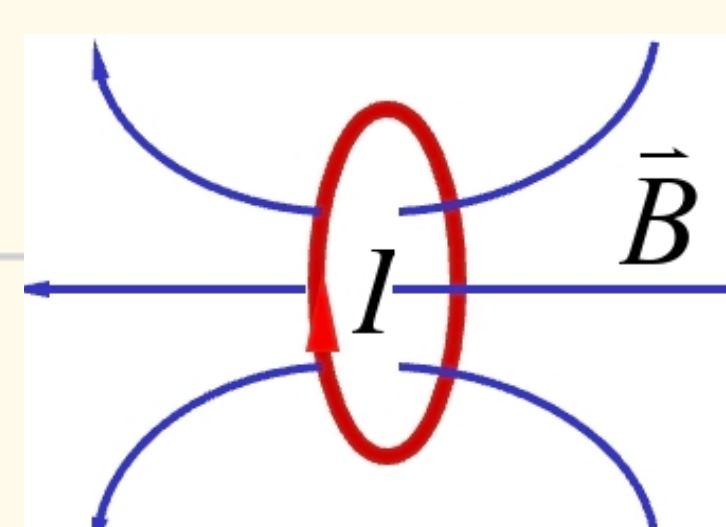
$$S = \frac{1}{2} h l = \frac{1}{2} l \sqrt{R^2 - \left(\frac{l}{2}\right)^2}$$

# 自感现象

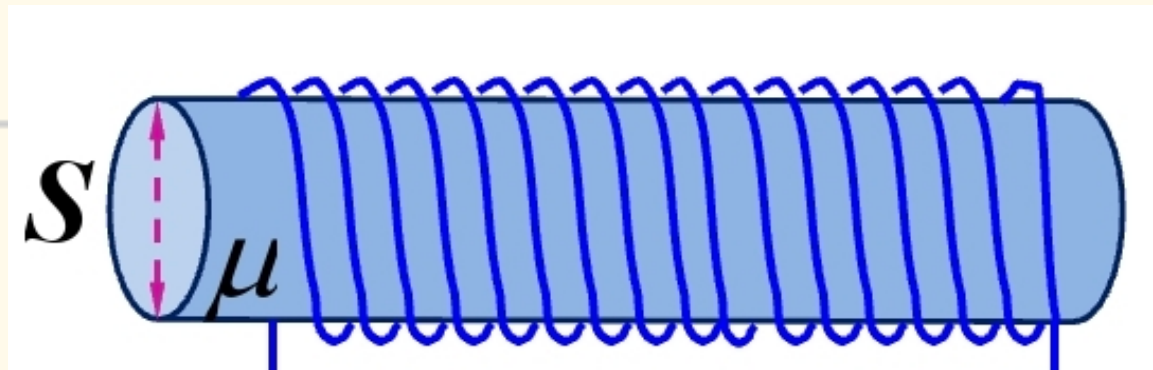
$$L = \frac{\Phi}{I} \quad \text{单位 H 亨利}$$

$$\text{若 } N \text{匝线圈, } L = \frac{\Psi}{I}, \Psi = N\Phi$$

$$\text{自感电动势 } \mathcal{E}_L = - \frac{d(LI)}{dt} = - L \cdot \frac{dI}{dt}$$



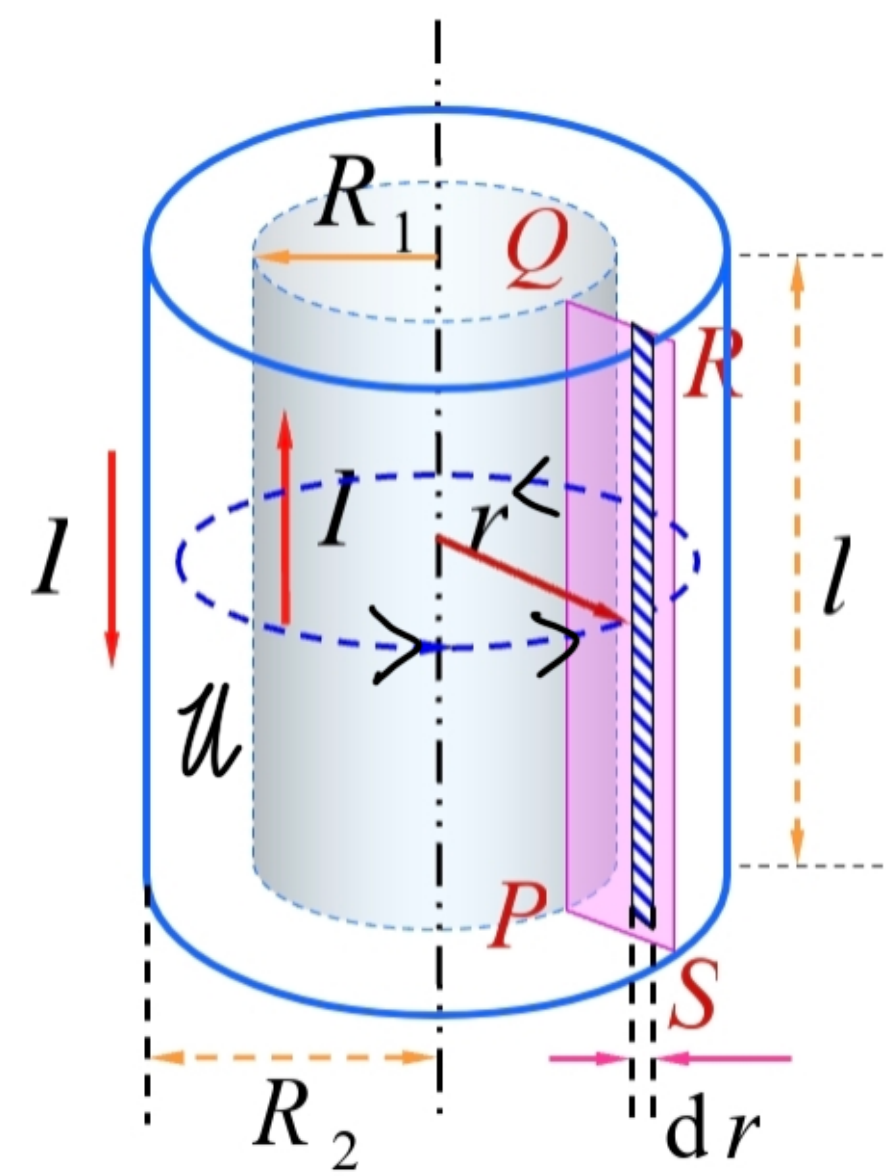
自感的计算举例:



$$\begin{cases} n = \frac{N}{l} \\ B = \mu_0 n I \\ \Psi = N\Phi = NBS = LI \end{cases}$$

$$\Rightarrow L = \mu_0 n^2 V$$

$L$  只与线圈形状、大小、磁介质性质有关



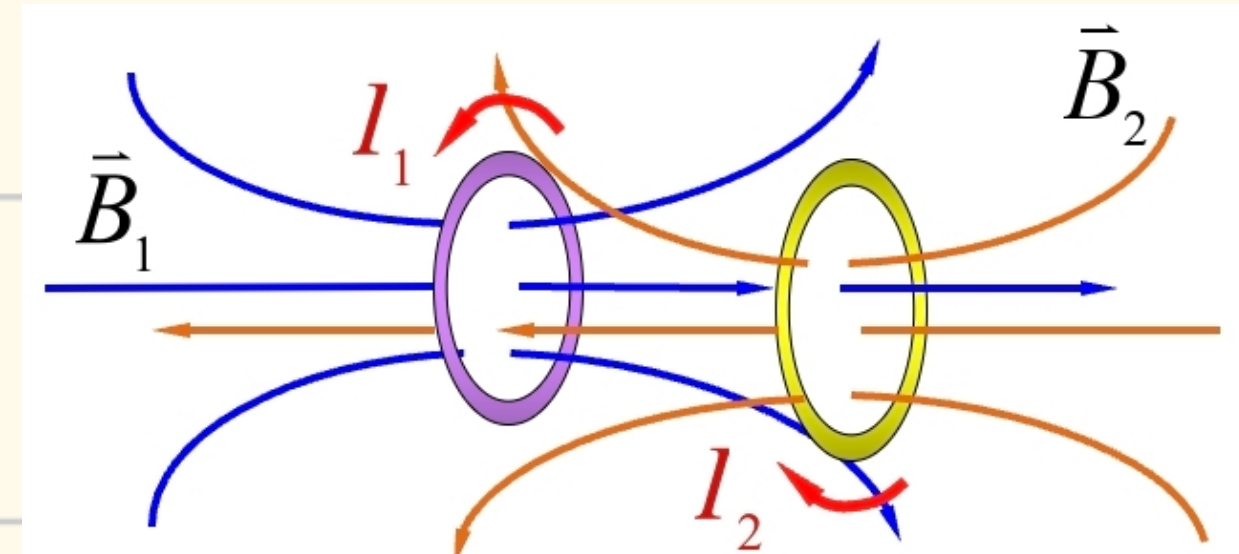
取安培环路， $B$ 仅与内筒电流有关

$$\left\{ \begin{array}{l} \oint B dl = 2\pi r B = uI \\ \Phi = \int_{R_1}^{R_2} B (dr) \end{array} \right.$$

$$\Rightarrow L = \frac{u}{2\pi} \ln \frac{R_2}{R_1}$$

## 互感现象

$$M = \frac{\Phi_{12}}{I_1} = \frac{\Phi_{21}}{I_2}$$

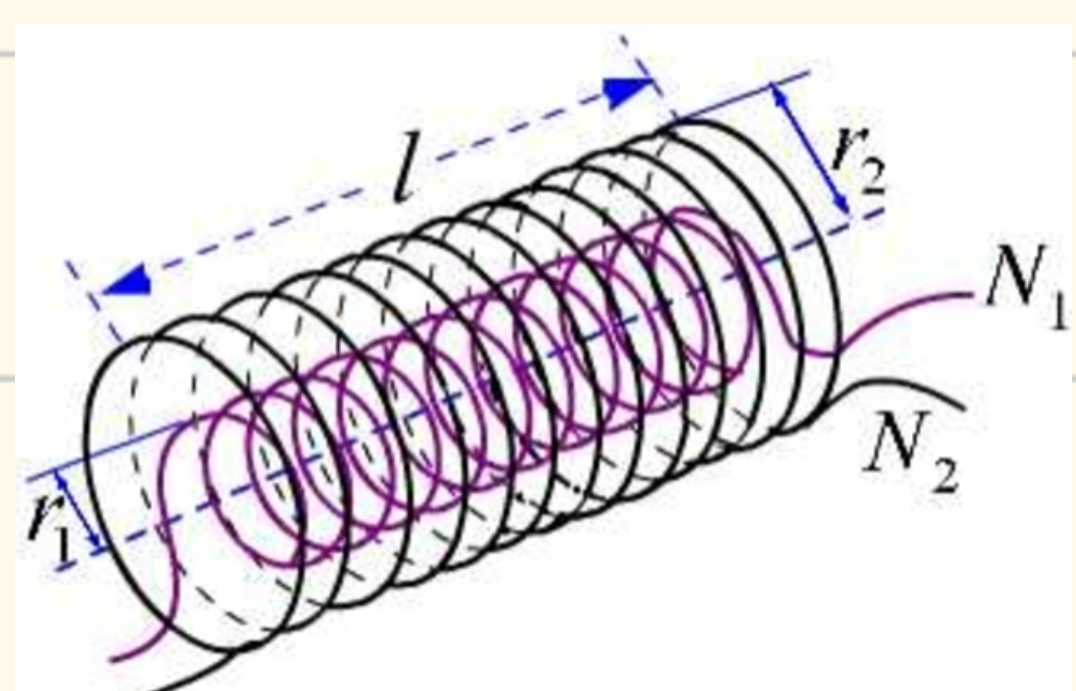


## 互感电动势

$$\mathcal{E}_{12} = -M \frac{dI_2}{dt}$$

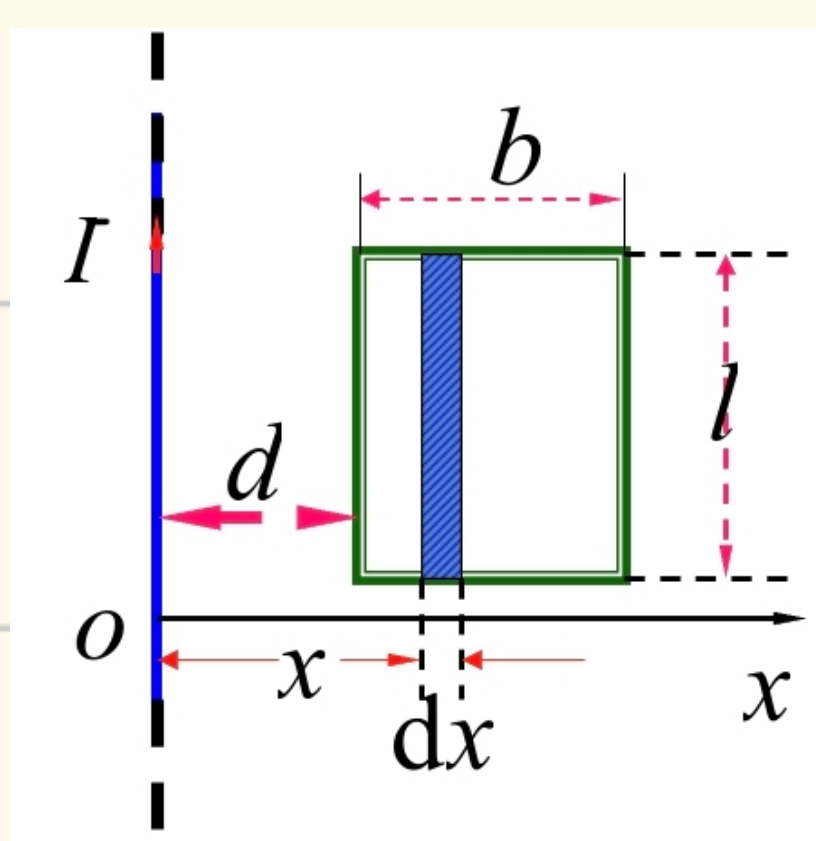
$$\mathcal{E}_{21} = -M \frac{dI_1}{dt}$$

## 互感的计算举例



$$M = \mu_0 n_1 n_2 V, V = l \cdot \pi r^2$$

为小螺线管体积



$$\left\{ \begin{array}{l} \Phi = MI \\ \Phi = \int_0^b B (dx) \\ B = \frac{\mu_0 I}{2\pi x} \end{array} \right.$$

$$\Rightarrow M = \frac{\mu_0 I}{2\pi} \ln \left( \frac{b+d}{d} \right)$$

## 磁场的能量

自感线圈电磁能  $W_m = \frac{1}{2} L \cdot I^2$

$$W_m = \int_V W_m dV$$

$$\text{其中, } W_m = \frac{B^2}{2\mu} = \frac{1}{2} \mu H^2 = \frac{1}{2} BH$$

# 麦克斯韦方程组

静电场高斯定理

$$\oint_S \vec{D} d\vec{S} = \sum q_0$$

电场环流定理

$$\oint_L \vec{E} d\vec{l} = - \int_S \frac{\partial \vec{B}}{\partial t} d\vec{S}$$

磁场高斯定理

$$\oint_S \vec{B} d\vec{S} = 0$$

安培环路定理

$$\oint_L \vec{H} d\vec{l} = \sum I_c + \int_S \frac{\partial \vec{D}}{\partial t} d\vec{S}$$

物态方程

$$\vec{D} = \epsilon_0 \epsilon_r \vec{E} \quad \vec{H} = \frac{\vec{B}}{\mu_0 \mu_r} \quad \vec{j} = \gamma \vec{E}$$

静止电场  $\Rightarrow$  静电场  $\left\{ \begin{array}{l} \text{库仑定律} \\ \text{高斯定理} \\ \frac{d\varphi}{dt} \end{array} \right.$

恒定磁场  $\Rightarrow$  恒定电流  $\left\{ \begin{array}{l} \text{毕奥-萨伐尔定律} \\ \text{安培环路定理} \end{array} \right.$

变化电场  $\Rightarrow$  位移电流

变化磁场  $\Rightarrow$  感生电场  $\left\{ \begin{array}{l} \text{法拉第电磁感应定律} \end{array} \right.$

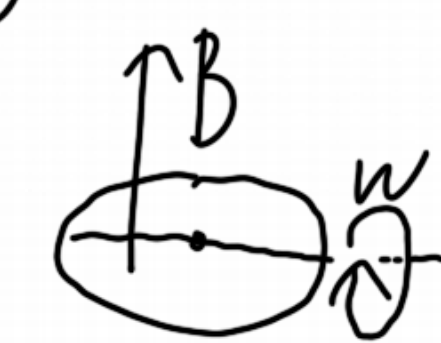
# hw 8

3. 一导体圆线圈在均匀磁场中运动，能使其产生感应电流的一种情况是 (B)

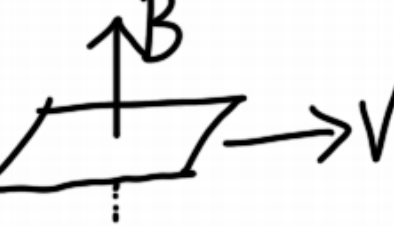
(A) 线圈绕自身直径轴转动，轴与磁场方向平行；



(B) 线圈绕自身直径轴转动，轴与磁场方向垂直；



(C) 线圈平面垂直于磁场并沿垂直磁场方向平移；



(D) 线圈平面平行于磁场并沿垂直磁场方向平移。



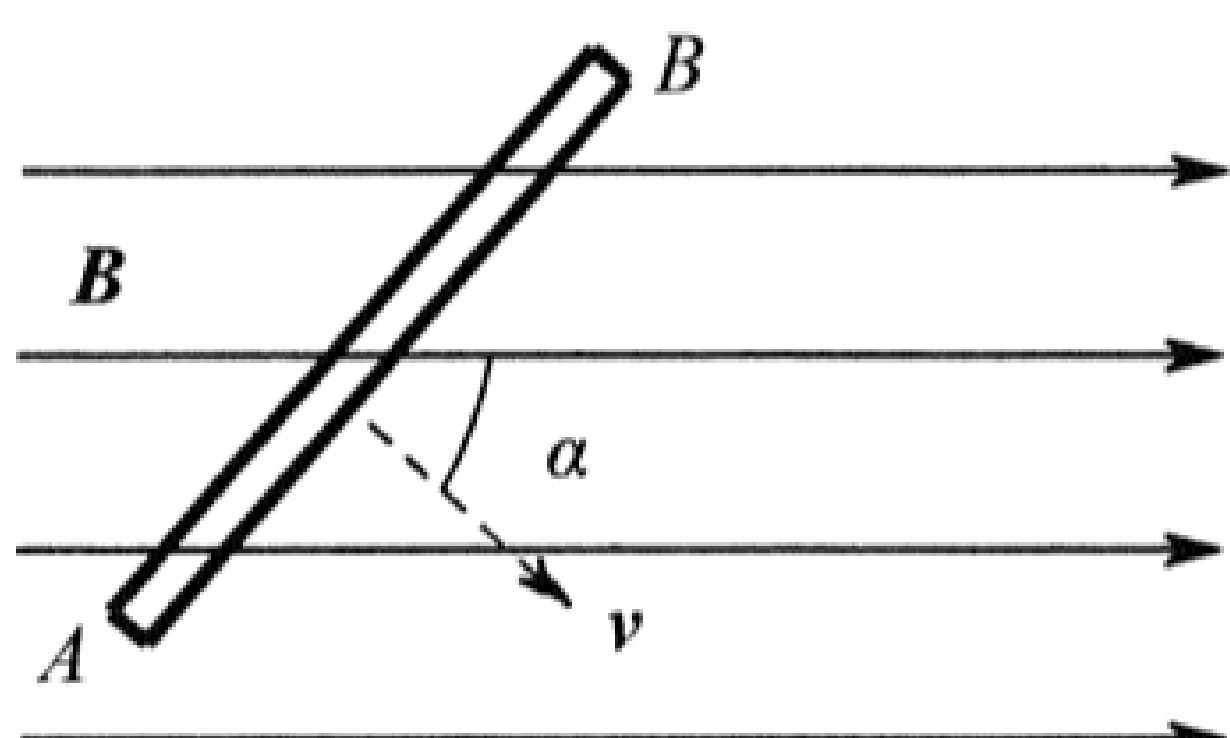
4. 如图 8-1-3 所示，长度为  $l$  的金属棒 AB 在均匀磁场中以速度  $v$  匀速运动，则 AB 中的电动势为 (D)

$$(A) Blv$$

$$(B) Blv \sin \alpha$$

$$(C) Blv \cos \alpha$$

$$(D) 0$$



$$E = \int (\vec{V} \times \vec{B}) \cdot d\vec{l}$$

$$\begin{matrix} \uparrow \\ \vec{V} \\ \searrow \vec{B} \end{matrix} \Rightarrow E = 0$$

5. 将形状完全相同的铜环和木环静止放置，并使通过两环面的磁通量随时间的变化率相等，则不计自感时 (D)

(A) 铜环中有感应电动势，木环中无感应电动势；

(B) 铜环中感应电动势大，木环中感应电动势小；

(C) 铜环中感应电动势小，木环中感应电动势大；

(D) 两环中感应电动势相等。

*均有E感，只是木环无法形成电流*

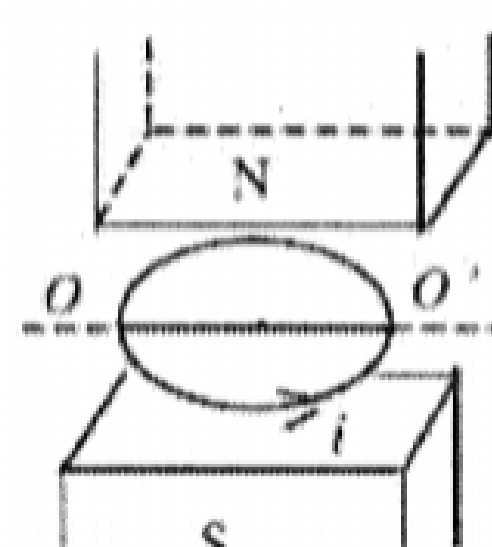
7. 在两个永久磁极中间放置一圆形线圈，线圈的大小和磁极大小约相等，线圈平面和磁场方向垂直。今欲使线圈中产生逆时针方向（俯视）的瞬时感应电流  $i$ （图 8-1-4），可选择下列哪一个方法？ (C)

(A) 把线圈在自身平面内绕圆心旋转一个小角度 *Φ不变*

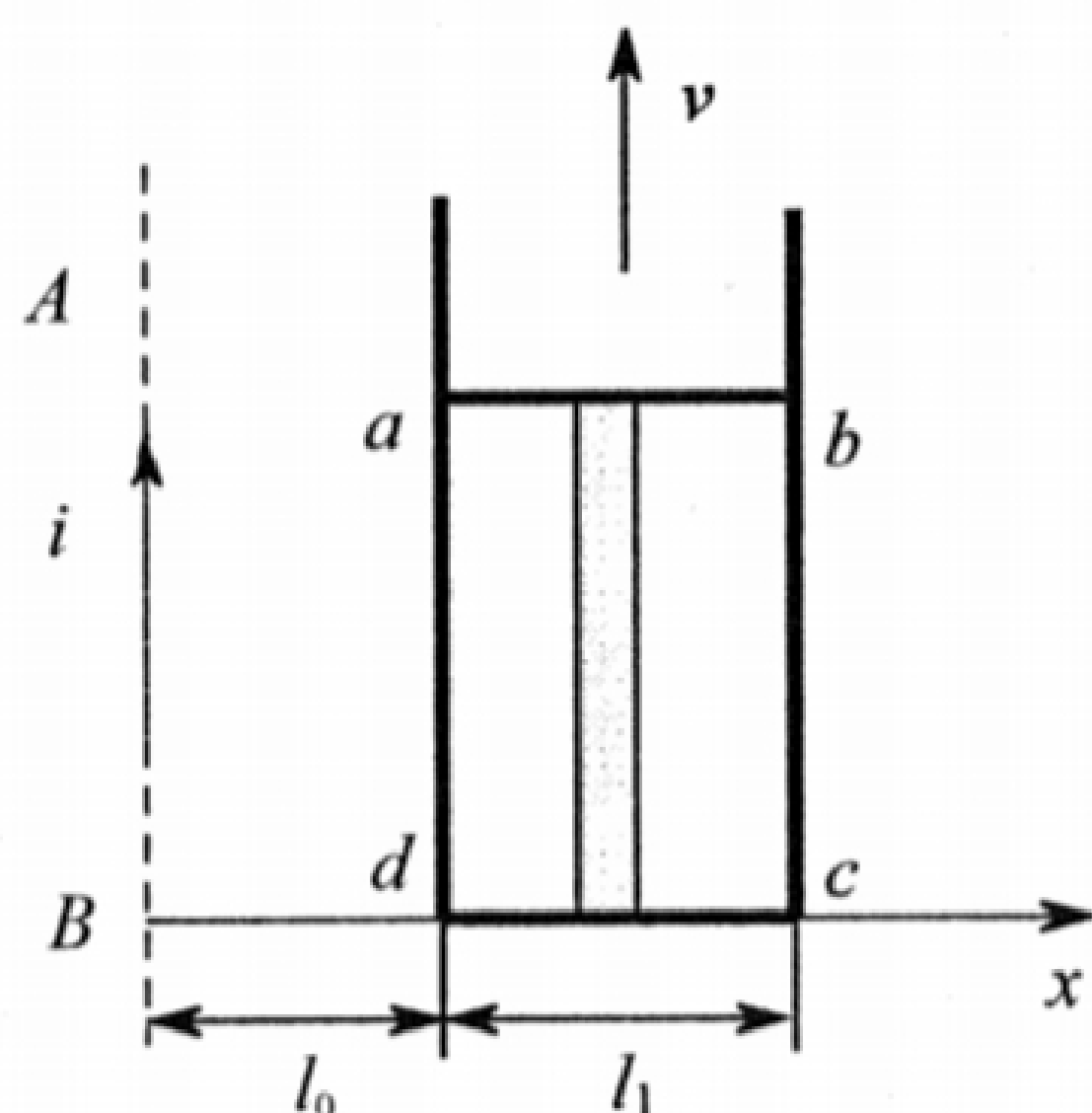
(B) 把线圈绕通过其直径的  $OO'$  轴转一个小角度 *Φ↓*

(C) 把线圈向上平移 *靠近N极, Φ↑*

(D) 把线圈向右平移 *Φ↓*



4. 如图 8-1-11 所示, 长直导线中电流为  $i$ , 矩形线框  $abcd$  与长直导线共面, 且  $ad \parallel AB$ ,  $dc$  边固定,  $ab$  边沿  $da$  及  $cb$  以速度  $v$  无摩擦地匀速平动。 $t=0$  时,  $ab$  边与  $cd$  边重合。设线框自感忽略不计。(1) 如  $i=I_0$ , 求  $ab$  中的感应电动势。 $ab$  两点哪点电势高? (2) 如  $i=I_0 \cos \omega t$ , 求  $ab$  边运动到任一时刻  $t$  时线框中的总感应电动势。



$$(1) E = \int_{l_0}^{l_0+l_1} (\vec{V} \times \vec{B}) \cdot d\vec{l}$$

$$= \int_{l_0}^{l_0+l_1} V \cdot \frac{\mu_0 I_0}{2\pi x} dx$$

$$(2) E = -\frac{d\Phi}{dt} = -\frac{1}{dt} \cdot B ds$$

$$= -\frac{1}{dt} \cdot \int_{l_0}^{l_0+l_1} \frac{\mu_0 \cdot I_0 \cos \omega t}{2\pi x} \cdot vt dx$$

3. 已知一螺绕环的自感系数为  $L$ 。若将该螺绕环锯成两个半环式的螺线管, 则两个半环螺线管的自感系数 (D)

(A) 都等于  $\frac{1}{2}L$

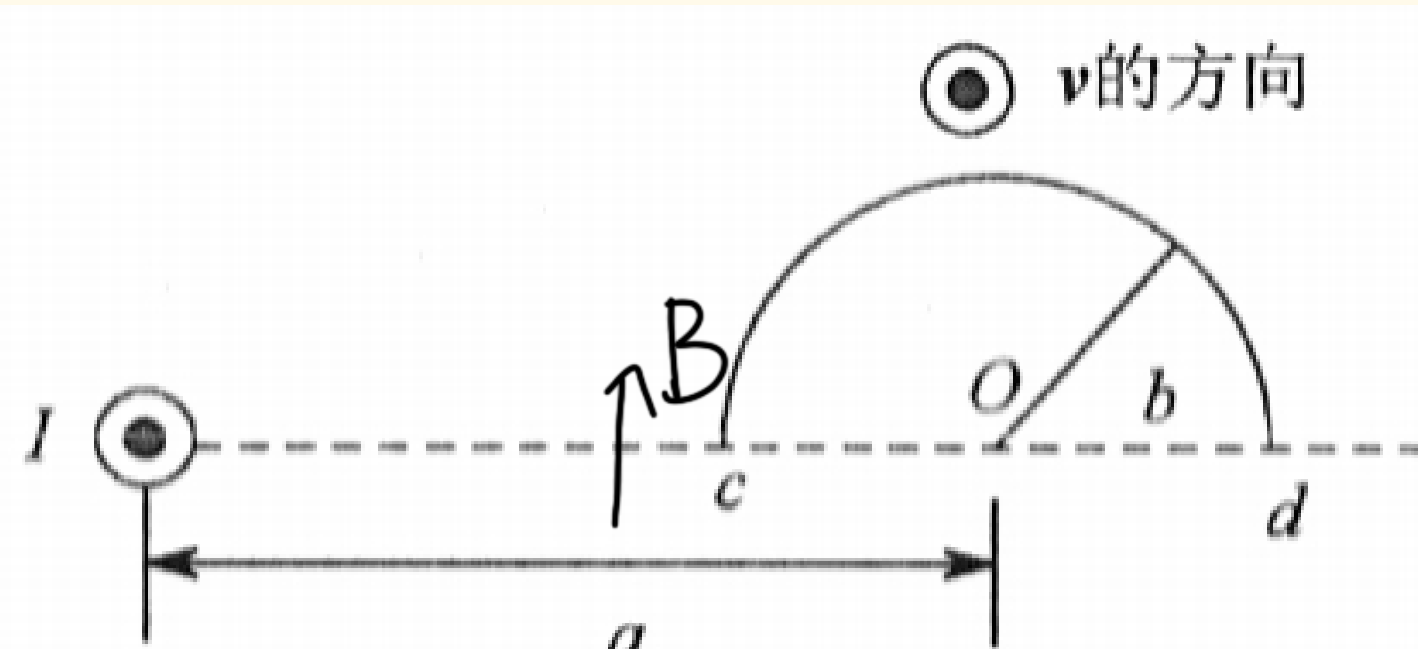
(B) 有一个大于  $\frac{1}{2}L$ , 另一个小于  $\frac{1}{2}L$

(C) 都大于  $\frac{1}{2}L$       (D) 都小于  $\frac{1}{2}L$

$$L = \mu_0 nV \rightarrow \text{切半后, } L \rightarrow \frac{L}{2} \text{ 和 } \frac{L}{2}$$

但因出现了互感, 产生遏制, 使双方  $L_0 < \frac{L}{2}$

1. 载有恒定电流  $I$  的长直导线旁有半圆环导线  $cd$ , 半圆环半径为  $b$ , 环面与直导线垂直, 且半圆环两端点连线的延长线与直导线相交, 如图 8-2-3. 当半圆环以速度  $v$  沿平行于直导线的方向平移时, 半圆环上的感应电动势的大小是\_\_\_\_\_。



注意,  $E_{\overrightarrow{cd}} = E_{\overleftarrow{cd}}$

转化为求直线  $cd$  的电动势

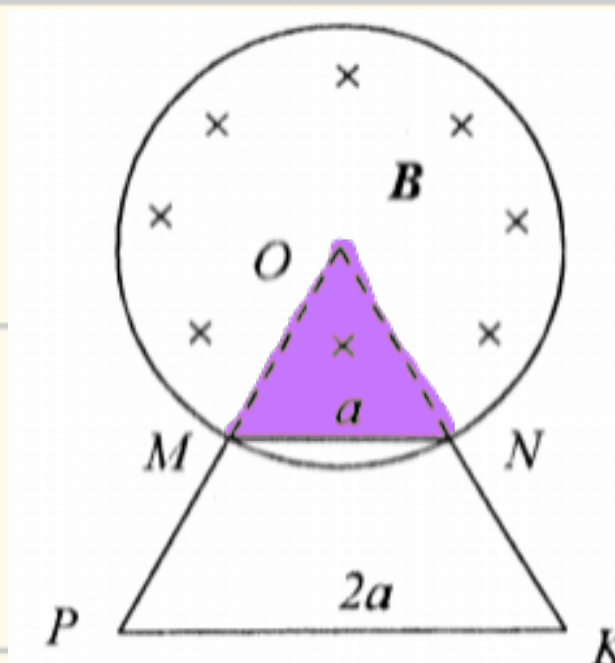
$$E = \int_{a-b}^{a+b} V \frac{\mu_0 I}{2\pi x} dx$$

3. 如图 8-2-5 所示，半径为  $a$  的圆柱形区域内，有随时间变化的均匀磁场  $\left(\frac{dB}{dt} = c\right)$ ，将一个等腰梯形导线框  $MNPK$  放入磁场，如图所示，导线框所在平面垂直于圆柱形磁场的中轴线。若梯形导线框上底长为  $a$ ，下底长为  $2a$ ，总电阻为  $R$ ，则  $MN$  段的感生电动势为 \_\_\_\_\_， $PK$  段的感生电动势为 \_\_\_\_\_， $PM$  段的感生电动势为 \_\_\_\_\_。

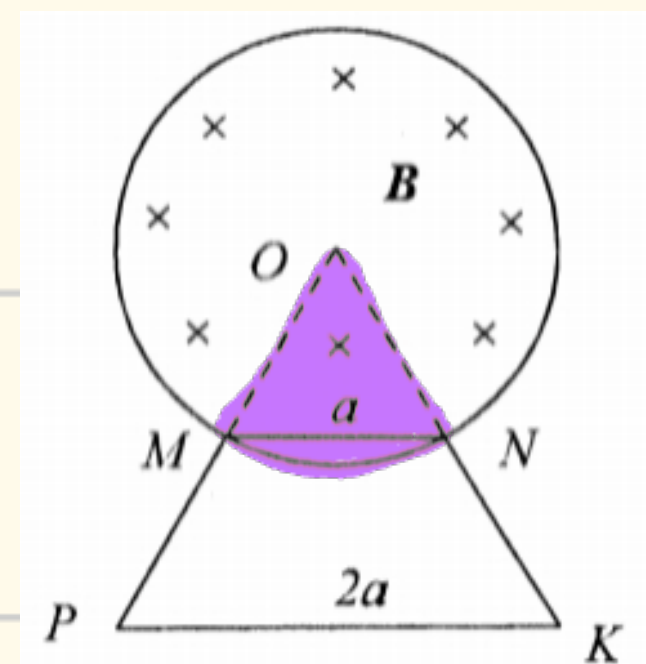
径向段，总没有感应电动势

构造虚拟回路： $OMNO$ ，回路中感生电动势

集中在  $MN$



$OPKO$ ，集中在  $PK$  段



# 附:

无限长直导线中生成

$$E = \frac{\lambda}{2\pi\epsilon_0 x}$$

均匀带电圆环轴线

$$E = \frac{qx}{4\pi\epsilon_0(x^2+R^2)^{\frac{3}{2}}}$$

$$\varphi = \frac{q}{4\pi\epsilon_0\sqrt{x^2+R^2}}$$

$$E = \frac{Q}{2\epsilon_0} \left( 1 - \frac{x}{\sqrt{x^2+R^2}} \right)$$

$$\varphi = \frac{Q}{2\epsilon_0} (\sqrt{x^2+R^2} - x)$$

无限大带电平面

$$E = \frac{Q}{2\epsilon_0}$$

电偶极子

$$\text{力矩 } \vec{M} = \vec{p} \times \vec{E}$$

$$A = - \int_0^{\theta} M d\theta$$

$$\text{电势 } \varphi = \frac{1}{4\pi\epsilon_0} \cdot \frac{p \cos \theta}{r^2}$$

$$\text{电场 } E = -\nabla \varphi$$

$$\Phi = \vec{E} \cdot \vec{S}$$

$$\varphi = \int_a^{+\infty} \vec{E} d\vec{l}$$

$$C = \frac{Q}{\varphi} = \psi \pi \epsilon_0 R$$

$$C = \frac{\epsilon_0 S}{d}$$

$$C = \frac{2\pi\epsilon_0 L}{\ln \frac{R_2}{R_1}}$$

$$C = \frac{\pi\epsilon_0}{\ln \frac{d}{R}}$$

$$\text{串联 } \frac{1}{C} = \frac{1}{C_1} + \frac{1}{C_2}$$

$$\text{并联 } C = C_1 + C_2$$

$$\oint \vec{D} d\vec{S} = \sum q$$

$$\vec{D} = \epsilon_0 \epsilon_r \vec{E} = \epsilon \vec{E}, \epsilon_r = 1 + \chi_e$$

$$(\text{自由}) \text{ 电荷面密度 } \sigma = D = \epsilon_0 \epsilon_r E$$

$$\vec{P} = \chi_e \epsilon_0 \vec{E}$$

$$\text{束缚电荷面密度 } \sigma' = \vec{P} \cdot \vec{n}$$

极化规律

电流

欧姆定律

$$I = \int_S \vec{J} d\vec{S} = nqU/S, \vec{J} = nq\vec{U}$$

$$R = \rho \frac{L}{S}$$

$$\vec{J} = \gamma \vec{E}, \gamma = \frac{1}{\rho}$$

当  $a \rightarrow b$  与电流方向一致,

$$\varphi_b = \varphi_a - \sum I R + \sum E$$

$$U_{ab} = \varphi_a - \varphi_b = \sum I R - \sum E$$

I、F 的方向

 ↑ 感应电动势  
→ 运动方向

 ↑ 安培力 / 洛伦兹力  
→ 运动方向

毕-萨定律

$$d\vec{B} = \frac{\mu_0}{4\pi} \cdot \frac{Idl \times \vec{e}_r}{r^2}$$

载流直导线

$$B = \frac{\mu_0 I}{4\pi r} \cdot (\cos\alpha_1 - \cos\alpha_2)$$

$$\text{无限长 } B = \frac{\mu_0 I}{2\pi r} \begin{cases} \text{(无限长圆柱体、圆柱面)} \\ \text{(外部、直导线)} \end{cases}$$

载流圆线圈中心

两平行电流  $F = \frac{\mu_0 I_1 I_2}{2\pi r}$

$$B = \frac{\mu_0 I}{2R}$$

无限长载流直螺线管

$$B = \mu_0 n I$$

无限长密绕螺线环

$$B = \frac{\mu_0 n I}{2\pi r}$$

无限大载流平面

$$B = \frac{\mu_0 j}{2}$$

安培环路定理

$$\oint_L \vec{B} d\vec{l} = \mu_0 \sum I_t = \mu_0 \cdot \int_S (\vec{j}_c + \frac{\partial \vec{B}}{\partial t}) d\vec{S}$$

$$\oint_L \vec{H} d\vec{l} = \sum I, \vec{H} = \frac{\vec{B}}{\mu}$$

安培力

$$F = \int_L I \vec{B} \times d\vec{l}$$

$$\text{载流线圈 } \vec{m} = I S \cdot \vec{e}_n$$

$$\vec{M} = \vec{m} \times \vec{B}$$

洛伦兹力

$$F = q \vec{V} \times \vec{B}$$

$$\text{轨道半径 } R = \frac{mv}{qB}$$

$$T = \frac{2\pi m}{qB}$$

霍尔电压

$$U_H = k \cdot \frac{IB}{d}, k = \frac{1}{nq}$$

磁化强度

$$\vec{M} = \frac{\mu_r - 1}{\mu_0 \mu_r} \vec{B}$$

$$\text{束缚电流密度 } \vec{j} = \vec{M} \times \vec{e_n}$$

法拉第电磁感应定律

$$E = -\frac{d\Phi}{dt}$$

$$q = \int_{t_1}^{t_2} \frac{E}{R} dt = \frac{1}{R} (\Phi_1 - \Phi_2)$$

动生电动势

$$E = \int_a^b (\vec{V} \times \vec{B}) \cdot d\vec{l}$$

感生电动势

$$E = - \int_S \frac{\partial \vec{B}}{\partial t} \cdot d\vec{S}$$

自感、互感

$$\Phi = LI \quad \Phi = MI$$

$$\text{螺线管 } L = \mu_0 n^2 V$$

$$M = \mu_0 N_1 N_2 \cdot \min\{V_1, V_2\}$$

静电能

$$W = \frac{1}{2} \int_q \varphi dq = \int_V W_e dV, W_e = \frac{1}{2} \epsilon E^2$$

$$\text{电容器 } W = \frac{1}{2} CV^2$$

磁能

$$W = \frac{1}{2} LI^2 = \int_V W_m dV, W_m = \frac{1}{2} \mu H^2$$